

دانشگاه صنعتی شهرد

دانشکده : برق و رباتیک

گروه کنترل

پایان نامه کارشناسی ارشد

طراحی و شبیه سازی کنترلر فازی برای کنترل پاسخ سازه ها به زلزله

محمد حسین ایمانی سیچانی

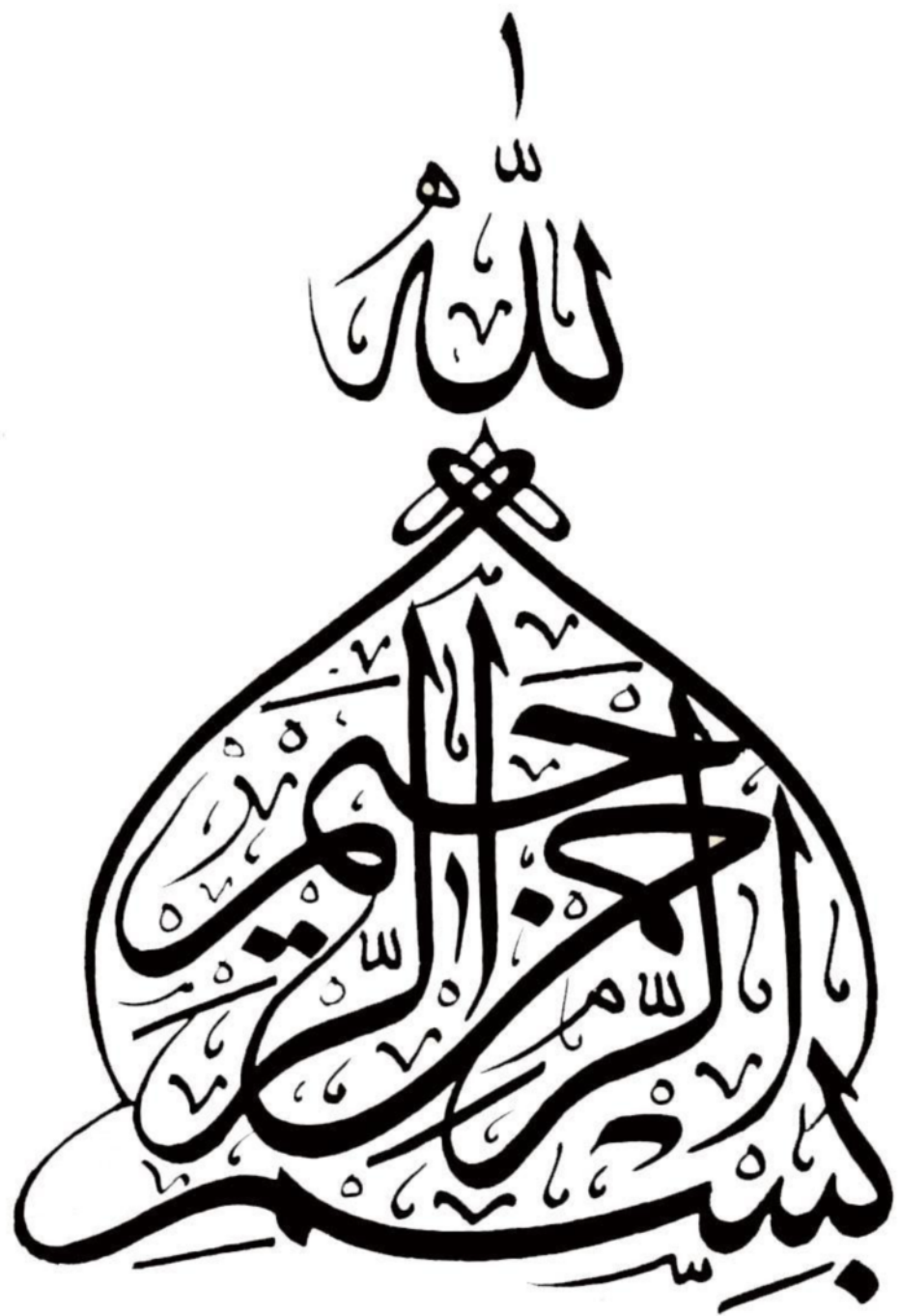
استاد راهنما :

دکتر حیدر طوسیان

استاد مشاور:

دکتر علی کیهانی

زمستان ۱۳۸۷



تقدیم به پدر ، مادر و همسرم

که در دوران تحصیل مشوق و پشتیبان من بودند

تشکر و قدردانی :

خداوند متعال را سپاس گذارم که به من عنایت فرمود این تحقیق را به پایان برسانم.

از کلیه اساتید دانشکده برق و رباتیک ، تشکر و قدردانی می نمایم که در دوران تحصیل راهنمای و مشوق در تحقیق بوده و با علم خویش خست خام من را بندۀ خویش نموده اند.

از آقایان دکتر حیدر طوسیان و دکتر علی کیهانی که در این تحقیق راهنمای من بودند کمال تشکر را دارم.

بر خود لازم می دانم از دوست گرامیم آقای عادل محمدی که در زمان بیماری در دوران تحصیل کمک و همراه من بودند، تشکر نمایم.

چکیده

روشهای گوناگون کنترل سازه ها طی سالهای اخیر بسیار گسترش یافته است. این روشها با تأکید خاصی بر کاهش پاسخ سازه ها در برابر بارهای دینامیکی، خصوصاً زلزله و باد بوده است و از نظر نیاز به انرژی، به چهار گروه غیر فعال، نیمه فعال، فعال و ترکیبی تقسیم می شوند.

پیشرفت کنترل سازه ها منوط به پیشرفت دستگاههای اندازه گیری، پیشرفت محرکها و مدل سازی صحیح از سازه ها و آشنایی با دانش رایانه، پردازش اطلاعات، علم کنترل، دانش مواد، تکنولوژی اندازه گیری، فرایند اتفاقی، دینامیک سازه ها و مهندسی های زلزله و باد می باشد.

به علت وجود عدم قطعیتها و همچنین غیر خطی بودن رفتار سازه در این تحقیق سعی بر کنترل فازی رفتار سازه با توجه به اطلاعات ما از دینامیک سازه، مکانیک خاک، رکوردهای ثبت شده از زلزله های پیشین و محرکها شده است.

واژگان کلیدی : کنترل فازی – پاسخ سازه – کنترل فعال سازه ها – بار زلزله – بار دینامیکی – کنترل پیشین فازی

فهرست مطالب :

۱	فصل اول: شناخت زلزله.....
۲	شناخت زلزله
۳	عدم قطعیت در تخمین جنبش شدید زمین.....
۶	پدیده زلزله
۷	انواع زمین لرزه
۸	اندازه گیری زمین لرزه
۹	پیش بینی زمین لرزه
۱۰	کانون و عمق زلزله
۱۱	گسلها.....
۱۱	مشخصات گسلها
۱۲	انواع گسلها
۱۲	لرزه نگاری
۱۳	mekanizm خرابی در زلزله
۱۴	فصل دوم : سیستمها و تجهیزات کنترل سازه
۱۵	سیستمها و تجهیزات کنترل سازه
۲۴	سیستمها کنترل غیر فعال
۲۵	ایزولاسیون پایه
۲۶	tuned-mass damper و viscous damper
۲۷	بادبند
۲۸	سیستمها کنترل فعال
۲۹	Active Tendon
۳۰	Active Mass Drive
۳۱	Active Brace

۳۳	سیستم میراگر جرمی مرکب
۳۴	جرم و میراگر وفق یافته فعال
۳۵	سیستمهای کنترل نیمه فعال
۳۶	Variable - orifice damper
۳۷	تجهیزات ER و MR
۳۹	سیستم کنترل با استفاده از سختی متغیر
۴۱	سیستمهای کنترل ترکیبی
۴۲	فصل سوم : قوانین کنترل
۴۴	کنترل پیش‌بین
۴۴	کنترل پیش‌بین تطبیقی
۴۵	کنترل بر روی سطح لغذش
۴۶	کنترل فازی
۴۸	شبکه های عصبی فازی
۵۱	پیش‌بینی با روش شبکه های عصبی فازی
۵۲	فصل چهارم : کنترل کننده های فازی
۵۳	منطق فازی
۶۳	کنترل کننده های فازی
۶۹	انواع کنترل کننده های فازی
۷۳	فصل پنجم: مدل سازی و شبیه سازی کنترل فعال فازی بر روی سازه
۷۴	مدل سازه
۸۰	کنترل جابجایی با استفاده از فیدبک جابجایی
۸۶	کنترل اصلاح شده جابجایی با استفاده از فیدبک جابجایی
۹۰	کنترل جابجایی با استفاده از فیدبک سرعت
۹۷	کنترل جابجایی با استفاده از فیدبک سرعت و جابجایی
۱۰۸	مدل سازی سازه دارای تاخیر در نمونه گیر و محرك

۱۱۹	کنترل پیش‌بین فازی
۱۲۹	فصل ششم : نتیجه گیری و ارائه پیشنهاد
۱۳۱	مراجع

فصل اول

شناخت زلزله

شناخت زلزله [۱]

در این فصل مباحث پایه در مورد دلایل و چگونگی و مناطق رخداد زلزله به عنوان یک عامل تحریک سازه ها به عنوان دلیل استفاده از کنترل فعال سازه بیان خواهد شد.

فهرست مطالب :

- عدم قطعیت در تخمین جنبش شدید زمین
- پدیده زلزله
- انواع زمین لرزه
- اندازه گیری زمین لرزه
- پیش بینی زمین لرزه
- کانون و عمق زلزله
- گسلها
- مشخصات گسلها
- انواع گسلها
- لرزه نگاری
- مکانیزم خرابی در زلزله

مقدمه

بر اساس مطالعات انجام شده توسط متخصصان زلزله کشور، بسیاری از شهر های بزرگ ایران از جمله تهران، تبریز، بندرعباس، شیراز و ... در معرض خطر بالای زلزله قرار دارند و هر لحظه ممکن است فاجعه ای در نقطه ای از کشورمان بوقوع بپیوندد. در جهت امدادگی برای مقابله با آسیبها ناشی از زلزله، لازم است تا حداقل آشنايی را با اين پدیده داشته باشيم و وضعیت کشورمان را از اين لحاظ مورد بررسی قرار دهیم.

عدم قطعیت در تخمین جنبش شدید زمین

عدم قطعیت در پدیده های فیزیکی یک احتمال یا بر اثر وجود اشتباه نیست، بلکه یک قانون است. از طرف دیگر بدليل اهمیتی که برآورد جنبش شدید زمین در زندگی اجتماعی ما انسانها دارد، تعیین دقیق اینکه چه مقدار عدم قطعیت در محاسبات ما وارد بوده است امری است بسیار مهم. در مطالعه حاضر ابتدا بصورت اجمالی روش‌های متفاوتی را که برای تخمین جنبش شدید زمین وجود دارد را مورد مطالعه قرار میدهیم و سپس به معرفی عدم قطعیتهای پرداخته و زمینه های ورود آنها را در محاسبات جنبش شدید زمین بررسی میکنیم. عدم قطعیتهایی که مربوط به مدل انتخابی و ناقص بودن دانش بشری هستند (Aleatory) و نیز عدم قطعیتهای وابسته به طبیعت تصادفی پدیده زلزله (Epistemic) شناخته می‌شود و تاثیر آنها در نتیجه نهایی برآورد ریسک به تفکیک پارامترهای مختلف مورد بررسی قرار می‌گیرد.

عدم قطعیتهای تصادفی و ریشه‌ای:

در تحلیل خسارت زلزله، معمولاً بین عدم قطعیتهایی که منعکس کننده تغییرپذیری یک پدیده تکرار پذیر (عدم قطعیت تصادفی) باشد و عدم قطعیتهایی که بدلیل ساده سازی بوجود می‌ایند (عدم قطعیت ریشه‌ای) تفاوت قائل می‌شوند.

- عدم قطعیت تصادفی:

❖ وابسته به شانس هستند

❖ بدلیل تغییرات ذاتی طبیعت هستند

❖ در طول زمان تمام مقادیر به ناچار نمونه برداری خواهند شد

- عدم قطعیت ریشه‌ای:

❖ وابسته به دانش است

❖ منتج از شناخت ناکافی است

❖ در طول زمان این نوع عدم قطعیتها می‌توانند کاهش یابند یا معین شوند.

بدین ترتیب ممکن است که نامگذاری هر نوع عدم قطعیتی بر اساس تصادفی یا ریشه‌ای امری بدیهی بنظر برسد، ولی در حقیقت تصادفی یا ریشه‌ای بودن عدم قطعیت، مطلق نمی‌باشد. بلکه بستگی به تعریف مربوط به قطعی یا تصادفی دارد که ما از یک پدیده ارائه می‌دهیم. به همان میزان که ارائه ما قطعی یا تصادفی بودن را دیکته می‌کند، شرایط عدم قطعیت نیز تصادفی یا ریشه‌ای هستند. عدم قطعیتهایی که بصورت صریح توسط مدل تصادفی^۱ قابل شناسایی هستند، تصادفی نامیده می‌شوند. از سوی دیگر عدم قطعیتهایی که مربوط به خود مدل و پارامترهای آن می‌باشد، ریشه‌ای است. بنابراین تقسیم بندی کل عدم قطعیت به تصادفی یا ریشه‌ای، وابسته به مدل مورد استفاده است.

¹ stochastic model

برای مثال، اگر در آینده مدل‌های کاهنده ما بهبود یابند و شامل پارامترهای متعددی گردند، مانند افت تنش و ...، و بدین ترتیب عدم قطعیتهای تصادفی را به صفر برسانیم. بر اساس تصمیم‌سازی آنچه که مهم است، برآمدی است که از کل عدم قطعیتها در زمان بین تصمیم و نتیجه حاصل می‌شود. این عدم قطعیت کلی، ممکن است که در طول کل زمان ثابت بماند، بصورت قابل پیش‌بینی تغییر کند، و یا بگونه‌ای تغییر کند که قابل پیش‌بینی در زمان تصمیم گیری نباشد. غیرقابل پیش‌بینی بودن بدلیل تغییراتی است که در عدم قطعیتهای ریشه‌ای با بدست آوردن و تحلیل کردن اطلاعات جدید ایجاد می‌شود.

تحلیل‌های گذشته، اهمیت جدا سازی بین عدم قطعیتهای تصادفی و ریشه‌ای را برای تصمیم‌سازی، کاهش می‌دهد. به حال، جدا سازی عدم قطعیتها، تحلیل کننده را مجبور به در نظر گرفتن تمام منابع عدم قطعیتها می‌کند.

در تخمین عملکرد سازه‌ها، عملکرد سیستم را بصورت ظرفیت و نیاز بیان می‌کنند. نیاز می‌تواند نیرو (برش، لنگر خمشی، نیروی محوری، لنگر واژگونی) و یا پاسخ (جابجایی، سرعت، شتاب، شکل پذیری، جذب انرژی) ایجاد شده در سیستم توسط تحریک زمین باشد. ظرفیت سیستم حداقل نیروها یا پاسخی است که سیستم توان مقاومت در برابر ان را بدون تخریب سیستم یا عضو داشته باشد. خرابی سیستم یا عضو بصورت حدود مختلفی توسط مهندسان تعریف می‌شود. برای مثال، حدود استفاده شده در نیاز پاسخ، محدوده‌های جابجایی است که بر اساس سطوح متفاوت عملکردی مانند استفاده بی وقهه یا در آستانه فرو ریزش تعریف شده است. در تئوری، هر دو مورد ظرفیت و نیاز وابسته به تحریک و مشخصات سازه می‌باشد. نیاز همانگونه که توصیف شد، همانند تغییر مکان کلی سازه، مقداری است که با زمان در حال نوسان است و بر اساس تحریک لرزه‌ای در دوره زمانی از عدم قطعیت بالایی برخوردار است.

پدیده زلزله

زلزله عبارتست از لرزش زمین در اثر آزاد سازی سریع انرژی که اغلب موارد در اثر لغزش در امتداد یک گسل در پوسته زمین اتفاق می‌افتد. انرژی ازad شده از محل ازad شدن ان، که کانون نامیده می‌شود، بصورت امواج در همه جهتها منتشر می‌شود. این موجها شباهت بسیار زیادی به امواج ایجاد شده در اثر فروافتادن یک سنگ در اب ارام یک حوضچه دارد. به همان ترتیب که ضربه سنگ باعث به جنبش در اوردن امواج اب می‌شود، یک زلزله امواج لرزه‌ای را ایجاد می‌کند که در زمین منتشر می‌شوند.

پوسته خارجی کره زمین به تکه‌های متعددی شکسته شده است که هر کدام از آنها صفحه یا ورق نام دارند که در حال حرکت بوده و بصورت بی‌وقفه تغییر شکل و اندازه می‌دهند. که این تغییر شکل و اندازه بدلیل پدیده هم‌رفتی است که در درون کره زمین بدلیل تفاوت دمایی مواد مذاب تشکیل دهنده آن می‌باشد. هفت صفحه اصلی بر روی پوسته زمین شناخته شده است که همانند یخی که بر روی اب شناور است، این صفحات نیز بر روی لایه‌های پایینی خود حالت شناوری دارند.

انواع زمین لرزه [1]

- ۱- زمین لرزه‌های تکتونیکی : زمین لرزه های تکتونیکی در برگیرنده تعداد بسیار زیادی از زلزله‌هایی هستند که سالانه در سطح جهان ثبت می‌شوند. حرکات صفحات تشکیل دهنده پوسته زمین عامل ایجاد این زمین لرزه ها می‌باشد.
- ۲- زلزله های اتشفسانی : این زلزله ها فقط در نواحی فعال اتشفسانی اتفاق می‌افتد و به انفجارهای اتشفسانی نیز معروف است.
- ۳- زمین لرزه های فروریختی : بر اثر فروریختن غارها و کانالهای زیرزمینی، لرزه‌هایی ایجاد می‌شود که به نام زمین لرزه‌های فروریختی موسومند.
- ۴- زمین لرزه های القایی: بر اثر ابگیری یا تغییرات ناگهانی سطح اب دریاچه‌های پشت سدها، تزریق اب یا سیالهای دیگر به داخل زمین و یا استخراج آنها، مخصوصاً در جاهایی که گسلهای فعال وجود دارد زمین لرزه‌هایی ایجاد می‌شود. در واقع دلیل اصلی این لرزه‌ها را می‌توان بارگذاری سریع بر روی زمین و یا برداشتن ناگهانی بار زیادی از روی ان ذکر کرد. این لرزه‌ها به نام القایی موسومند. لرزه‌های ناشی از معادن نیز در این دسته قرار می‌گیرند. به عنوان مثال می‌توان به زمین لرزه‌ای که در ارتباط با ابگیری و تغییرات فصلی سطح اب دریاچه سد سفیدرود روی می‌دهد اشاره نمود.
- ۵- زمین لرزه های ناشی از انفجارها : انفجارهای نظامی و صنعتی نیز لرزه‌هایی را ایجاد می‌نمایند که شدت، زمان وقوع و محل آنها قابل پیش‌بینی است .

از این به بعد هرجا از کلمه زلزله استفاده می‌شود منظور زمین لرزه های تکتونیکی است

اندازه گیری زمین لرزه [1]

برای اگاهی از میزان تاثیر هر پدیده لازم است تا بتوانیم به نحوی ان را بصورت کمی بیان کنیم. برای کمی کردن اندازه زلزله، از دو رهیافت مختلف استفاده می‌شود؛ یک رهیافت بر اساس اندازه گیری دستگاهی (بزرگای زلزله) و دیگری بواسطه تاثیر پذیری دست سازه‌ای بشر از زلزله (شدت زلزله). شدت زلزله در هر مکان متفاوت است و با دور شدن از کانون زلزله کم می‌شود، در حالی که بزرگای زلزله همواره ثابت است و ربطی به دور شدن از کانون ندارد.

شدت زمین لرزه:

شدت یک زلزله در یک مکان خاص بر مبنای اثرهای قابل مشاهده زمین لرزه در آن مکان تعیین می‌شود.

بزرگای زلزله:

بمنظور اندازه گیری زمین لرزه و بدست اوردن معیاری برای مقایسه و سنجش زمین لرزه ها، از بزرگای زلزله استفاده می‌شود که می‌توان ان را با در نظر گرفتن دامنه نوسانات روی نگاشت محاسبه نمود.

ذکر این نکته ضروری است که بزرگای زلزله، بتنهایی نمی‌تواند معیاری برای سنجش میزان خرابی در زلزله باشد. همانطور که گفته شد، بزرگای زلزله فقط بر اساس میزان انرژی ازاد شده در زلزله محاسبه می‌گردد و عمق و یا سایر پارامترها در محاسبه ان دخیل نمی‌باشد. از این رو دو زلزله با بزرگاهای یکسان ولی عمقهای متفاوت میزان خرابیهای متفاوتی را ببار می‌آورند. چرا که با عمیقتر شدن کانون زلزله، امواج لرزه ای فاصله بیشتری را تا سطح زمین طی می‌کنند که در این فاصله مقداری از انرژی ازاد شده کاهیده شده و از بین می‌رود. زلزله‌های ایران، اغلب از نوع کم عمق می‌باشند، لذا انتظار می‌رود میزان خرابی و آسیب ناشی از این زلزله‌ها بیشتر باشد.

پیش بینی زمین لرزه :

منظور از پیش بینی زلزله، پیش بینی مکان، پیش بینی بزرگا و پیش بینی زمان وقوع زلزله است. برای بسیاری از افراد جامعه، مفهوم پیش بینی، فقط به معنای پیش بینی زمان زلزله است. هر پارامتری که قبل از وقوع زمین لرزه تغییراتی در آن پدیدارد، بگونه ای که بتوان با بررسی دقیق این تغییرات زمین لرزه را پیش بینی نمود، پیش نشانگر گفته می شود. تا کنون پیش نشانگرهای متعددی که تعداد آنها به بیش از ۳۰ مورد می رسد شناخته شده است. این پیش نشانگرها عبارتند از: تغییر شکل پوسته زمین، تغییر در تراز دریا، کج شدگی، تنجدگی و تنگشهای پوسته ای، پیش نشانگرهای زمین مغناطیسی و ژوالکتریکی، تغییر در میدان گرانشی، پیش لرزه ها، انتشار گاز رادن، تغییر در دبی و ارتفاع آبهای زیرزمینی و ...

کانون و عمق زلزله

محل اغاز گسیختگی در گسل (گسلش) را کانون زلزله یا مرکز درونی می‌نامند و در واقع محل اولیه ازad شدن انرژی در داخل زمین می‌باشد. تصویر کانون در سطح زمین، مرکز نامیده می‌شود که معمولاً محل بیشترین خسارت‌ها می‌باشد.

بر اساس ژرفای زمین لرزه‌ها را می‌توان به سه دسته زیر تقسیم نمود:

- کم ژرفای با ژرفای ۰ تا ۷۰ کیلومتر

- متوسط: با ژرفای ۷۰ تا ۳۰۰ کیلومتر.

- عمیق: با ژرفای بیش از ۳۰۰ کیلومتر (به این ترتیب که تاکنون زمین لرزه‌ای در عمق بیش از ۷۲۰ کیلومتر رخ نداده است)

از نقطه نظر ژرفای، بیشتر زمین لرزه‌های ایران کم عمق می‌باشند. بیشترین عمق در زمین لرزه‌های رخداده در فلات ایران تا حدود ۶۰ کیلومتر مشخص شده است. از سوی دیگر این ژرفای در ناحیه‌های داخلی فلات ایران تا حدود ۴۰ تا ۵۵ کیلومتر می‌رسد. در ناحیه البرز و شمال ایران مرکزی بیشینه ژرفای در حدود ۲۰ تا ۲۵ کیلومتر بوده است. بنابراین زمین لرزه‌های ایران از نوع کم عمق بوده اند.

مساله عمق از نظر خسارت زمین لرزه نیز بسیار مهم است، چرا که در زمین لرزه بسیار کم عمق معمولاً خسارت‌ها به ناحیه رومرکزی و حوزه نزدیک محدود می‌شود و سپس در حوزه دور (فاصله‌های بیش از ۵۰ کیلومتر از سرچشمۀ خسارت‌ها بسیار محدود می‌گردد (نمونه هایی از چنین زلزله‌های کم عمق عبارتند از زلزله منجیل، زمین لرزه طبس با ژرفای ۱۰ کیلومتر و زلزله بم با عمق ۸ کیلومتر).

گسلها

گسلها شکستگیهایی در پوسته زمین هستند که در طول آنها تغییر شکلهای قابل توجهی ایجاد شده است. گسلهای بزرگ، شامل چندین صفحه گسل درگیر می‌باشند مانند گسل شمال تهران و گسل شمال تبریز.

مشخصات گسلها:

برای تعریف گسلها، از مشخصات هندسی آنها، یعنی موقعیت قرارگیری آنها در یک فضای سه بعدی، استفاده می‌شود که عمدۀ ترین این مشخصات هندسی راستا و شیب می‌باشند.
راستا: جهت و راستای خط تلاقی صفحه گسل با افق تحت عنوان راستا شناخته می‌شود.
راستا معمولاً بصورت زاویه‌ای با شمال مشخص می‌گردد.
شیب: عبارتست از شیب سطح یک توده سنگی یا صفحه گسل، نسبت به صفحه افق.
شیب شامل زاویه انحراف و نیز جهت آن می‌باشد.

انواع گسلها:

تقسیم بندی گسلها فقط بر اساس هندسه و جهت جابجایی نسبی ایجاد شده در آنها صورت می‌پذیرد. گسلهای راستا لغز و گسلهای شیب لغز دو تقسیم بندی کلی گسلها میباشند که در زیر تعاریف مربوط به آنها اورده می‌شود.

گسلهای امتداد لغز:

گسلهایی که امتداد اصلی لغزش در امتداد راستای گسل باشد، گسل امتداد لغز نامیده می‌شوند.

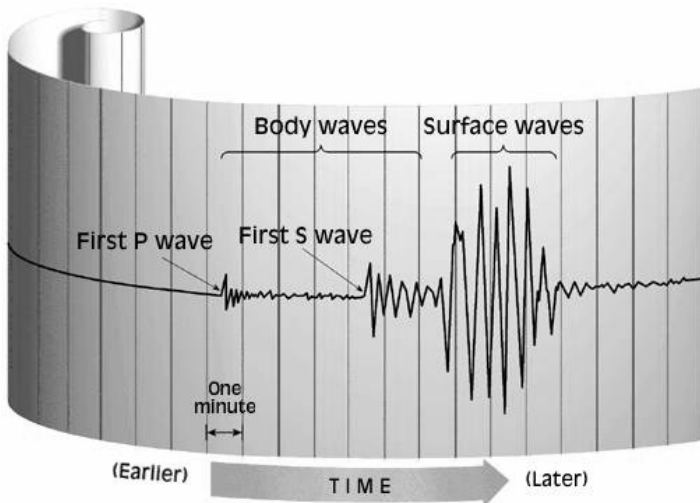
گسلهای شیب لغز:

گسلهایی که امتداد اصلی لغزش موازی جهت شیب گسل باشد، گسلهای شیب لغز نامیده می‌شوند. گسلهای شیب لغز نرمال و معکوس بر اساس جهت حرکت دو قطعه نسبت به هم تعریف می‌شوند. در صورتی که نیروی وارد فشاری بوده و دو قطعه را به هم نزدیک کند، گسل شیب لغز معکوس و در صورت دور شدن دو قطعه از هم گسل شیب لغز نرمال نامیده می‌شود.

در عمل لغزش گسل، ترکیبی از شیب لغز و راستا لغز می‌باشد که گسل مایل نامیده می‌شود.

لرزه نگاری :

شتابنگارهای ثبت شده توسط لرزه نگارها امکان مطالعه دقیق زمین لرزه‌ها را فراهم می‌آورد. شکل زیر بصورت شماتیک نگاشت ثبت شده از زلزله را نشان میدهد. در اثر زلزله امواج مختلفی منتشر می‌شوند که سرعت و دامنه هر کدام از این موجها متفاوت می‌باشد. سرعت متفاوت باعث می‌شود که زمان رسیدن هر کدام از این موجها متفاوت باشد و در نتیجه بر روی نگاشت ثبت شده قابل تشخیص باشند.



شکل(۱-۱) نمودار یک لرزه نگار

محل کانون و عمق زلزله نیز بر اساس تفاوت موجود بین زمان رسیدن موجه‌ای P و S محاسبه می‌شود.[1]

mekanizm tahririb dar zelzale [1]

عواملی که در یک زلزله باعث ایجاد خسارت می‌گردند عبارتند از:

- نیروهای درونی شدید ایجاد شده بر اثر جنبش شدید زمین
- اتش سوزی های ناشی از زمین لرزه
- تغییر در خواص فیزیکی خاکها (نشستتها و ...)
- بر اثر جابجایی مستقیم گسلها در محل ساخت سازه ها
- بواسطه زمین لغزشها (زمین لغزش عبارتست از فروریزش دامنه شیبها)
- بواسطه موجه‌ای بلند ایجاد شده توسط زلزله در دریاهای آب رانش)

از بین عوامل فوق، جنبش شدید زمین، مهمترین عامل خرابی و تلفات جانی در

زلزله می‌باشد.

فصل دوم

سیستمها و تجهیزات کنترل سازه

سیستمهای و تجهیزات کنترل سازه

در این فصل انواع روش‌های کنترل سازه از نظر استفاده از تجهیزات غیر فعال ، نیمه فعال ، فعال و ترکیبی بیان می گردد.

فهرست مطالب :

- کنترل سازه ها
- اصول اولیه در کنترل سازه
- جرم و فنر
- جرم و فنر و دمپر
- انواع سیستمهای کنترل سازه از نظر استفاده از تجهیزات
- سیستمهای کنترل غیر فعال^۱
- ایزولاسیون پایه^۲
- میراگر ویسکزیته^۳ و جرم میراگر خود تنظیم^۴
- باد بند^۵
- سیستمهای کنترل فعال^۶
- ACTIVE TENDON
- ACTIVE MASS DRIVEN
- ACTIVE BRACE
- سیستم میراگر جرمی مرکب^۷
- ACTIVE TUNED MASS DAMPER (ATMD)
- سیستمهای کنترل نیمه فعال^۸
- VARIABLE - ORIFICE DAMPER
- ELECTRO RHEOLOGICAL DEVICES(ER)
- MAGNETO RHEOLOGICAL DEVICES (MR)
- VARIABLE STIFFNESS
- سیستمهای کنترل ترکیبی^۹

^۱ Passive Control

^۲ Base Isolation

^۳ viscous damper

^۴ tuned-mass damper

^۵ Brace

^۶ Active Control

^۷ HMD

^۸ Semi Active Control

^۹ Hybrid Control

مقدمه

از ابتدای خلقت ، انسانها به دنبال مکانی ایمن برای زندگی خویش بوده اند. در همین راستا ابتدا به مقاوم کردن سازه ها در مقابل عوامل خطر ساز محیط بیرون روی اوردند سپس با پیشرفت تکنولوژی و افزایش جمعیت و به تبع آن بحث متمرکز شدن انسانها و ارگانها در یک محل ، ساخت سازه های مرتفع به میان امد و به دنبال آن بحث طراحی سازه های پایدار که مقاوم در مقابل عوامل محیطی همچون نیروی باد وارد بر ساختمانهای مرتفع و همچنین نیروی زلزله پیش امد. امروزه با پیشرفت مهندسی کنترل و مشاهده کاربرد آن در مهندسی های گوناگون از جمله مهندسی عمران ، طراحان روی به استفاده از این مهندسی درجهت کنترل شتاب ، سرعت و جاگایی سازه ها در مقابل نیروی زلزله و باد آورده اند .

طی دو دهه اخیر توجه خاصی به تحقیق و گسترش وسایل کنترل سازه ها شده است که همراه با تاکید خاصی بر کاهش رفتار لرزه ای ساختمانها و پلها در برابر باد و زلزله بوده است. کوششهای زیادی برای گسترش مفاهیم کنترل سازه ها بصورت یک تکنولوژی کارامد انجام گرفته است ، و در حال حاضر وسایل زیادی از این نوع بر روی انواع مختلفی از سازه ها و ساختمانها نصب گردیده است.

روی هم رفته سیستمها کنترل سازه را می توان به ایزولاسیون پایه ، جاذب و هدردهنده انرژی غیرفعال ، کنترل فعال ، ترکیبی و نیمه فعال تقسیم نمود. از این چند گروه در حال حاضر ایزولاسیون پایه می تواند به عنوان یک تکنولوژی کامل با کاربردهای قابل مقایسه با دو گروه دیگر فرض شود.

سیستم هدردهنده انرژی غیرفعال یک محدوده وسیعی از مواد و وسایلی را شامل می شود سختی ، میرایی و مقاومت را افزایش می دهد که می تواند هم به عنوان کاهش دهنده لرزش های ناگهانی و هم به عنوان احیا کننده سازه های ناقص و یا فرسوده بکار روند .

بطور کلی یک چنین سیستمهايی بوسيله ظرفيتشان برای افزایش دریافت انرژی در سیستم سازه ای که نصب شده اند مشخص می شوند . این وسایل بطور کلی بر مبنای قوانینی چون اصطکاک تماسی ، جاری شدن مواد ، تغییر شکل و یسکو الاستیک مایعات و جامدات و گذراندن مایعات از سوراخهای کوچک عمل می کنند.

امکان استفاده از سیستم های کنترل فعال و بعضی از ترکیبهای سیستم فعال و غیرفعال بعنوان یک وسیله برای مقابله سازه ها در برابر بارهای لرزه ای ، در سالهای اخیر ، توجه خاصی را به خود جلب کرده است . سیستم های کنترل فعال ، ترکیبی و نیمه فعال وسایل اعمال کننده نیرویی هستند که با کنترل کننده ها ، ارزیابی کننده ها و پردازشگرهای هم زمان و حسگرها با هم در یک سازه جمع شده اند . آنها بطور پیوسته با تحریکات اعمال شده به ساختمان در حال فعالیت هستند تا رفتار آنها را برای افزایش ایمنی و خدمت رسانی بهتر کنترل کنند . امروزه همچنین تحقیقات به مرحله ای رسیده است که سیستم های فعال برای کاهش لرزشهاي تصادفي سازه ها بر روی آنها با مقیاس واقعی نصب می شود.

کنترل سازه ها :

امروزه کنترل سازه ها یک قضیه اساسی در جهت طراحی و به روز رساندن سازه ها به شمار می رود که بحث ان با طرح مساله در مورد علوم فضایی و سازه های انعطاف پذیر شروع گردید و سپس پایه ریزی ان در مهندسی عمران در ساخت سازه های مرتفع و پل ها درجهت حفاظت واسودگی انسانها صورت گرفت .

پیشرفت کنترل سازه ها منوط به پیشرفت دستگاههای اندازه گیری ، پیشرفت محرکها و مدل سازی صحیح از سازه ها و اشنایی با دانش رایانه ، پردازش اطلاعات ، علم کنترل ، دانش مواد ، تکنولوژی اندازه گیری ، فرایند اتفاقی ، دینامیک سازه ها و مهندسی های زلزله و باد می باشد .

کنترل سازه ها به بیان صریح به دو قسمت کلی تقسیم می شود :

– قسمت اول شامل ابزارهای کنترلی رایج و بحث پیرامون انواع آن و طریقه کار هر یک از آنها می باشد .

– قسمت دوم شامل ایده های کنترلی و روشهای مختلف موجود و پیاده سازی این روشها می باشد .

با جمع بندی این دو قسمت ، کنترل سازها به طور کامل بیان خواهد شد .

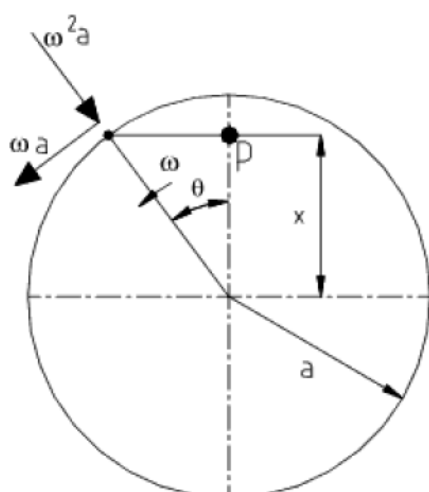
اصول اولیه در کنترل سازه [4],[5],[6]

در حالت کلی لرزش آزادانه در سیستمهای انعطاف پذیر در زمان جابجایی و بازگشت به حالت اولیه رخ خواهد داد. نیروی داخلی جسم را به حالت اولیه باز خواهد گرداند. نیروی بازگشت به واسطه جابجا شدن تولید خواهد شد. ستاد جسم مستقیماً وابسته به نیروی اعمالی به جسم و بازگشت جسم به حالت اولیه جسم است.

در مرحله اول با یک حرکت هارمونیکی ساده که در تصویر زیر بر روی محور عمودی X از یک نقطه دوار بر روی دایره به شعاع a با یک سرعت زاویه ای ثابت ω اثنا می‌شویم.

سرعت مماسی از مبدأ برابر است با ωa

شتاب چرخش از مبدأ دایره برابر است با $\omega^2 a$



$$x = a \cos(\theta) = a \cos(\omega t)$$

$$\begin{aligned} dx/dt &= v = -\omega a \sin(\omega t) \\ &= -\omega \sqrt(a^2 - x^2) \end{aligned}$$

$$\begin{aligned} d^2x/dt^2 &= f = -\omega^2 a \cos(\omega t) \\ &= -\omega^2 a \cos(\theta) \\ &= -\omega^2(x) \end{aligned}$$

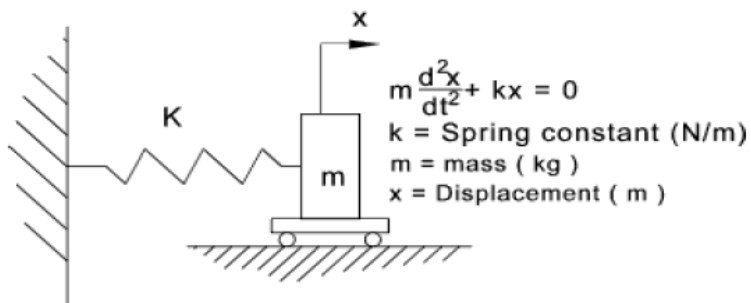
$$d^2x/dt^2_{\max} = f_{\max} = \omega^2 a$$

مدت زمان لازم جهت کامل شدن یک پیک برابر است با : $t_p = 2\pi/\omega$

سرعت دوران برابر است با $n = 1/t_p = \omega/(2\pi)$

شتاب برابر است با $\omega = \sqrt(f/x)$ و بنابر این $d^2x/dt^2 = f = x * \omega^2$

جرم و فنر:



شکل(۱-۲) جرم و فنر

نیروی بازگشت ناشی از واشده‌گی فنر برابر است با $F = k \cdot x$. جرم می خواهد شتابی

متناسب با نیروی بازگشت بگیرد. معادله حرکت ناشی از سیستم جرم و فنر برابر است با

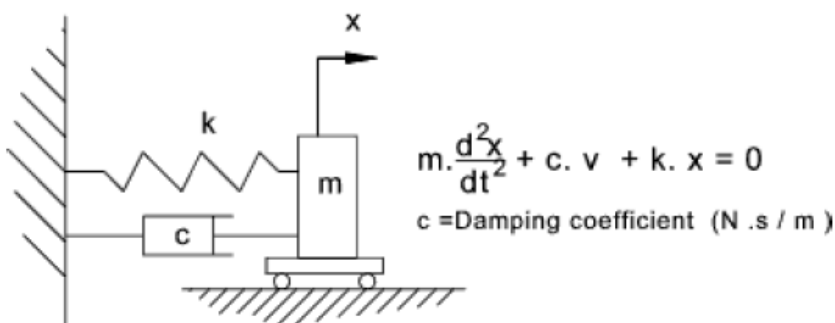
$$m \cdot dx^2 / dt^2 = - k \cdot x$$

و باز نویسی مجدد برابر است با $\omega_n^2 = k / m$ که $m \cdot (dx^2 / dt^2 + \omega_n^2 \cdot x) = 0$

ω_n فرکانس زاویه‌ای طبیعی نوسان و n فرکانس

طبیعی می باشد.

جرم و فنر و دمپر :



شکل(۲-۲) جرم و فنر و دمپر

میزان نیروی مقاوم دمپر متناسب با جرم جسم می باشد.

معادله حرکت جرم و فنر و میراگر برابر است با :

$$m \cdot \frac{dx^2}{dt^2} = -k.x - c.dx \quad (1-2)$$

$/dt$

که می توان به صورت زیر بازنویسی نمود :

$$\frac{dx^2}{dt^2} + (c/m) \cdot \frac{dx}{dt} + (k/m) \cdot x = 0 \quad (2-2)$$

0

حال با برابر قرار دادن $\zeta = c / (2m\omega_n) = c / [2m\sqrt{k/m}]$ و $\omega_n^2 = k/m$ برابر است با

$$\frac{dx^2}{dt^2} + 2\zeta\omega_n \frac{dx}{dt} + \omega_n^2 x = 0 \quad (3-2)$$

0

$$(s^2 + (c/m)s + (k/m)) e^{st} = 0 = (s^2 + 2\zeta\omega_n s + \omega_n^2) e^{st} \quad (4-2)$$

$$s^2 + s(c/m) + k/m = 0 = s^2 + 2\zeta\omega_n s + \omega_n^2 \quad (5-2)$$

$$s_{1,2} = -\frac{c}{2m} \pm \sqrt{\left(\frac{c}{2m}\right)^2 - \frac{k}{m}} = -\zeta\omega_n \pm \sqrt{\zeta^2\omega_n^2 - \omega_n^2} = \omega_n(-\zeta \pm \sqrt{\zeta^2 - 1}) \quad (6-2)$$

$$x = A e^{s_1 t} + B e^{s_2 t} \quad (7-2)$$

$$x = e^{-(c/2m)t} \left(A e^{\left(\sqrt{\left(\frac{c}{2m}\right)^2 - \frac{k}{m}}\right)t} + B e^{-\left(\sqrt{\left(\frac{c}{2m}\right)^2 - \frac{k}{m}}\right)t} \right) \quad (8-2)$$

$$x = e^{-\zeta\omega_n t} \left(A e^{+\omega_n \sqrt{\zeta^2 - 1} t} + B e^{-\omega_n \sqrt{\zeta^2 - 1} t} \right) \quad (9-2)$$

در چهار حالت میرایی ممکن است رخ دهد :

اگر $(\zeta^2 = 1)$ یا $(c/2m)^2 = (k/m)$ انگاه میرایی بحرانی رخ می دهد . ۱.

اگر $(\zeta^2 < 1)$ یا $(c/2m)^2 < (k/m)$ انگاه زیر میرایی رخ می دهد . ۲.

اگر $(\zeta^2 > 1)$ یا $(c/2m)^2 > (k/m)$ انگاه فوق میرایی رخ می دهد . ۳.

اگر $(\zeta^2 = 0)$ یا $(c/2m)^2 = 0$ انگاه نامیرایی رخ می دهد . ۴.

انواع سیستمهای کنترل سازه از نظر استفاده از تجهیزات :

کنترل سازه ها بسته به استفاده از پردازنده و ترکیبات سخت افزار و همچنین قانون کنترل مورد استفاده به انواع گوناگونی تقسیم می شود که هر کدام دارای مزایا و معایبی می باشد .

انواع سیستمهای کنترل با تقسیم بندی سخت افزاری به شرح ذیل می باشد :

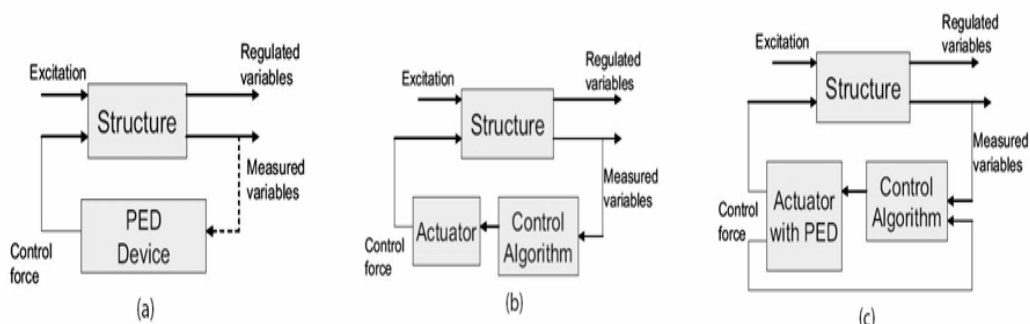
سیستمهای کنترل غیر فعال^۱ (a)

سیستمهای کنترل فعال^۲ (b)

سیستمهای کنترل نیمه فعال^۳ (c)

سیستمهای کنترل ترکیبی^۴ (d)

بلوک دیاگرام هر کدام از روش‌های گفته شده به شکل (۳-۲) و (۴-۲) می باشد . [17]



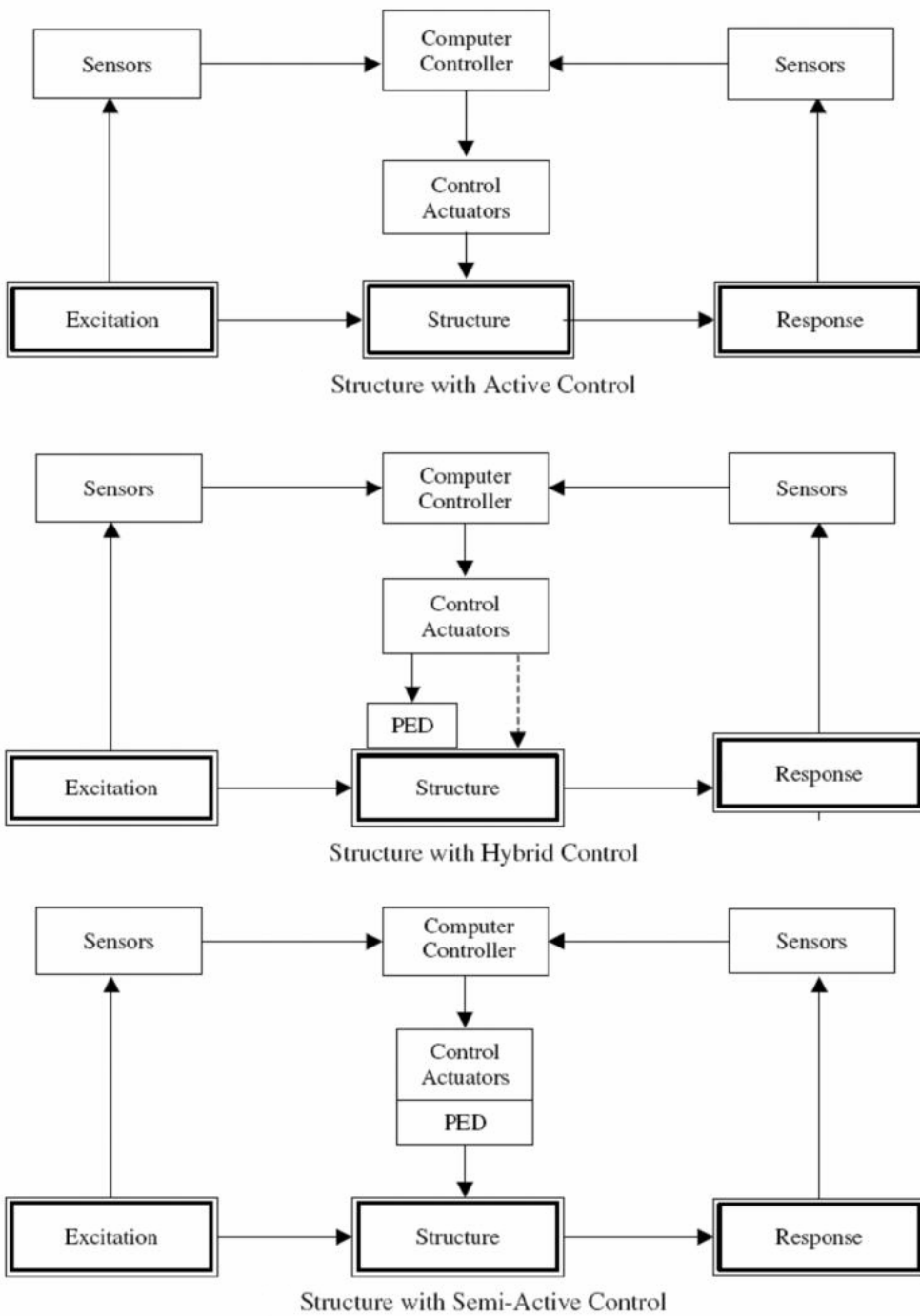
شکل (۳-۲)

^۱ Passive Control or Base Isolation

^۲ Active Control

^۳ Semi Active Control

^۴ Hybrid Control



شکل (۴-۲)

سیستمهای کنترل غیر فعال^۱ [7],[8]:

شامل استفاده از روش‌هایی جهت بالا بردن مقاومت دینامیکی سازه و ایزوله کردن سازه در برابر نیروی اعمالی از طرف زمین و همچنین راه کارهایی جهت دفع نیروی اعمالی چه به صورت واکنش مقاومتی سازه نسبت به نیروی وارد ه یا میرا کردن نیرو می باشد.

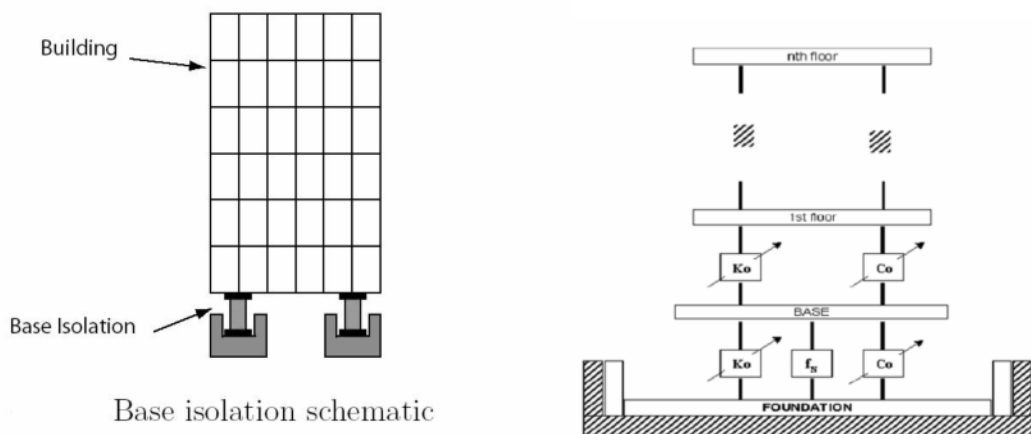
بالا بردن مقاومت دینامیکی سازه شامل :

- مقاوم سازی شناذها
- متصل کردن شناذهای منفرد
- صلب کردن گره ها
- استفاده از دیواره برشی در سازه
- مقاوم سازی پی سازه بر حسب مقاومت خاک (در صورت نیاز استفاده از شمع و تزریق بتن)
- سبک کردن سازه
- دقث در عمل آوری مصالح در زمان ساخت
- استفاده از روش ایزولاسیون پایه در سازه
- استفاده از brace و tuned-mass damper و viscous damper

^۱ Passive Control or Base Isolation

روش ایزولاسیون پایه در سازه ها^۱ :

در این روش سازه بر روی دمپری که انعطاف پذیر و جاذب انرژی است قرار می گیرد لذا نیروی وارد بر سازه را تا حد زیادی کاهش می دهد که در شکل (۶-۲) آمده است.[8].

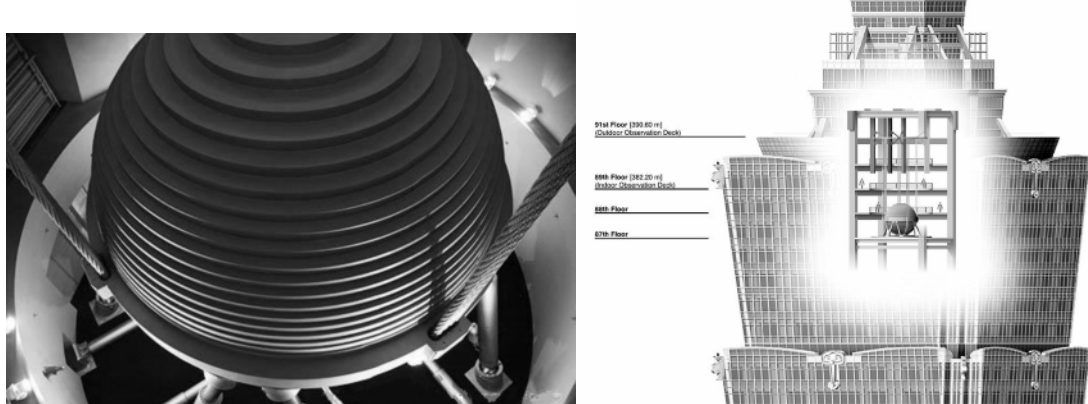


شکل (۶-۲)

^۱ Base Isolation

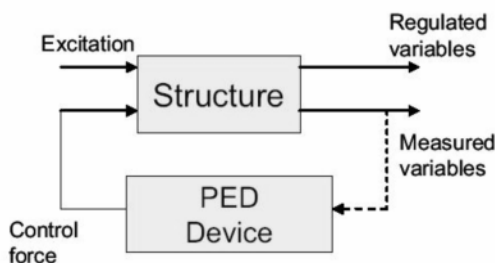
استفاده از tuned-mass damper و viscous damper

جرمی می باشد که با یک تاخیر زمانی نسبت به حرکت سازه در زمانی که سازه در اثر زلزله تحریک می شود شروع به حرکت می کند این تاخیر زمانی سبب میشود وزن جرم نیرویی در جهت مخالف نیروی زلزله بر سازه وارد کند. معمولاً مکان قرار گیری این جرم در طبقات فوقانی سازه برای پاسخ بهتر می باشد. میزان جرم جسم بسته به معادله دینامیکی سازه در محل ثقل سازه قرار می گیرد.



شکل(7-۲)

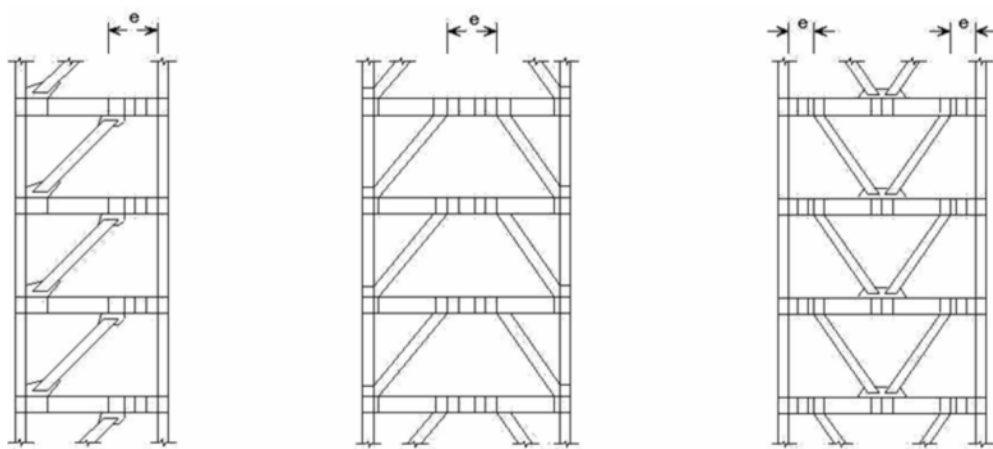
در شکل (7-۲) ترکیبی از استفاده از tuned-mass damper و viscous damper را مشاهده نمود که دارای بلوک دیاگرامی به شکل (8-۲) می باشد.



شکل(8-۲)

استفاده از بادبند^۱ در سازه ها:

بادبند یک نوع تیر تقویت عرضی می باشد که نیروهای ناشی از زلزله را در سازه مهار می کند. نمونه هایی از قارگیری بادبند در سازه ها به شکل (۹-۲) می باشد.

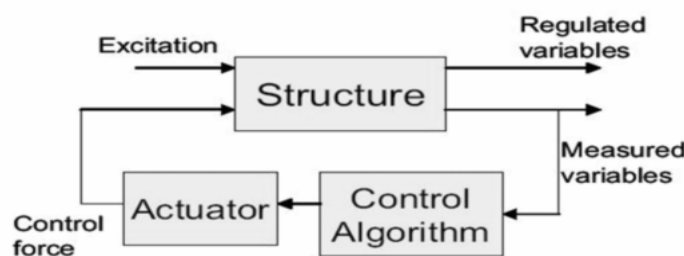


شکل (۹-۲)

^۱ Brace

سیستمهای کنترل فعال :

در این روش دو نیروی ناشی از زلزله و محرک یکدیگر را خنثی می کنند . یک رایانه عمل پردازش اطلاعات خروجی از سنسورها را مطابق با الگورتم کنترلی بر عهده دارد و سیگнал کنترلی را جهت کنترل شتاب ، سرعت و یا جابجایی به محرکها اعمال می کند . در اینجا محرکها نیاز به نیروی محرکه الکتریکی یا هیدرولیکی دارند. بلوک دیاگرام سیستمهای کنترل فعال به شکل (۱۰-۲) زیر می باشد.



شکل (۱۰-۲)

محركهای اکتیو کنترل به نوع های مختلفی تقسیم می شود که نمونه های ان به شرح زیر می باشد :

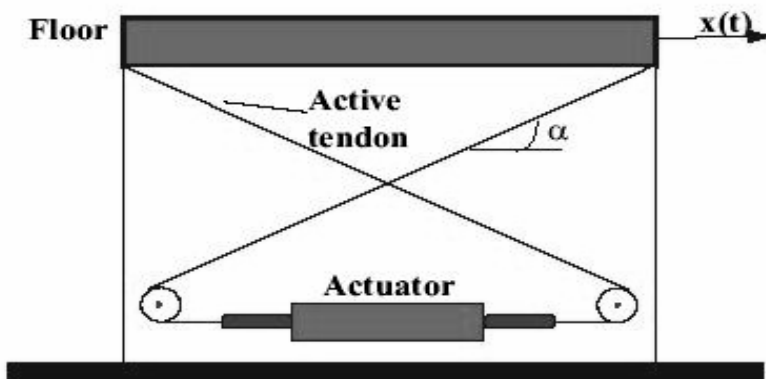
Active Brace , Active Tendon , Active Mass Drivers , Active Tuned Mass Damper

Active Tendon

این محرک شامل کابل‌هایی می باشد که از یک طرف متصل به نیروی محرکه الکتریکی یا هیدرولیکی و از طرف دیگر متصل به سازه می باشد. با اندازه گیری میزان تغییرات در سنسورها و اعمال آن به پردازنده ، نسبت به قانون کنترل ، فرامینی به محرک الکتریکی یا هیدرولیکی (معمولاً جک هیدرولیکی می باشد) در جهت کنترل سازه اعمال می گردد. معادله دینامیکی و شماتیک یک سازه متصل به Active Tendon به صورت معادله (10-۲) و شکل(11-۲) می باشد.

(10-۲)

$$m\ddot{x}(t) + c\dot{x}(t) + kx(t) = -m\ddot{x}_g(t) + (4k_c \cos \alpha) f(t)$$



شکل(11-۲)

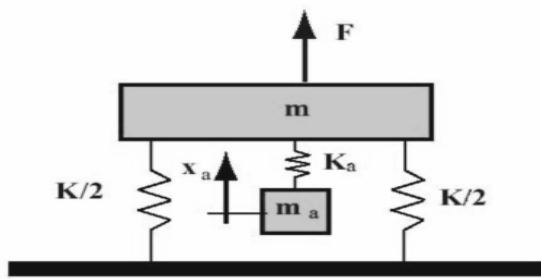
m و c و k به ترتیب جرم ، ضریب میرایی و ضریب سختی سازه می باشند. K_c سفتی و α شیب زاویه Tendon می باشند . f نیز نیروی هیدرولیک محرک می باشد و \ddot{x}_g شتاب وارد شده به سازه از جانب زمین می باشد. [18]

: Active Mass Drive

جرم فعال محرک ، جرمی است که با توجه به فرایمین قانون کنترل پردازنده ناشی از اندازه

گیری سنسورها شروع حرکت می کند.[19]

شماتیک جرم فعال به صورت شکل(۱۲-۲) می باشد.



شکل(۱۲-۲)

معادله حالت جرم فعال در معادله (۱۱-۲) آمده است .

(۱۱-۲)

$$\begin{bmatrix} m & 0 \\ 0 & m_a \end{bmatrix} \begin{bmatrix} \ddot{x} \\ \ddot{x}_a \end{bmatrix} + \begin{bmatrix} K + K_a & -K_a \\ -K_a & K_a \end{bmatrix} \begin{bmatrix} x \\ x_a \end{bmatrix} = \begin{bmatrix} F_0 \sin \omega t \\ 0 \end{bmatrix}$$

با فرض حالت ماندگار نتایج زیر حاصل خواهد شد :

(۱۲-۲)

$$x_{ss}(t) = X \sin \omega t$$

$$x_{ass}(t) = X_a \sin \omega t \quad (۱۳-۲)$$

$$\begin{aligned} X &= \frac{(K_a - m_a \omega^2)F_0}{(K + K_a - m\omega^2)(K_a - m_a \omega^2) - K_a^2} \\ X_a &= \frac{K_a F_0}{(K + K_a - m\omega^2)(K_a - m_a \omega^2) - K_a^2} \end{aligned}$$

با توجه به تمایل به مینیمم کردن جابجایی داریم نتیجه زیر برای بدست آوردن پارامتر ها

حاصل خواهد شد :

(۱۴-۲)

$$\omega^2 = \frac{K_a}{m_a}$$

: Active Brace

سیستم تحریک Active Brace معمولا در در هر یک از طبقات سازه به صورت بازوهای V شکل به Active Brace کار می رود و در سازه های خیلی بلند در دهانه چندین طبقه کار گذاشته می شود. دارای گونه های متفاوتی می باشد که به عنوان مثال X Brace را می توان نام برد. سیستم Active Brace دارای محرک هیدرولیکی می باشد که ان وابسته به نیروی افقی مورد تقاضا برای اعمال به صفحات سقف و کف سازه می باشد. در Active Brace معادله حرکت سیال در حال جریان به صورت (۱۵-۲) است.

(۱۵-۲)

$$\dot{f}(t) = \frac{2\beta}{V} (Ak_q c(t) - k_c f(t) - A^2 \dot{x}_a(t))$$

در معادله فوق C میزان ولو ورودی، f نیروی تولید شده توسط محرک، A سطح مقطع عرضی محرک، β ضریب کشیدگی (چسبندگی) سیال، V مشخصه مقدار سیال هیدرولیک به کار رفته در محرک، x_a مقدار جابجایی محرک و (k_c, k_q) مقادیر سیستم هستند. معادله حلقه باز سیستم فوق ناپایدار است و جهت پایداری آن استفاده از معادله حلقه بسته لازم می باشد. همچنین دینامیک های اعمالی به محرک وابسته به پاسخ محرک می باشد. پس از استفاده از محرک هیدرولیک با فیدبک واحد معادله سیستم به صورت (۱۶-۲) خواهد شد.

(۱۶-۲)

$$\dot{f}(t) = \frac{2\beta}{V} (Ak_q \gamma(u(t) - x_a(t)) - k_c f(t) - A^2 \dot{x}_a(t))$$

در معادله فوق u فرمان کنترل، γ بهره فیدبک نسبی برای کنترل کننده و پایدار ساز محرک است. با بازنویسی مجدد معادله به صورت (۱۷-۲) خواهد شد.

(۱۷-۲)

$$\dot{f}(t) = a_1 u(t) - a_1 x_a(t) - a_2 \dot{x}_a(t) - a_3 f(t)$$

$$a_1 = \frac{2\beta k_q \gamma}{V} \quad a_2 = \frac{2\beta A^2}{V} \quad a_3 = \frac{2\beta k_c}{V}$$

معادله حالت سیستم فوق به صورت (۲۰-۲) خواهد شد.

(۲۰-۲)

$$\dot{\mathbf{x}}_a = \mathbf{A}_a \mathbf{x}_a + \mathbf{B}_a \mathbf{u}$$

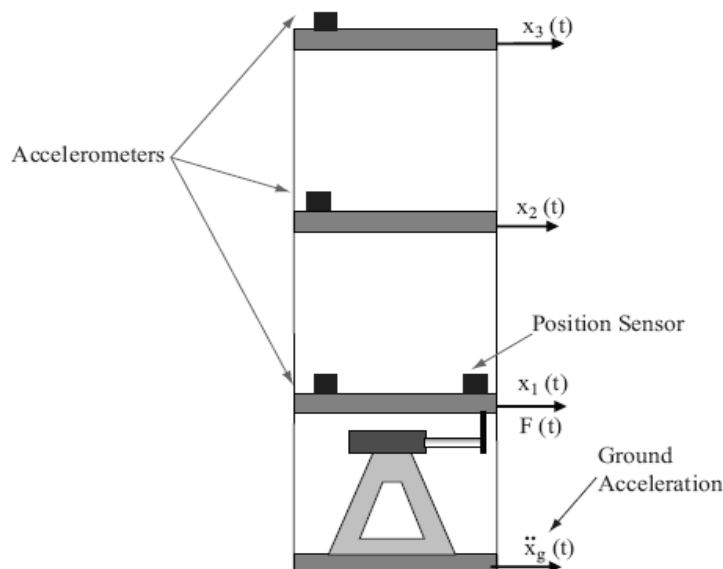
$$\mathbf{y}_a = \mathbf{C}_a \mathbf{x}_a + \mathbf{D}_a \mathbf{u} = \mathbf{f}$$

$$\mathbf{A}_a = [-a_3], \quad \mathbf{B}_a = [a_1 \quad -a_1 \quad -a_2], \quad \mathbf{C}_a = 1, \quad \mathbf{D}_a = [0 \quad 0 \quad 0]$$

حال می توان نیروی بدست آمده \mathbf{f} از معادله (۲۱-۲) را به معادله (۲۰-۲) اعمال نمود و سازه تحریک شده را به شکل (۱۳-۲) تحت کنترل در آورد.

(۲۱-۲)

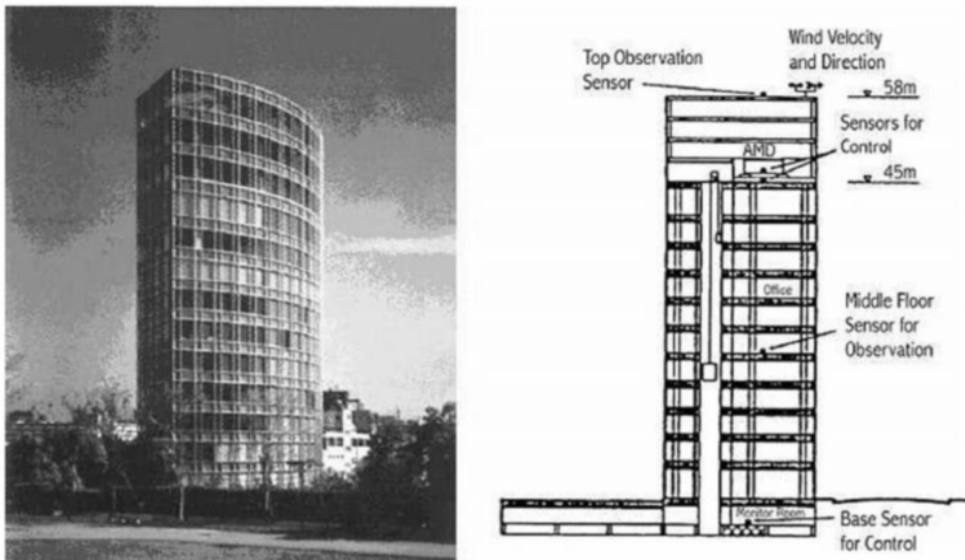
$$[\mathbf{M}] \ddot{\mathbf{x}}(t) + [\mathbf{C}] \dot{\mathbf{x}}(t) + [\mathbf{K}] \mathbf{x}(t) = \mathbf{B}_s F(t) - [\mathbf{M}] \Gamma \ddot{\mathbf{x}}_g(t)$$



شکل (۱۳-۲)

سیستم میراگر جرمی مرکب^۱ :

میراگر جرمی مرکب مرسوم ترین وسیله کنترلی است که در کاربردهای مهندسی عمران به مقیاس واقعی بکار گرفته شده است. یک HMD ترکیبی از یک میراگر جرمی تنظیم شده غیرفعال TMD و یک محرک کنترلی فعال می باشد . توانایی این وسیله برای کاهش پاسخ های سازه مهمتر از همه بستگی به حرکت طبیعی TMD دارد . نیروها از محرک های کنترلی بکار گرفته می شوند تا بازده HMD را افزایش دهند و پایداری انرا برای تغییر در مشخصات دینامیکی سازه افزایش دهند . انرژی و نیروهای لازم برای کارکردن یک نوع HMD خیلی کمتر از مقدار مورد نیاز برای یک سیستم میراگر جرمی کاملاً فعال با عملکرد یکسان می باشد. یک نمونه از کاربرد این سیستم HMD که در سال 1991 در ساختمان اینترز در توکیو نصب شده است به شکل (14-2) می باشد .

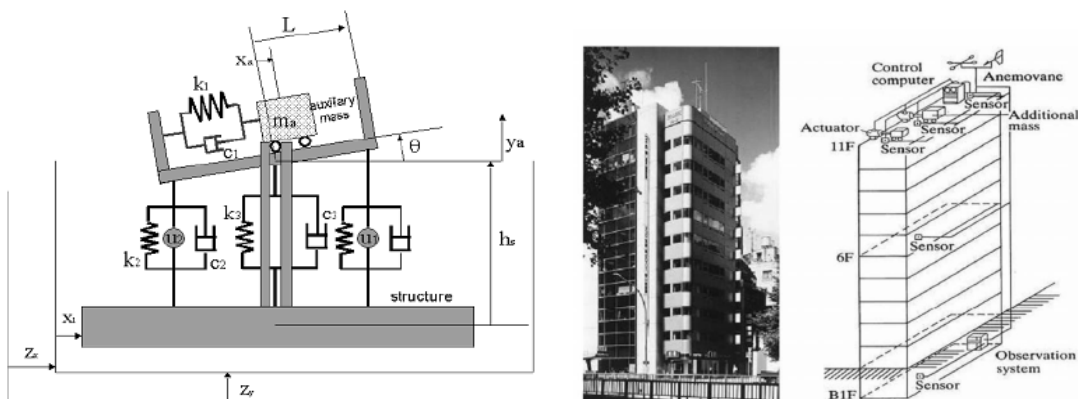


شکل (14-۲) ساختمان SENDAGAYA INTES با میراگرهای جرمی ترکیبی

^۱ HMD(hybrid mass drive)

جرم و میراگر وفق یافته فعال^۱ :

جرم و میراگر وفق یافته فعال در سازه در زمان لرزش با یک اختلاف فاز توسط نیروی هیدرولیک یا موتور الکتریکی شروع به نوسان می کند و سبب تعادل در سازه میگردد . محدودیت های طراحی مانند محدودیت فضای سرویس ، می تواند مانع از استفاده از سیستم HMD شود . نمونه ای که میراگر جرمی فعال یا هدایت کننده جرمی فعال AMD است که در ساختمان کیوباشی در توکیو طراحی و نصب گردید . این ساختمان اولین ساختمان کامل با مقیاس واقعی از تکنولوژی کنترل فعال می باشد که یک ساختمان 11 طبقه با مساحت زیربنای 423 مترمربع است . همانطور که در شکل زیر دیده می شود سیستم کنترلی شامل دو عدد AMD AMD اصلی برای حرکت عرضی استفاده گردید و وزنی حدود 4 تن دارد ، در حالی که AMD دوم وزنی در حدود 1 تن دارد و برای کاهش حرکات پیچشی استفاده می گردد . نقش سیستم فعال در اینجا کاهش لرزش‌های ساختمان تحت نیروهای باد و زلزله و در نتیجه افزایش اسایش و راحتی ساکنان بوده است .



شکل (۱۵-۲) ساختمان کیوباشی که بر روی آن AMD نصب شده [22]

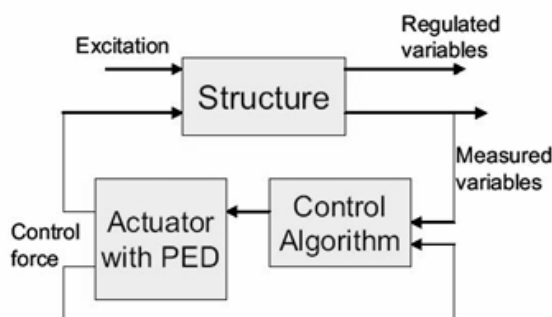
^۱ Active Tuned Mass Damper (ATMD)

^۱ سیستم‌های کنترل نیمه فعال

یک سیستم کنترل نیمه فعال در واقع یک سیستم کنترل غیر فعال میباشد که یک یا چند مشخصه آن را بتوان کنترل کرد. به عنوان مثال در fluid viscous damper میزان میرایی را میتوان کنترل کرد. از جمله ابزار نیمه فعالی که در سیستم‌های نیمه فعال استفاده میشوند به شرح زیر می باشند :

Variable-orifice dampers , variable-friction dampers , ER² & MR³ devices

از مهمترین شاخصه های سیستم غیر فعال کار کردن با باتری(نیاز به برق جهت موتور محرک یا هیدرولیک همانند کنترل اکتیو ندارد) و همچنین اثر پایداری بسیار بالای آن بر روی سازه ها می باشد.



شکل (۱۶-۲)

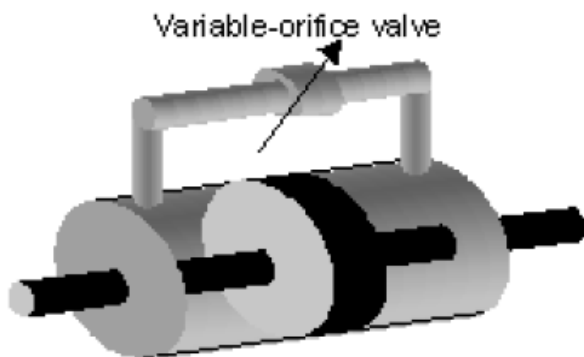
^۱ Semi Active Control

^۲ Electro rheological

^۳ Magneto rheological

: Variable - orifice damper

این نوع دمپر در واقع سیلندری می باشد که دو طرف پیستون ان از طریق یک شیر برقی قابل تنظیم به یکدیگر متصل می گردد که در زمان قرار گیری سیلندر تحت فشار، میزان و سرعت حرکت سیال از یک طرف سیلندر به طرف دیگر ان توسط این شیر قابل کنترل می باشد. این دمپر به شکل(17-۲) می باشد [24]

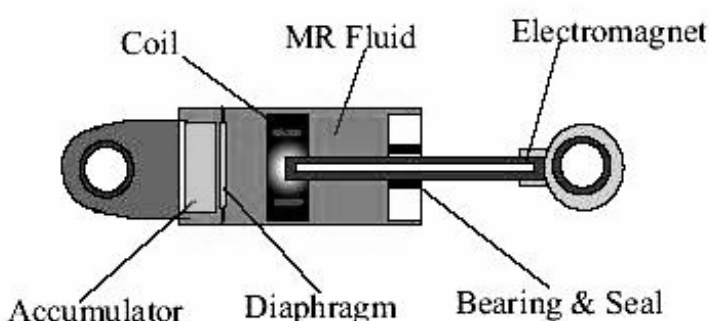


شکل(17-۲) شماتیک میراگر اوریفیس متغیر

تجهیزات² و MR¹ [9,11,20]

ER : سیلندر هیدرولیکی است که داخل روغن آن مواد دی الکتریک ترکیب می باشد که باعماق میدان الکتریکی سبب تغییر مقاومت روغن و در نتیجه سبب تغییر رفتار دینامیکی سیلندر می شود.

MR : سیلندری است حاوی مواد ویسکوپلاستیک که ازلحاظ کاری مشابه با ER عمل می کند با این تفاوت که محرک آن میدان مغناطیسی می باشد.



شکل(۲)۱۸-۲) شماتیک MR دمپر[21]

این کلاس از وسایل نیمه فعال از سیال قابل کنترل استفاده می کنند که در شکل فوق بطور شماتیک نشان داده شده اند. در مقایسه با سیستم های میراگر نیمه فعال که در گذشته شرح داده شد ، یکی از فواید وسایل با سیال قابل کنترل اینست که آنها شامل هیچ قسمت متحرکی غیر از پیستون نیستند که همین امر آنها را ساده و از نظر پتانسیلی مناسب می کند.

مشخصه ویژه این سیالات توانایی آنها برای تغییر فرم آنها از جریان آزاد، سیال ویسکوز خطی به یک شبه جامد با مقاومت نهایی قابل کنترل در مدت زمان میلی ثانیه می باشد ، هنگامی که در معرض میدانهای الکترونیکی (برای ER) و مغناطیسی (برای MR) قرار گیرند .

¹ Electro rheological

² Magneto rheological

در فقدان هر یک ازمیدانها ، این سیالات آزادانه جریان پیدا می کنند و می توانند به عنوان سیال نیوتونی مدل شوند. تنش نهایی کلی بوسیله رابطه (۲۲-۲) می آید .

(۲۲-۲)

$$\tau = \tau_{y(field)} Sgn(\gamma) + \eta_p \gamma$$

که در آن $\tau_{y(field)}$ تنش تسلیم است که بوسیله میدان اعمالی بوجود می آید ، γ تغییر کرنش برشی و η_p ویسکوزیته پلاستیک می باشد ، که عنوان شب تنش برشی اندازه گیری شده به تغییرات کرنش برشی تعريف می شود.

بهترین سیال ER که در حال حاضر در دسترس می باشد دارای تنش تسلیم فقط در حدود ۳-۵ kapa می باشد

اخیرا سیالات MR گسترش یافته اند و بنظر می رسد که یک جایگزین مناسب برای سیالات ER در میراگرهای کنترل پذیر می باشند . سیالات MR بطور کلی شامل ذرات ریز میکرونی ، مغناطیسی قابل پلاریزه شدن هستند که در یک سیال واسطه مانند روغن سیلیکون پراکنده هستند . توسط کارلسن و ویسن مشخص گردید که تنش نهایی بدست آمده از یک سیال MR از نظر مقدار بزرگتر از سیال ER متناظر می باشد و اینکه سیالات MR می توانند در دمای ۱۵۰~۴°C فقط با تغییرات نسبتا کمی در تنش تسلیم عمل کنند .

نسبت تنش تسلیم برای سیالات MR تقریبا $10^{11} \text{ s}/\text{pa}$ می باشد که ۳ مرتبه از نظر مقدار کوچکتر از نسبت متناظر برای بهترین سیال ER موجود امروزی می باشد . بنابراین وسایل کنترلی که از سیالات MR استفاده می کنند دارای پتانسیل خیلی کوچکتر از وسایل ER با ظرفیت مشابه می باشند . علاوه بر این سیال MR می تواند به سادگی با یک نیروی کم (کمتر از ۵۰ w) و ولتاژ پایین (حدود ۱۲~۲۴v) و جریان خروجی منبع تغذیه

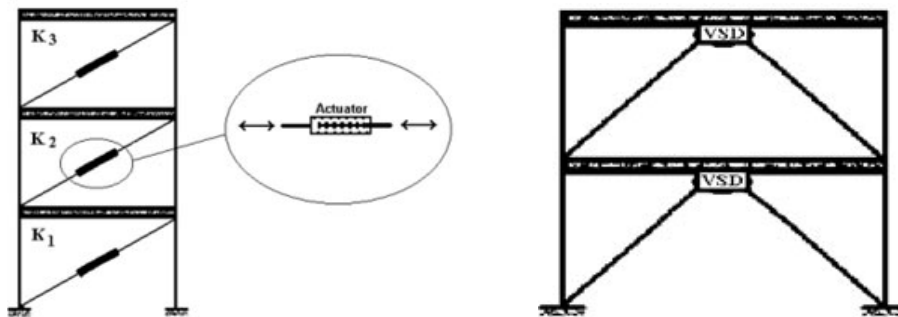
در حدود $A \sim 2$ کنترل گردد . باطری ها به راحتی می توانند چنین نیرویی را تامین نمایند.

سیستم کنترل با استفاده از سختی متغیر^۱ :

ایراد عمدۀ کنترل اکتیو در این است که در هنگام زلزله های شدید باید نیروی بزرگی به سازه اعمال نمایند، که این کار نیازمند انرژی زیادی می باشد . از سوی دیگر اعمال این نیروهای بزرگ ممکن است سازه را به ارتعاش درآورد، یعنی سیستم کنترل بر عکس حالت مطلوب عمل نماید . از این رو استفاده از سیستم های ذکر شده محدود به زلزله ها باشد متوسط می گرددن . یکی از روش‌های غلبه بر مشکلات ذکر شده استفاده از سیستم های کنترل هماهنگ شونده می باشد . سیستم های هماهنگ شونده بطور کلی به سیستم هایی گفته می شود که بطور پیوسته با توجه به یک شاخص عملکرد، رفتار خود را ارزیابی می کنند و مشخصات خود را به گونه ای تغییر دهند که بهترین پاسخ از آن حاصل شود . با توجه به معادلات دینامیکی حاکم بر سازه های برشی مشخص می شود که مشخصه های دینامیکی این سازه ها شامل جرم، میرایی و سختی می باشد . جرم سازه ها عمدتا ثابت می باشد و نمی توان ازرا در زمان کوتاه تغییر داد و از سوی دیگر تاثیر تغییرات میرایی در پاسخ سازه ها بخصوص در بارگذاری ها با زمان کوتاه به نسبت اثر تغییر سختی بسیار کمتر است . از این ایده ، استفاده از سازه با سختی متغیر شکل گرفت . هدف استفاده از سازه های با سختی متغیر نه تنها حداقل ساختن اثرات مخرب ناشی از زلزله های بزرگ و حفاظت جان استفاده کنندگان است بلکه تامین اینمی سازه و عملکرد مطلوب سازه پس از وقوع زلزله می باشد . در این روش با دور نگاه داشتن پریود سازه(با تغییر سختی) از حالت تشدید، انرژی ورودی به سازه حداقل نگاه داشته می شود . نکته قابل توجه این است که برای تغییر

^۱ variable stiffness

سختی سازه از انرژی بسیار کمی استفاده می شود. از اینرو سیستم ها را می توان برای مقابله با زلزله های با شدت زیاد نیز استفاده کرد.

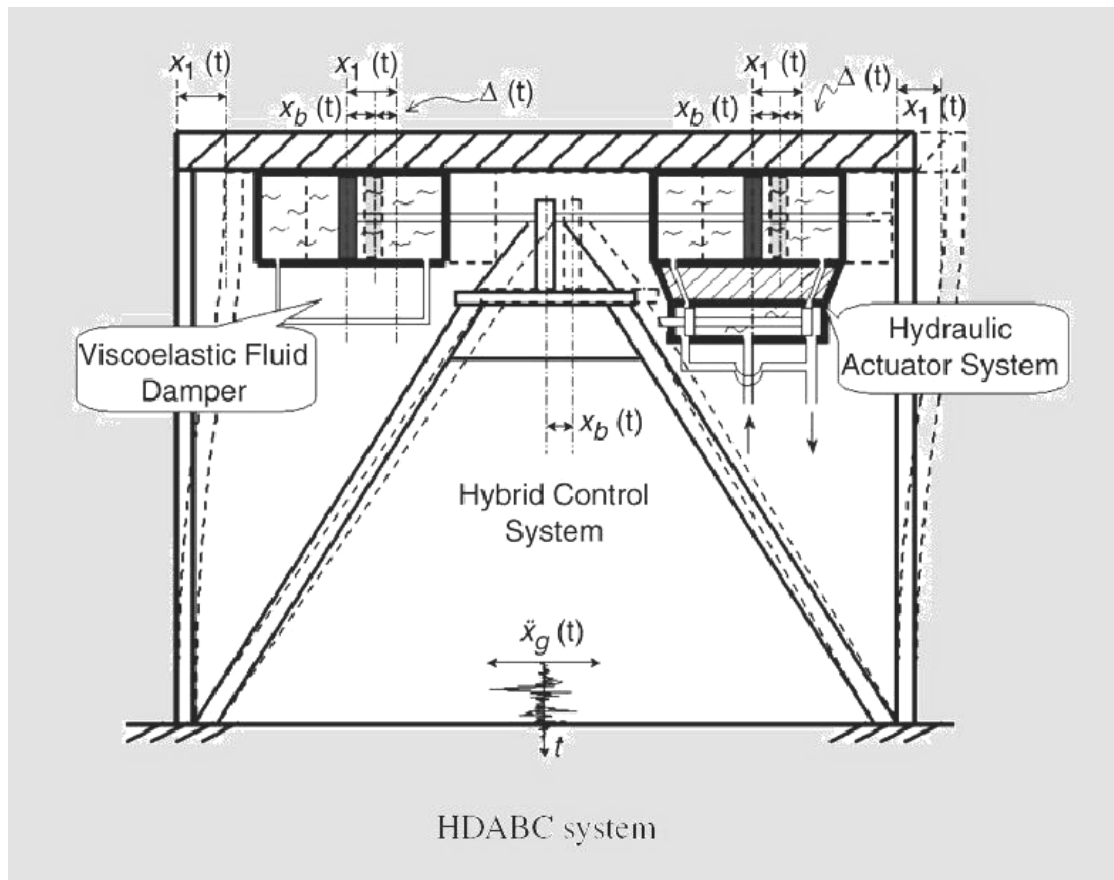


شکل (۱۹-۲) سختی متغیر^۱

¹ variable stiffness

سیستمهای کنترل ترکیبی^۱

از ترکیب سیستم غیر فعال با سیستمهای کنترل فعال نیمه فعال بدست می اید . به دلیل انکه در زمان زلزله ممکن است قطع برق رخ دهدو به دنبال ان از مدار خارج شدن محرک در کنترل اکتیو، لذا از یک کنترل نیمه فعال (توسط باتری تغذیه می شوند) به موازات کنترل فعال جهت پایدار ماندن رفتار دینامیکی سازه استفاده می شود. معمولاً در سازه های دارای اهمیت از ترکیب هرسه نوع کنترل غیر فعال، نیمه فعال و فعال استفاده می شود. در شکل (۲۰-۲) نمونه ای از سیستم کنترل ترکیبی آمده است .



شکل (۲۰-۲)

^۱ Hybrid Control

فصل سوم

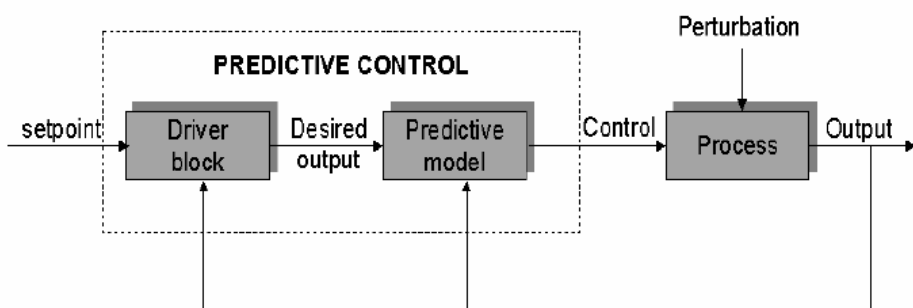
قوانين کنترل

در قسمت های قبل با معادلات دینامیکی سازه ها و همچنین معادلات دینامیکی محرک ها و طریقه ارتباط بین آن دو آشنا گشتم. در این قسمت می خواهیم با روش‌هایی که پردازنده بر روی ترکیب معادلات دینامیکی سیستم و محرک کنترل می نماید آشنا شویم.

فهرست مطالب :

- کنترل پیش‌بین -
 - کنترل پیش‌بین تطبیقی -
 - کنترل بر روی سطح لغزش -
 - کنترل فازی -
 - شبکه‌های عصبی فازی -
 - پیش‌بینی با روش شبکه‌های عصبی فازی -
- لازم‌مeh آنکه پردازنده بتواند بر سازه کنترل نماید بدست آوردن معادله دینامیکی سازه می باشد. پس از بدست آوردن این معادلات می توان هر یک از متدهای کنترلی که شامل کنترل پیش‌بین، کنترل بر روی سطح لغزش، کنترل تطبیقی، کنترل فازی، کنترل عصبی و ترکیباتی از این روشها را جهت کنترل سازه استفاده نمود.

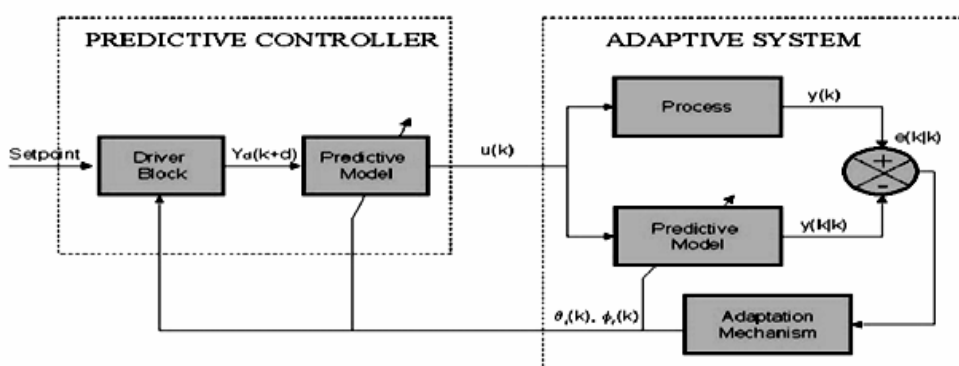
کنترل پیش‌بین : در این روش با دریافت تغییرات در وضعیت پارامترهای سازه از سنسورها و اعمال آن به معادله دینامیکی سازه پردازند و وضعیت حالت بعد پارامترهای سازه را پیش‌بینی و فرامینی را در جهت خنثی کردن نیروی وارد شده بر سازه به محرکها اعمال می‌کند. بلوک دیاگرام این متده کنترلی به صورت زیر می‌باشد:



Basic block diagram for predictive control system (PCS)

شکل(۳-۱) بلوک دیاگرام کنترل پیش‌بین

کنترل پیش‌بین تطبیقی^۱ : به علت انکه معادلات دینامیکی به دست امده عموماً از دقت کافی بهره مند نیستند جهت جلوگیری از ناپایدار شدن سازه و همچنین رسیدن به پاسخ کنترلی مطلوب عموماً همراه با کنترل پیش‌بین از کنترل تطبیقی نیز استفاده می‌شود. در این روش معادلات دینامیکی سازه با دریافت میزان خطا هر زمان بهینه می‌شود. بلوک دیاگرام این روش به شکل زیر می‌باشد:

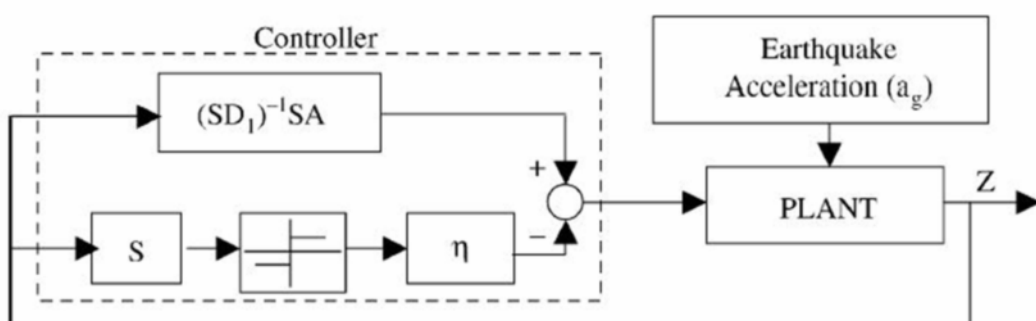


شکل(۳-۲) بلوک دیاگرام کنترل پیش‌بین تطبیقی [23]

¹ adaptive predictive control

کنترل بر روی سطح لغزش^۱ : در کنترل سازه ها معادله دینامیکی بدست آمده برای سازه ، غیر خطی می باشد. یکی از بهترین روشها جهت کار با معادلات غیر خطی در کنترل ، روش کنترل بر روی سطح لغزش می باشد. در این روش یک سطح لغزش به عنوان سطح صفر یا مرجع می باشد. محرکها تنها در زمانی که پارامتر مورد کنترل بر روی این سطح قرار گرفته اندغیر فعال می باشند. در خارج از این سطح محرکها با توجه به میزان اختلاف دارای گین مثبت یا منفی در جهت رسیدن به این سطح می باشند. این روش به دلیل سادگی ، پایداری بالا و سرعت محاسبه سریع ان با توجه به این که کنترل سطح لغزش بر پایه دو شرط عمل می کند می توان از بهترین متدهای کنترلی عنوان نمود. بلوک دیاگرام

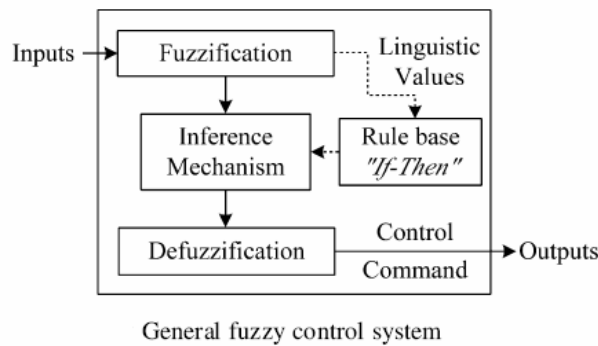
این روش به شکل زیر می باشد :



شکل (۳-۳) بلوک دیاگرام کنترل بر روی سطح لغزش [25]

^۱ sliding-mode control

کنترل فازی^۱ : از انجایی که کار با محدوده ها برای انسان راحت است و همچنین دوست داریم در نواحی مختلف کنترل های گوناگونی داشته باشیم کنترل فازی در کنترل سازه ها نیز جایگاه خود را پیدا نموده است. در زیر بلوک دیاگرام این متدهای کنترلی در شکل (۴-۳) آمده است.



شکل (۴-۳)

هر کنترل کننده فازی شامل چهار بخش می باشد:

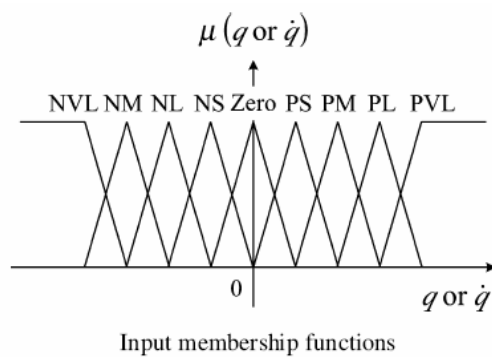
۱. فازی سازها : یک فازی ساز ورودی کنترلر را به اعداد فازی با توابع عضویت تبدیل می کند که در زیر نمونه ای از آن را مشاهده می کنیم.

$$\mu(x) = \begin{cases} \mu_i(x) & \text{if } x \in [x_{\min}^i, x_{\max}^i] \\ 0 & \text{otherwise} \end{cases}$$

دراینجا x ورودی کنترلر و μ_i تابع عضویت می باشد

۲. ماشین استنتاج : بر روی داده های ورودی که میتواند شتاب، جابجایی و... باشد بر حسب قوانین پایه استنتاج میکند به عنوان مثال :

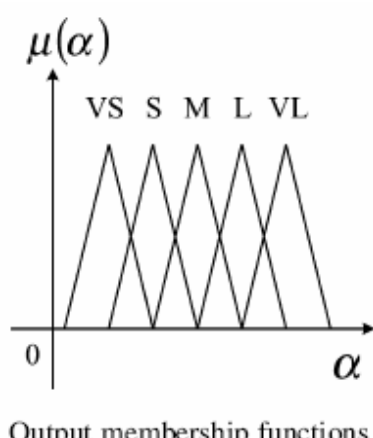
^۱ Fuzzy control



{NVL (negative very large), NL (negative large), NM (negative medium), NS (negative small), Zero (zero), PS (positive small), PM (positive medium), PL (positive large), PVL (positive very large)}

۳. قواعد پایه : شامل چندین اگر و انگاه " If-Then " می باشد
۴. تجدید داده ها از خروجی کنترلر فازی : در این قسمت خروجی که به صورت فازی می باشد به میزان بهره جهت استفاده محرکها تبدیل میشود. نمونه ای از خروجی فازی در زیر آورده شده است :

{VS (very small), S (small), M (medium), L (large), VL(very large)}



شبکه های عصبی فازی :

برای پیش بینی روش‌های مختلفی وجود دارد. معمولاً برای این مهم از روش‌های اماری مثل رگرسیون، مدل‌های سری‌های زمانی مانند اتورگرسیون و میانگین متحرک واژاين قبیل استفاده می‌کنند در دهه اخیر با رشد ، روش‌های فرا ابتکاری و هوش مصنوعی، استفاده از روش‌های شبکه‌های عصبی و منطق فازی برای پیش بینی مورد چالش قرار گرفته و موضوع تحقیق بسیاری از محققین قرار گرفته است. اخیراً ترکیب شبکه‌های عصبی مصنوعی و منطق فازی که شبکه‌های عصبی فازی نامیده شده اند، بطور متداول به عنوان ابزار تقریبی غیر خطی استفاده می‌شوند و دارای محسن‌زیادی در پیش بینی، طبقه‌بندی، خوشه‌بندی و تکنیک‌های بهینه‌سازی هستند.

ایده آموزش برای حل مسائل شناسایی الگوهای پیچیده با استفاده از دیدگاه عامل‌های داده هوشمند برای محققان دانشگاهی بسیار مورد توجه است. شبکه‌های عصبی ابزار محاسباتی ساده‌ای برای آزمون داده‌ها و ایجاد مدل از ساختار داده‌ها است. داده‌هایی که برای ایجاد مدل‌های استفاده می‌شوند، به داده‌های آموزشی مشهور هستند. هر گاه شبکه عصبی از داده‌های آموزشی برای یادگیری الگوهای موجود در داده‌ها استفاده کند، می‌تواند آنها را برای دستیابی به خروجی‌ها و نتایج مختلف بکار بگیرد.

انواع مختلفی از شبکه‌های عصبی مصنوعی وجود دارد که یکی از معروف‌ترین آنها، شبکه عصبی چند لایه پیش خور (MFNN) می‌باشد .

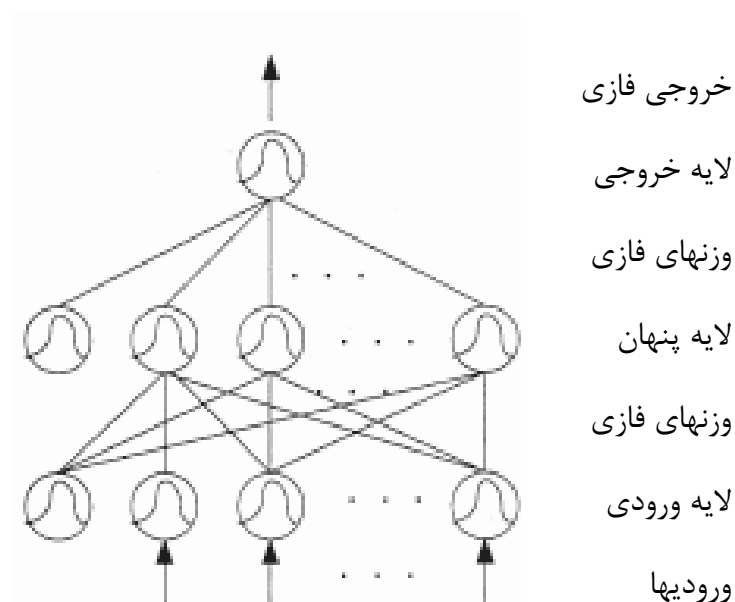
شبکه عصبی چند لایه پیش خور، مثالی از شبکه عصبی آموزش داده شده با استفاده از ناظر است. این نوع شبکه عصبی بدلیل کاربردهای گسترده در بسیاری از ابعاد مسائل مربوط به مدیریت، مانند پیش‌بینی اصولی، طبقه‌بندی و مدل‌سازی، بسیار محبوب است. MFNN برای حل مسائلی که شامل یادگیری ارتباط بین یک مجموعه ورودی‌ها و خروجی‌های مشخص هستند، مناسب می‌باشد . که در حقیقت یک تکنیک آموزش با ناظر برای یادگیری ارتباط‌های بین داده‌ها با استفاده از مجموعه داده‌های آموزش است.

الگوریتم یادگیری پس انتشار خطا بدین صورت است که برای یک الگوی ورودی داده شده، شبکه یک خروجی Z_k یا مجموعه‌ای از خروجی‌ها را ایجاد می‌کند و این واکنش را با واکنش مطلوب هر عصب k مقایسه می‌کند. این مقدار برای مسائل پیش‌بینی، مقداری پیوسته می‌باشد وزن‌های شبکه سپس برای صحیح شدن یا کاهش خطا اصلاح می‌شوند و الگوی بعدی نمایان می‌شود. اصلاح وزن‌ها بطور پیوسته در این روال تا زمانیکه کل خطاهای از سطح تولرانس از پیش تعیین شده کمتر شود، ادامه می‌یابد. [16]

دلیل اینکه تاثیر این به روز رسانی ورودی‌ها بصورت تدریجی مجبور میانگین خطا را به حداقل می‌رساند، اینست که تمامی الگوهای ورودی، متکی بر این حقیقت هستند که الگوریتم یادگیری پس انتشار خطا، گرادیان نزولی در تابع خطا دارد.

بطور کلی، به تنها یک شبکه‌ای عصبی مصنوعی برای مقصودی که ما از آن استفاده می‌کنیم، توانایی بالایی در توسعه یک مدل در زمانی منطقی را ندارد. از سوی دیگر، مدل‌سازی فازی برای کاربرد ادغام تصمیمات از متغیرهای متفاوت، نیازمند یک رویکردی جهت یادگیری از تجربیات (داده‌های جمع آوری شده) است. شبکه‌ای عصبی مصنوعی و مدل فازی در بسیاری از زمینه‌های کاربردی استفاده شده‌اند و هر کدام آنها دارای محسن و معایبی هستند. بنابراین، ترکیب موفقیت آمیز این دو دیدگاه، مدل‌سازی شبکه‌های عصبی مصنوعی و فازی، موضوع مطالعات اتی قرار گرفته است. با ترکیب شبکه‌های عصبی مصنوعی و منطق فازی، موفق به پیاده‌سازی یک سیستم فازی به گونه‌ای شده ایم که قابلیت یادگیری داشته باشد که به اینصورت عمل می‌کند؛ در هر دور آموزش، هنگام حرکت رو به جلو خروجی‌های گره‌ها به صورت عادی تا لایه آخر محاسبه می‌شوند و سپس پارامترهای نتیجه توسط روش کمترین مجموع مربعات خطا محاسبه می‌شوند. در ادامه پس از محاسبه خطا در بازگشت رو به عقب نسبت خطا بر روی پارامترهای شرط پخش شده و با استفاده از روش شیب نزولی خطا مقدار آنها تصحیح می‌شود. ساختارهای مختلفی برای پیاده‌سازی یک سیستم فازی توسط شبکه‌های عصبی پیشنهاد شده‌اند که یکی از پر قدرت ترین این ساختارها، ساختار موسوم به

سیستم استدلال عصبی فازی مصنوعی (ANFIS) است. معماری سیستم استدلال عصبی فازی مصنوعی در شکل(۳-۵) نشان داده شده است.[14,15]



شکل(۳)

روش آموزش اصلی ANFIS روش پس انتشار خطا است . در این روش با استفاده از الگوریتم تندترین شبیب نزولی، مقدار خطا به سمت ورودیها پخش می گردد و پارامترها تصحیح می شوند. تفاوت اصلی شبکه های عصبی فازی با شبکه های عصبی مصنوعی در آن است که وزن های شبکه های عصبی فازی، بصورت فازی تعریف شده و بصورت قطعی درنظر گرفته نمی شوند.

پیش بینی با روش شبکه های عصبی فازی:

در طراحی مدل شبکه های عصبی فازی از شبکه عصبی چند لایه پیش خور با الگوریتم یادگیری پس انتشار خطاب و سیستم استنتاج فازی تاکاگی سوگنو استفاده میگردد. برای طراحی سیستم بهینه شبکه عصبی فازی، از طریق تغییر مداوم تعداد لایه ها و تعداد نرون های لایه های پنهان، توپولوژی مناسب شبکه عصبی مورد بررسی قرار می گیرد. از طریق تغییر مداوم توابع عضویت مختلف و تعداد توابع عضویت نیز سیستم مناسب پایگاه استنتاج فازی طراحی می شود. برای مسائل پیش بینی، از برخی معیارهای عملکرد برای نشان دادن چگونگی یادگیری ارتباطهای داده ها در شبکه عصبی فازی استفاده می شود که عمدتاً مربوط به خطای بین خروجی های پیش بینی شده و خروجی مطلوب واقعی است. [12]

فصل چهارم

کنترل کننده های فازی

منطق فازی [2]

مقدمه

منطق فازی در سال ۱۹۶۵ توسط لطفی علی عسگر زاده ارائه شد این منطق تعمیمی از منطق دو ارزشی می باشد در حالی که در منطق دو ارزشی جایی برای واژه ای مخصوصاً «کم»، «زیاد»، «بزرگ»، «کوچک» و مانند آن که پایه های اندیشه و استدلالهای معمولی انسان همچون «کم»، «زیاد»، «بزرگ» و «کوچک» را تشکیل می دهند نیست، روش زاده بر پایه به کار گیری همین متغیرهای زبانی است.

به عنوان مثال، مساله رعایت فاصله با خودروی جلویی، در هنگام رانندگی را در نظر می گیریم. برای این کار معمولاً نکات زیر را رعایت می کنیم. «اگر احسنه می رانیم، می توانیم فاصله را کم کنیم»، «اگر جاده لغزنده است، فاصله را زیاد می کنیم»، «اگر هوا تاریک است، فاصله را زیاد می کنیم» و... معمول نیست که در هنگام رانندگی فاصله بین دو خودرو، میزان لغزنده جاده، تاریکی هوا و حتی سرعت خودرو را به دقت اندازه بگیرند و بر پایه ان مقادیر فاصله مطلوب به دست آید. در منطق دو ارزشی برای مدل سازی چنین سیستمی نیاز به اندازه گیری دقیق هر یک از متغیرها و به کار بردن آنها در رابطه های مربوطه است تا نتیجه دقیقی که میزان فاصله لازم بین دو اتومبیل است، به دست می اید.

اما در منطق فازی عباراتی مثل لغزنده کم یا زیاد، تاریکی کم یا زیاد و سرعت کم یا زیاد را به عنوان متغیرهای ورودی و عباراتی مثل «فاصله را بیشتر (یا کمتر) کن»، به عنوان متغیر خروجی به کار می رود، مشابه آنچه در مغز انسان صورت می گیرد.

به طور کلی در منطق فازی احتیاج به دانستن سه چیز است، اول تعریف یا مدلی برای متغیرها، دوم چگونگی ارتباط متغیرها و سوم چگونگی نتیجه گیری.

در ادامه این سه موضوع را بررسی می کنیم.

مدل فازی متغیرها

مجموعه ای از اعداد را در نظر می گیریم. مثلاً «مجموعه اعداد بزرگ‌تر از ۳» بر روی یک تاس، یعنی

$$A = \{4, 5, 6\}$$

عدد ۴ در این مجموعه هست ولی عدد ۳ در این مجموعه نیست. حال «مجموعه اعداد بزرگ» بر روی یک تاس را در نظر می گیریم. ایا عدد ۴ در این مجموعه هست؟ در حقیقت نمی توان با قاطعیت وجود و یا عدم وجود عدد ۴ را در این مجموعه پذیرفت. چنین مجموعه ای یک مجموعه فازی است. در منطق دو ارزشی عضویت اشیا در یک مجموعه دو حالت را می پذیرد، تعلق و عدم تعلق و یا به زبان ریاضی، صفر و یک. اما در منطق فازی درجه عضویت هر شیء می تواند عددی بین صفر و یک (در بازه [۰، ۱]) را بپذیرد. به عنوان مثال اگر قد شخصی ۱۸۵ سانتیمتر باشد و بخواهیم ببینیم آن شخص بلند قد است یا نه، در منطق دو ارزشی دو حالت داریم، یا قد شخص «بلند است» و یا «بلند نیست». اما در منطق فازی قد شخص ممکن است «تا حدودی بلند» باشد. در این منطق به قد شخص عددی بین صفر و یک نسبت می دهیم. مثلاً می گوییم او به اندازه 0.8 متعلق به بلند قد هاست. اما اگر قد او 200 سانتی متر باشد او را کاملاً قد بلند می دانیم و می گوییم: او به اندازه 1 متعلق به بلند قد هاست. این که چه عددی به بلندی قد شخص نسبت داده شود، بستگی به تعریف «بلند قدی» دارد. در عمل، معمولاً منحنی هایی به کار می رود که نمایش ریاضی ساده ای داشته باشند و با تعداد کمی پارامتر قابل تنظیم باشند، مثل ذوزنقه، مثلث و یا تابع زنگوله ای.

درجه عضویت x را در مجموعه فازی A به صورت $\mu_A(x)$ نشان می دهنند. معمول بر این است که منحنی درجه عضویت را کوثر یا محدب (Convex) می گیرند که در این صورت اگر هر دو نقطه از آن با ارتفاع برابر را در نظر بگیریم، همه نقاط بین آن دو دارای ارتفاعی بیشتر یا برابر ارتفاع دو نقطه هستند. یک عدد ممکن است تا حدودی متعلق به یک دسته باشد. در حالت استاندارد، مجموع درجات عضویت هر متغیر به همه مجموعه های موجود برابر یک است. در بسیاری از موارد به جای

دانستن قد یک شخص تنها بلند قد بودن او بر ما معلوم است. در این صورت «منحنی بلند قد بودن»

تمام آگاهی ما از قد او را در بر دارد.

می توان عملیات ریاضی معمولی را بر روی تابع های فازی تعریف کرد. به عنوان نمونه فرض کنید دو

تابع فازی ذوزنقه ای:

$$A = [a_1 \ a_2 \ a_3 \ a_4 \ 1], \quad B = [b_1 \ b_2 \ b_3 \ b_4 \ 1]$$

در این صورت می توان عملیات زیر را تعریف کرد.

$$\frac{1}{A} = \begin{bmatrix} \frac{1}{a_1} & \frac{1}{a_2} & \frac{a_4}{a_2} (a_2 + a_4) & \frac{a_3}{a_1} (a_1 - a_3) & 1 \end{bmatrix}$$

$$A + B = [a_1 + b_1 \ a_2 + b_2 \ a_3 + b_3 \ a_4 + b_4 \ 1]$$

$$A - B = [a_1 - b_1 \ a_2 - b_2 \ a_3 + b_4 \ a_4 + b_3 \ 1]$$

توجه شود $A+B$ تعریف شده در بالا با رابطه اجتماعی بین دو مجموعه فازی که ان هم گاه با نماد $+$ نشان داده می شود و به زودی در مورد این توضیح خواهیم داد، یکسان نیست.

یکی از توابع مهم در منطق فازی، تابع مکمل می باشد. در منطق دو ارزشی مکمل a به صورت 1-a

تعریف می شود. در منطق فازی این تابع را می توان به صورتهای گوناگونی نشان داد. مثلا

$$\mu_A(x) = 1 - \mu_A(x) \quad (1-4)$$

که تعمیم مستقیم منطق دو ارزشی است.

تابع مکمل باید بتواند چند شرط زیر را برآورده کند:

(2-4)

- 1) a) if $\mu_A(x) = 0 \Rightarrow \mu_{A^c}(x) = 1$
- b) if $\mu_A(x) = 1 \Rightarrow \mu_{A^c}(x) = 0$
- 2) if $\mu_A(x) < \mu_A(y) \Rightarrow \mu_{A^c}(x) \geq \mu_{A^c}(y)$

۳) تابع مکمل پیوسته است.

۴) تابع مکمل C یا تابع انعکاس^۱ است یعنی:

$$\forall a \in [0,1] : C(C(a)) = a \quad (3-4)$$

رابطه های بین متغیرها :

بین دو متغیر فازی سه گونه رابطه وجود دارد، اشتراک، اجتماع و ایجاب . البته باید توجه داشت که رابطه بین دو مجموعه فازی A و B از دو متغیر x و y به صورت $R(\mu_A(x), \mu_B(y))$ نوشته می شود.

این رابطه در حقیقت تابعی است از فضای $X \times Y$ به فضای $[0,1]$. به عبارتی یک رابط بین دو متغیر، روابه ای است در فضای سه بعدی، در حالت کلی تر رابط بین n مجموعه فازی A_1, \dots, A_N از متغیرهای فازی x_1, \dots, x_n به صورت $R(\mu_{A_1}(x_1), \dots, \mu_{A_n}(x_n))$ نوشته می شود که نتیجه، یک ابر روابه در فضای $n+1$ بعدی می باشد.

رابطه اجتماعی Union :

در منطق، رابط اجتماع هنگامی به کار می رود که به خواهیم حکم، در صورت درستی یکی از فرضهای به دست آید. به عبارتی، درست بودن یکی از فرضها، حکم را ثابت کند. در منطق فازی اجتماع رابطه ایست به صورت:

$$u : [0,1] \times [0,1] \rightarrow [0,1] \quad (4-4)$$

البته متغیرهای نا بسته، $\mu_A(x)$ و $\mu_B(y)$ در نظر گرفته می شوند و نه x و y .

رابطه اجتماعی باید شرطهای زیر را برآورده کند:

✓ باید در حالت ویژه منطق دو ارزشی صدق کند.

$$u(0,0) = 0, u(0,1) = 1, u(1,0) = 1, u(1,1) = 1 \quad (5-4)$$

✓ u باید جابجایی پذیر باشد

$$u(a,b) = u(b,a) \quad (6-4)$$

✓ u یکنواخت است.

¹-Involutuve

$$if \quad a \leq a' , b \leq b' \Rightarrow u(a,b) \leq u(a',b') \quad (7-4)$$

شرکت پذیر است.

$$u(u(a,b),c) = u(a,u(b,c)) \quad (8-4)$$

در عمل شرطهای زیر نیز برآورده می شود:

u پیوسته است.

u همانی است.

$$u(a,a) = a \quad (9-4)$$

U به صورتهای گوناگونی چون:

$$u = (a,b) = \max(a,b), u(a,b) = \min(1,x+y) , u(a,b) = a+b-ab \quad (10-4)$$

تعریف می گردد. رابط اجتماعی را با S نمایش داده و به آن کونرم می گویند.

: Intersection رابط اشتراک

این رابط هنگامی به کار می رود که بخواهیم حکم در صورت درست بودن تمام فرضها درست باشد، به عبارتی درست بودن تمام فرضها، حکم را ثابت می کند. این رابط را می توان به صورت زیر بیان کرد.

$$i = [0,1] \times [0,1] \rightarrow [0,1] \quad (11-4)$$

که باید شرطهای زیر را برآورده کند:

i منطق دو ارزشی را باید برآورده کند:

$$i(0,0) = 0 , \quad i(0,1) = 0 \quad i(1,0) = 0 , \quad i(1,1) = 1 \quad (12-4)$$

i جابجایی پذیر است:

$$i(a,b) = i(b,a) \quad (13-4)$$

i یکنواست:

$$if \quad a \leq a' \quad b \leq b' \Rightarrow i(a,b) \leq i(a',b') \quad (14-4)$$

i شرکت پذیر است:

$$i(i(a,b),c) = i(a,i(b,c)) \quad (15-4)$$

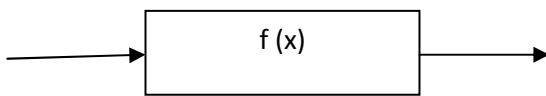
دو شرط پیوستگی و همانی نیز می توانند به شرطهای بالا اضافه شوند. ۱ به صورتهای گوناگونی چون:

$$i(a,b) = \min(a,b) \quad i(a,b) = \max(0, x + y - 1) \quad , i(a,b) = a.b \quad (16-4)$$

تعریف می گردد. رابطه اشتراک را به T نشان داده و به آن T نرم می گویند.

رابط ایجاد : Implication

رابط ایجاد به خوبی می تواند برای توصیف یک سیستم به کار رود. سیستم زیر را در نظر بگیرید. می توان توصیف ورودی-خروجی ان را به صورت «اگر $x=a$ و $y=b$ انگاه» بیان کرد که یک رابط ایجابی بین ورودی و خروجی است.



رابط ایجاد رابطی است به صورت زیر

$$R : [0,1] \times [0,1] \rightarrow [0,1] \quad (17-4)$$

$$R(\mu_A(x), \mu_B(y)) \equiv A \Rightarrow B \quad (18-4)$$

از منطق دو ارزشی می دانیم:

$$A \Rightarrow B \equiv A^C \vee B \quad (19-4)$$

در منطق فازی هم به پیروی از هم ارزی بالا، رابط ایجاد را به شکل زیر نشان می دهند:

$$R(\mu_A(x), \mu_B(y)) = S(\mu_{A^c}(x), \mu_B(y)) \quad (20-4)$$

مثالهایی از این رابط را می توان به صورتهای زیر بیان داشت:

$$R(\mu_A(x), \mu_B(y)) = \text{Max}(1 - \mu_A(x), \mu_B(y)) \quad (21-4)$$

که بر پایه رابط اجتماع $S(x,y) = \max(x,y)$ به دست آمده است و یا:

$$R(\mu_A(x), \mu_B(y)) = 1 - \mu_A(x) + \mu_B(y) - (1 - \mu_A(x))\mu_B(y) = \mu_B(y) + \mu_{A^c}(x)\mu_{B^c}(y) \quad (22-4)$$

که بر پایه رابط اجتماع $S(x,y) = x + y - xy$ به دست آمده است.

هم ارزی را در منطق دو ارزشی به صورتهای دیگری می توان نوشت:

$$A \Rightarrow B \equiv A^c \vee (A \wedge B) \quad (23-4)$$

و یا

$$A \Rightarrow B \equiv (A^c \wedge B^c) \vee B \quad (24-4)$$

در منطق دو ارزشی تفاوتی از نظر کاربرد هر یک از آنها وجود ندارد، ولی در منطق فازی نتایج متفاوتی به دست می آید. بر پایه هم ارزی بالا می توان رابطه های ایجابی زیر را تعریف کرد:

$$A \Rightarrow B \equiv S(\mu_{A^c}(X), T(\mu_A(x), \mu_B(y))) \quad (25-4)$$

$$A \Rightarrow B \equiv S(T(\mu_{A^c}(x), \mu_{B^c}(y)), \mu_B(x)) \quad (26-4)$$

البته لازم به ذکر است که عملاً رابطه هایی چون رابط ایجاب ممدانی:

$$A \Rightarrow B \equiv \min(\mu_A(x), \mu_B(y)) \quad (27-4)$$

هم به کار می روند که منطق دو ارزشی را برآورده نمی کنند.

استنتاج Inference

فرض کنید بدانیم که $A \Rightarrow B$ (A و B مجموعه هایی فازی در فضای X و Y می باشند) برقرار است.
چنانچه A' در فضای X باشد می خواهیم ببینیم چه نتیجه ای (B') می توان از آن گرفت. به عبارتی:

$$A \Rightarrow B$$

$$\frac{A'}{\therefore ?}$$

پاسخ به این پرسش حل مساله استنتاج است.

پیش از مطرح کردن استنتاج در منطق فازی، نگاهی به منطق دو ارزشی می اندازیم و عمل استنتاج در چنین منطقی را بررسی می کنیم.

فرض کنید بدانیم $B \Rightarrow A$ و نیز A مشاهده شده باشد. به عبارتی $B \Rightarrow A$ و $A \Rightarrow A'$ درست می باشند. می خواهیم ببینیم در رابطه قبل، «؟» چه چیزی می تواند باشد.

$$((A \Rightarrow B) \wedge A') \Rightarrow ?$$

به ازای چه گزاره ای برقرار است. سمت چپ این گزاره ایجابی برابر است با

$$(A \Rightarrow B) \wedge A' \equiv (A^c \vee B) \wedge A' \quad (28-4)$$

سمت چپ گزاره شرطی همواره درست است پس سمت راست نیز همواره درست است. به این ترتیب

برای درست بودن گزاره شرطی می توان نوشت

$$? \equiv (A^c \vee B) \wedge A'$$

در منطق فازی بر پایه رابطه بالا قاعده استنتاج (Compositional Rule of Inference) CRI، به

صورت زیر تعریف شده است:

$$\mu_{B^l}(y_j) = \max_{x_i} [\min(\mu_{A^l}(x_i), \mu_{A \rightarrow B}(X_i, y_j))] \quad (29-4)$$

که در آن x_i و y_j اعضای مجموعه های X و Y می باشند و

$$\mu_{A \rightarrow B}(x, y) = R(\mu_A(x), \mu_B(y)) \quad (30-4)$$

در صورت تعدد قواعد برای استنتاج به دو صورت می توان عمل کرد:

۱- از ترکیب تمامی قواعد یک قاعده کلی به دست آورده، با کمک آن استنتاج کرد:

$$\mu_R(x_i, y_i) = \mu_{A_1 \rightarrow B_1}(x_i, y_j) \oplus \dots \oplus \mu_{A_N \rightarrow B_N}(x_i, y_j), i = 1, \dots, n, j = 1, \dots, m \quad (31-4)$$

$$\mu_{B^l}(y_j) = \max_{x_i} [\min(\mu_{A^l}(x_i), \mu_R(X_i, y_j))], j = 1, \dots, m \quad (32-4)$$

۲- نتیجه ترکیب هر قاعده را با مشاهده به دست آورده و سپس همه نتایج را با هم ترکیب کرد:

$$\mu_{B'_K}(y_i) = SUP_{X_i} [T(\mu_A(x_i), \mu_{A_K \rightarrow B_K}(X_i, y_j))] i = 1, \dots, n, j = 1, \dots, m, k = 1, \dots, N \quad (33-4)$$

$$\mu_{B^l}(y_j) = \mu_{B'_1}(y_j) \oplus \dots \oplus \mu_{B'_N}(y_j), j = 1, \dots, m \quad (34-4)$$

روشهای دیگری نیز برای استنتاج موجود است که در زیر نگاهی گذرا به برخی از آنها می اندازیم.

قاعده درونیابی Interpolation Rule

در این روش برای استنتاج نخست فرض هر قاعده (A_i) را با مشاهده (A') ترکیب کرده و از روی آن

اندازه شباهت آن دو، خروجی (B') به دست می اید.

(35-4)

$$\gamma_k = SUP_{X_1} [T(\mu_{A_K}(x_i), \mu_{A^l}(x_i))] i = 1, \dots, m, k = 1, \dots, N$$

$$\mu_{B_k^l}(y_j) = T(\gamma_k, \mu_{B_k}(Y_j)) \quad (36-4)$$

$$\mu_{B^l}(y_j) = S_k \mu_{B_k^l}(y_j) \quad (37-4)$$

❖ درجه شباخت (γ_k) یک عدد است و نه یک تابع.

قاعده استدلال تشبيهی تقریبی^۱

این روش تعمیمی از روش درونیابی است. الگوریتم مربوط به موتور استنتاج را می توان به صورت زیر نوشت.

گام اول) برای N, \dots, N درجه تشابه' A_k و S_k یعنی S_k را به دست می آوریم. این درجه تشابه به روشهای گوناگونی به دست می آید

گام دوم) در حالت کلی نیازی به شرکت دادن همه قواعد در استنتاج نیست. می توان قواعدی که درجه تشابه آنها با مشاهده یعنی S_k از مقدار مشخص بیشتر باشد و یا تنها L قاعده با بیشترین درجه تشابه را برگزید ($1 \leq L \leq k$). این گزینش در گام دوم انجام می شود.(در روش درونیابی همه قواعد برگزیده می شوند)

گام سوم) برای قاعده یا قواعد برگزیده شده در گام دوم، حکم B_k^l را نتیجه می گیریم. این کار با کمک S_k و B_k انجام می شود.

گام چهارم) در پایان، این نتایج با هم ترکیب می شوند.

^۱ Approximate Analogical Reasoning

استدلال قیاسی تقریبی^۱

روش استدلال تشبیهی تقریبی ارائه شده این اشکال را دارد که در حالتی که $A' \subset A$ باشد، پاسخی به غیر از B (پاسخ واقعی) ارائه می دهد. برای حل این مشکل استدلال قیاسی تقریبی را که بر پایه درجه زیر مجموعگی به جای درجه تشابه کار می کند، ارائه کرده اند. روش ارائه شده مشابه استدلال تشبیهی تقریبی است و تنها در گام اول به جای درجه تشابه، درجه زیر مجموعگی به کار می رود.

درجه زیر مجموعگی را می توان به صورت

$$Q(A, A') = \frac{f(A^1 \cap A)}{f(A^1)} \quad (38-4)$$

نوشت مثلا اگر

$$f(A) = \sum_{count}(A) = \sum_x \mu_A(x) \quad (39-4)$$

$$Q(A^1, A) = \frac{\sum_{Count}(A^1 \cap A)}{\sum_{Count}(A^1)} = 1 - \frac{\text{Max}(0, \mu_{A^1}(x) - \mu_A(x))}{\sum_{Count}(A^1)} \quad \text{درجه زیر مجموعگی به صورت}$$

می آید.

می توان هر دو درجه تشابه و زیر مجموعگی را به کار برد. برای این کار نخست از روی درجه تشابه تعداد I ($1 \leq I \leq K$) قاعده برگزیده می شود و اگر درجه زیر مجموعگی^۱ A' در فرض قواعد برگزیده شده از مقدار آستانه ای بیشتر بود ان قاعده برای استنتاج به کار می رود. همان گونه که دیده شد برای تعریف و ترکیب متغیرهای فازی روش یگانه ای وجود ندارد. اینجاست که مساله انتخاب بهترین روش پیش می آید که گرینش ساده ای نیست. در واقع بسته به صورت مساله و میزان پیچیدگی پذیرفته شده، روش تعریف و ترکیب قواعد، برگزیده می شود

¹ Approximate Deductive Reasoning

کنترل کننده های فازی [2]

در ابتدا با منطق فازی اشنا شدیم و دیدیم که چگونه می توان آن را برای استدلال تقریبی به کار برد. با کمک استدلال تقریبی می توان فرآیندهای گوناگون را کنترل کرد. در حقیقت بین این فرایندها، ایده های کنترل مشترک می باشند و تنها موارد مصرف آن فرق می کند.

ساختار کلی کنترل کننده های فازی :

یک کنترل کننده فازی از چهار بخش پایه ای تشکیل شده است: فازی کننده، پایگاه معرفت، بخش تصمیم گیری و غیر فازی کننده، شکل(۱-۴) نمایی از یک کنترل کننده فازی را ارائه می دهد.

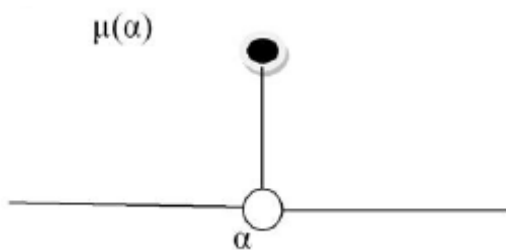


شکل(۱-۴) نمای داخلی کنترل کننده فازی

اینک به تشریح هر بخش می پردازیم.

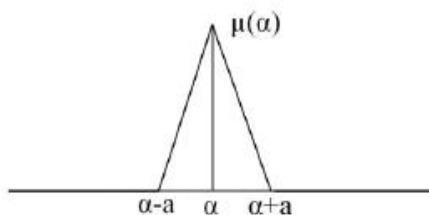
فازی کننده^۱:

در این بخش دو کار انجام می شود. نخست مقادیر متغیرهای ورودی به کنترل کننده، به هنگار شده و به محدوده متغیرهای کنترل کننده می رود. در مرحله بعد، این متغیرها فازی می شوند. یعنی به هر کدام در هر لحظه، به جای یک عدد، یک تابع عضویت آن است، نسبت داده می شود. برای این کار، چندین روش موجود است. روش اول این است که متغیر به صورت تک مقداری فازی شود. در این حالت تابع عضویت متغیر، به ازای مقدار خوانده شده متغیر برابر یک و در دیگر نقاط برابر صفر میباشد. شکل (۲-۴) نمونه ای از این گونه تابع عضویت را نشان می دهد.



شکل (۲-۴)

در روش دیگر می توان آن را به صورت یک منحنی نمایش داد. مثلا فرض کنید انحراف معیار اندازه متغیر، در حالت غیر فازی، به علت وجود نویز و یا خطای اندازه گیری، برابر α باشد. در آن صورت تابع فازی متغیر به صورت مثلثی متساوی الساقین که میانه قاعده آن در مقدار اندازه گرفته شده بوده، طول قاعده آن برابر 2α بوده و بلندایی برابر یک دارد، تعریف می شود (شکل (۳-۴)).



شکل (۳-۴)

^۱ Fuzzifier

می توان به جای آن فرمهای دیگری مثل زنگوله ای یا ذوزنقه ای را هم به کار برد که بستگی به مساله دارد. علاوه بر آن این امکان وجود دارد که ورودی از ابتدا به صورت متغیر زبانی باشد.

پایگاه معرفت^۱ :

پایگاه معرفت، که اکنون آن را با KB نمایش می دهیم بخشی از کنترل کننده است که داده های مربوط به کنترل کننده در آن نگهداری می شود. KB شامل دو بخش است؛ پایگاه داده ها (DB) و پایگاه قواعد (RB). در بخش DB داده های مربوط به توابع فازی، فازی کننده، غیر فازی کننده، تعريف رابطه ها و چگونگی استنتاج نگهداری شده است. این داده ها شامل ساختار توابع و همچنین پارامترهای آن است. در بخش RB قواعدی که بر پایه آنها و با توجه به ورودی کنترل کننده، خروجی آن به دست می آید، نگهداری شده است. این قواعد به شکل قواعد زبانی «اگر... انگاه...» می باشند. ممکن است قواعد با درجات ارزش گوناگون در استنتاج شرکت کنند. درجه ارزش هر قاعده در بخش DB نگهداری می شود. در صورتی که کنترل کننده توانایی یادگیری نداشته باشد هر دو بخش KB ثابت هستند. اما اگر سیستم توانایی یادگیری داشته باشد هر دو بخش و یا یکی از آنها می توانند تطبیقی باشند. داده های KB می توانند از راههای گوناگونی از جمله گرفتن داده از اپراتور خبره، به کارگیری مدل فازی فرایند، به کارگیری مدلهای خطی و غیر خطی فرایند و یا دریافت داده به وسیله خود کنترل کننده در حین کنترل فرایند به دست آید.

بخش تصمیم گیری یا موتور استنتاج^۲ :

در این بخش با توجه به ورودی کنترل کننده که بیشتر به کمک بخش فازی کننده به شکل متغیر فازی در امده است و RB موجود، خروجی کنترل کننده(به شکل متغیرهای فازی) با کمک روش‌های استنتاج به دست می آید. خروجی این بخش به فرم متغیر فازی(متغیر زبانی) می باشد و به بخش غیر فازی کننده می رود تا به شکل پذیرفتی برای فرایند درآید.

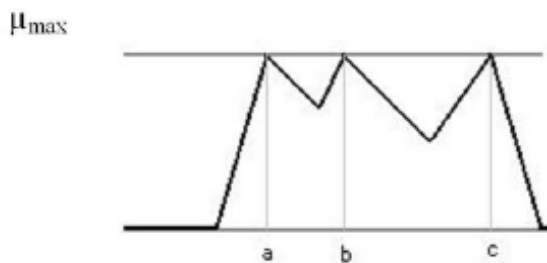
¹ Knowledge Base

² Inference

غیر فازی کننده^۱ :

متغیر فازی ارائه شده از سوی بخش تصمیم گیری، در بیشتر حالتها قابل استفاده در فرایند نیست و باید به صورت متغیرهای غیر فازی در آید. این کار در غیر فازی کننده انجام می شود. روش‌های گوناگونی برای این کار موجود است که در اینجا به ذکر دو روش می پردازیم.

در روش اول، که به آن روش معیار بیشینه می گویند، نقطه ای که در ان تابع خروجی ماکزیمم مطلق دارد را به عنوان خروجی بر می گزینیم. چنانچه شمار نقاط بیش از یک باشد، میانگین آنها را به عنوان خروجی بر می گزینیم. به عنوان مثال شکل (۴-۴) را در نظر بگیرید.



شکل (۴-۴)

می توان خروجی را به صورت زیر به دست اورد.

$$\mu_U(a) = \mu_U(b) = \mu_U(c) = \mu_{man} \Rightarrow U = \frac{a + b + c}{3}$$

چنانچه بیشینه تابع یک بازه باشد، رابطه

$$u = \frac{1}{b-a} \int_a^b \mu_U(u) du \quad b > a \quad , \forall u \in [a,b] \quad : \mu_U(u) = \mu_{man}$$

به کار گرفته می شود. به این روش میانگین بیشینه ها (MOM) گفته می شود.

¹ Defuzzifier

در روش دوم، که به ان روش مرکز سطح^۱ گفته می شود، مرکز وزن دار کل منحنی خروجی به دست می آید. در حالت گسسته داریم:

$$u = \frac{\sum_{i=1}^n u_i \mu_U(u)}{\sum_{i=1}^m \mu_U(u_i)} \quad (40-4)$$

و در حالت پیوسته خواهیم داشت

$$u = \frac{\int_U u \mu_U}{\int_U \mu_U(u) du} \quad (41-4)$$

به این روش مرکز جرم^۲ و مرکز ثقل^۳ نیز گفته می شود.

¹ COA

² COM

³ COG

انواع کنترل کننده های فازی [2]

همان طور که در بخش‌های پیش دیده شد برای انجام هر کار در فرایند کنترل با کمک منطق فازی، راه های گوناگونی موجود است. در نتیجه دسته بندی آنها نیز به روش‌های گوناگونی انجام می‌پذیرید به کار گیری ابزارهای دیگر مثل شبکه های عصبی و الگوریتم های بهینه سازی عمومی مانند الگوریتم های ژنیکی (GA) می‌تواند توان بیشتری به یک کنترل فازی بدهد. در این بخش با ارئه نمونه هایی، روش های گوناگون کنترل فازی را معرفی می‌کنیم.

کنترل کننده های مستقیم و غیر مستقیم:

از یک دیدگاه کنترل، کننده های فازی می‌توانند به دو نوع مستقیم و غیر مستقیم تقسیم بندی شوند.

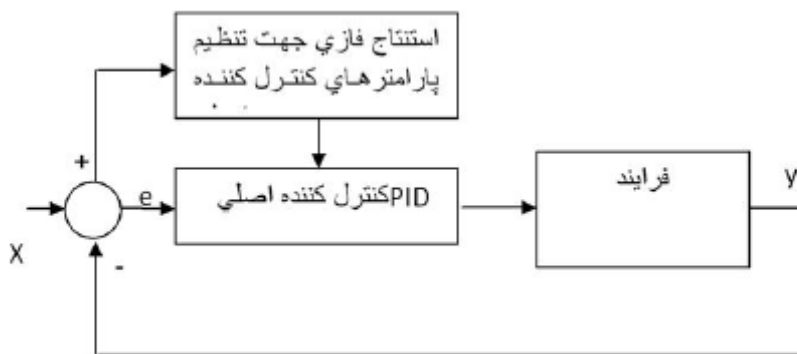
در نوع مستقیم، اندازه خروجی به صورت یکتابع غیر خطی از ورودیهای است:

$$u = f(x_1, \dots, x_n)$$

در نوع غیر مستقیم نخست یک کنترل کننده (مثلا PID) در سیستم جای می‌گیرد. سپس با کمک منطق فازی، پارامترهای آن به صورتی تغییر می‌کند که خروجی بهتری به دست آید. برای توضیح بیشتر به ذکر یک مثال ساده از هر کدام می‌پردازیم.

الف) کنترل کننده فازی از نوع غیر مستقیم. [2],[13]

اگر به یک کنترل PID معمولی دقت کنیم می‌بینیم که کاهش ضریب انتگرال‌گیری باعث افزایش سرعت خیز و بالازدگی می‌شود که معمولاً اولی مطلوب و دومی نامطلوب است. از سویی افزایش ضریب مشتق گیری و یا کاهش ضریب تناسب باعث کاهش نوسانات می‌شوند. بنابراین یک کنترل کننده PID معمولی که بتواند ضرایب آن تغییر کند ساخته می‌شود و ضرایب با توجه به حالت سیستم تغییر می‌کند تا ویژگی های مطلوبتری به دست آید. برای کنترل شبکه شکل زیر به کار می‌رود.



شکل(۵-۴) کنترل کننده فازی غیر مستقیم

کنترل کننده PID از نوع دیجیتالی است. ورودی کنترل کننده فازی، خطا e و تغییرات خطا \dot{e} و خروجی ضرایب کنترل کننده دیجیتالی است. فرض کنید ورودی ها و خروجی ها به صورت زیر فازی شود.

$$\{NB, NS, Ze, PS, PB\}$$

که در آن P مثبت، N منفی، B بزرگ، S کوچک و Ze صفر است. نمونه ای از پایگاه قواعدی که بر پایه آن می توان ضرایب PID را تغییر داد، در جدول(۱-۴) دیده می شود.

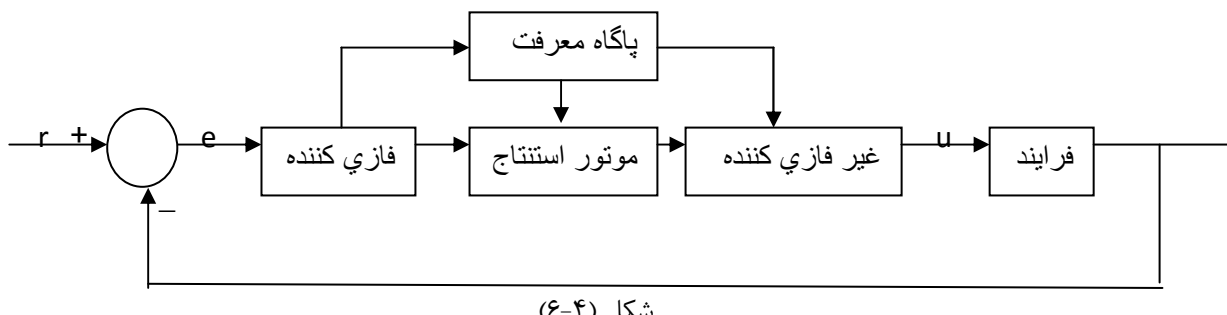
جدول(۱-۴)

*	NL	NS	ZE	PS	PL
NL	NL	NL	NM	NS	ZE
NS	NL	NM	NS	ZE	PS
ZE	NM	NS	ZE	PS	PM
PS	NS	ZE	PS	PM	PL
PL	ZE	PS	PM	PL	PL

کنترل کننده سطح لغزان نیز از نوع غیر مستقیم است.

ب) کنترل کننده فازی مستقیم

گونه دیگری از کنترل کننده های فازی به جای تعیین پارامترهای یک کنترل کننده دیگر، اندازه سیگنال کنترل را به دست می دهند که آنها را کنترل کننده فازی مستقیم می نامند. شکل (۶-۴) بلوک دیاگرام چنین کنترل کننده ای را نشان می دهد.



شکل (۶-۴)

هر قاعده از پایگاه قواعد آن به گونه ای است که از روی ورودیهای کنترل کننده (مثل e و \dot{e}) خروجی آن (u) را به دست می دهد.

عددی که از غیر فازی کردن خروجی موتور استنتاج به دست می آید همان سیگنال کنترل است که در فرآیند به کار می رود. توانایی یادگیری کنترل کننده ها :

بخش بندی دیگری که بر روی کنترل کننده ها انجام می پذیرد بر پایه توانایی یا ناتوانی یادگیری است. کنترل کننده هایی که پیش از این معرفی شدند توانایی یادگیری نداشتند. اما دسته ای از کنترل کننده ها توانایی یادگیری دارند. این دسته، خود به سه زیر دسته بخش می شود: یادگیری با سرپرستی، یادگیری بدون سرپرستی و یادگیری کمکی. در یادگیری با سرپرستی، خروجی خواسته شده در کنترل کننده در ازای تعدادی ورودی داده شده معلوم است و کنترل کننده به صورتی تنظیم می شود که در ازای آن ورودی، خروجی متناظرش را ارائه دهد.

فصل چهارم : کننده های فازی

در روش یادگیری بدون سرپرسی، خروجی خواسته شده معلوم نیست بلکه حالت فرایند در ازای ورودیهای گوناگون(که به فرایند اعمال شده و همان خروجی های کنترل کننده هستند) چگونگی تعیین و تغییر پارامترها برای کارکرد بهتر سیستم را به دست می دهد. در روش یادگیری کمکی بر پایه کارکرد فرایند، سیگنالی به نام سیگنال کمکی تولید می شود، که با توجه به آن کنترل کننده پارامترهای خود را اصلاح می نماید.

فصل پنجم

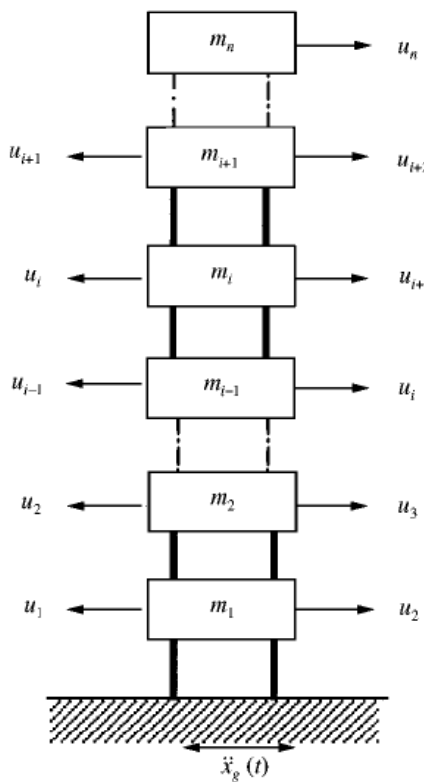
مدل سازی و شبیه سازی کنترل فعال فازی

بر روی سازه

مدل سازه :

ساختار یک سازه خطی به وسیله تجمع سیستمهای جرم و فر و میراگر در ارتباط با شتاب

افقی زلزله ($\ddot{x}_g(t)$) و نیروی کنترل (u_i) به شکل (1-۵) می باشد.[1],[10]



شکل (1-۵)

در این مدل ایده ال فرض بر این است که جرم هر طبقه در یک مکان تجمع یافته وستونهای سازه بدون جرم و به صورت یک فر به همراه میرا کننده خطی مدل می شود. سیستم کنترل توسط محرك هایی که در هر طبقه قرار گرفته اند پشتیبانی می شود که در شکل فوق توسط نیروی کنترل نمایش داده شده است. حال معادله حرکت برای طبقه به صورت رابطه (1-۵) می توان نوشت.

(1-۵)

$$m_i \ddot{x}_i - c_i \dot{x}_{i-1} + (c_i + c_{i+1}) \dot{x}_i - c_{i+1} \dot{x}_{i+1} - k_i x_{i-1} + (k_i + k_{i+1}) x_i - k_{i+1} x_{i+1} = -m_i \ddot{x}_g(t) + u_{i+1} - u_i,$$

جایی که m_i و x_i و k_i و c_i و u_i به ترتیب جرم طبقات، جابجایی نسبی نسبت به زمین، ضریب سختی، ضریب میرایی و نیروی کنترل می باشند که در آنها ($i=1,\dots,n$) شماره طبقه می باشد.

حال با فرض داشتن ضریب جابجایی برابر \dot{x}_g (وشتاب زمین) \ddot{x}_g (که می توان هر کدام را توسط سنسورها اندازه گیری نمود میتوان معادله قبل را به صورت رابطه (۲-۵) بازنویسی نمود.

(۲-۵)

$$m_1 \ddot{x}_1 + (c_1 + c_2) \dot{x}_1 - c_2 \dot{x}_2 + (k_1 + k_2) x_1 - k_2 x_2 = -m_1 \ddot{x}_g(t) + u_2 - u_1,$$

$$m_2 \ddot{x}_2 - c_2 \dot{x}_1 + (c_2 + c_3) \dot{x}_2 - c_3 \dot{x}_3 - k_2 x_1 + (k_2 + k_3) x_2 - k_3 x_3 = -m_2 \ddot{x}_g(t) + u_3 - u_2,$$

$$m_n \ddot{x}_n - c_n \dot{x}_{n-1} + c_n \dot{x}_n - k_n x_{n-1} + k_n x_n = -m_n \ddot{x}_g(t) - u_n$$

با استفاده از ماتریس معادله فوق به صورت (۳-۵) خواهد شد .

(۳-۵)

$$\mathbf{M}\ddot{\mathbf{X}}(t) + \mathbf{K}\mathbf{X}(t) + \mathbf{C}\dot{\mathbf{X}}(t) = \mathbf{m}\ddot{x}_g(t) + \mathbf{L}\mathbf{U}(t),$$

در اینجا $\mathbf{x}(t) = [x_1, x_2, \dots, x_n]^T$ بردار جابجایی نسبی با ابعاد n است و \mathbf{C}, \mathbf{M} و \mathbf{K}

ماتریس‌هایی مثبت معین با ابعاد $n \times n$ به ترتیب معرف جرم ، میرایی و سختی هستند.

$$\mathbf{m} = [m_1, m_2, \dots, m_n]$$

\mathbf{L} ماتریس موقعیت کنترل کننده با ابعاد $n \times n$ می باشد و $\mathbf{U}(t)$ بردار نیروی کنترل فعال با ابعاد $n \times n$ می باشد.

ماتریس‌های M, C, K, L به صورت زیر می‌باشند:

$$M = \begin{bmatrix} m_1 & & 0 \\ m_2 & m_3 & \\ & \ddots & \\ 0 & & m_n \end{bmatrix}; \quad K = \begin{bmatrix} k_1 + k_2 & -k_2 & & \\ -k_2 & k_2 + k_3 & -k_3 & 0 \\ & -k_3 & \ddots & \\ & & \ddots & -k_{n-1} \\ 0 & & -k_{n-1} & k_{n-1} + k_n & -k_n \\ & & & -k_n & k_n \end{bmatrix}$$

$$C = \begin{bmatrix} c_1 + c_2 & -c_2 & & 0 \\ -c_2 & c_2 + c_3 & -c_3 & \\ & -c_3 & \ddots & \\ & & \ddots & -c_{n-1} \\ 0 & & -c_{n-1} & c_{n-1} + c_n & -c_n \\ & & & -c_n & c_n \end{bmatrix}; \quad L = \begin{bmatrix} -1 & 1 & & 0 \\ -1 & 1 & 1 & \\ & \ddots & \ddots & \\ 0 & -1 & 1 & -1 \end{bmatrix}$$

مدل بیان شده را می‌توان به صورت مدل فضای حالت زیر باز نویسی نمود :

(۴-۵)

$$\dot{Z} = AZ + BU + H\ddot{x}_g(t), \quad Z(0) = \mathbf{0},$$

$$Z(t) = \begin{bmatrix} X(t) \\ \dot{X}(t) \end{bmatrix}, \quad A = \begin{bmatrix} \mathbf{0} & I \\ -M^{-1}K & -M^{-1}C \end{bmatrix}, \quad B = \begin{bmatrix} \mathbf{0} \\ M^{-1}L \end{bmatrix}, \quad H = \begin{bmatrix} \mathbf{0} \\ M^{-1}m \end{bmatrix}$$

پیاده سازی مدل سازه در برنامه MATLAB به دو روش تابع انتقال ماتریسی و فضای حالت بیان

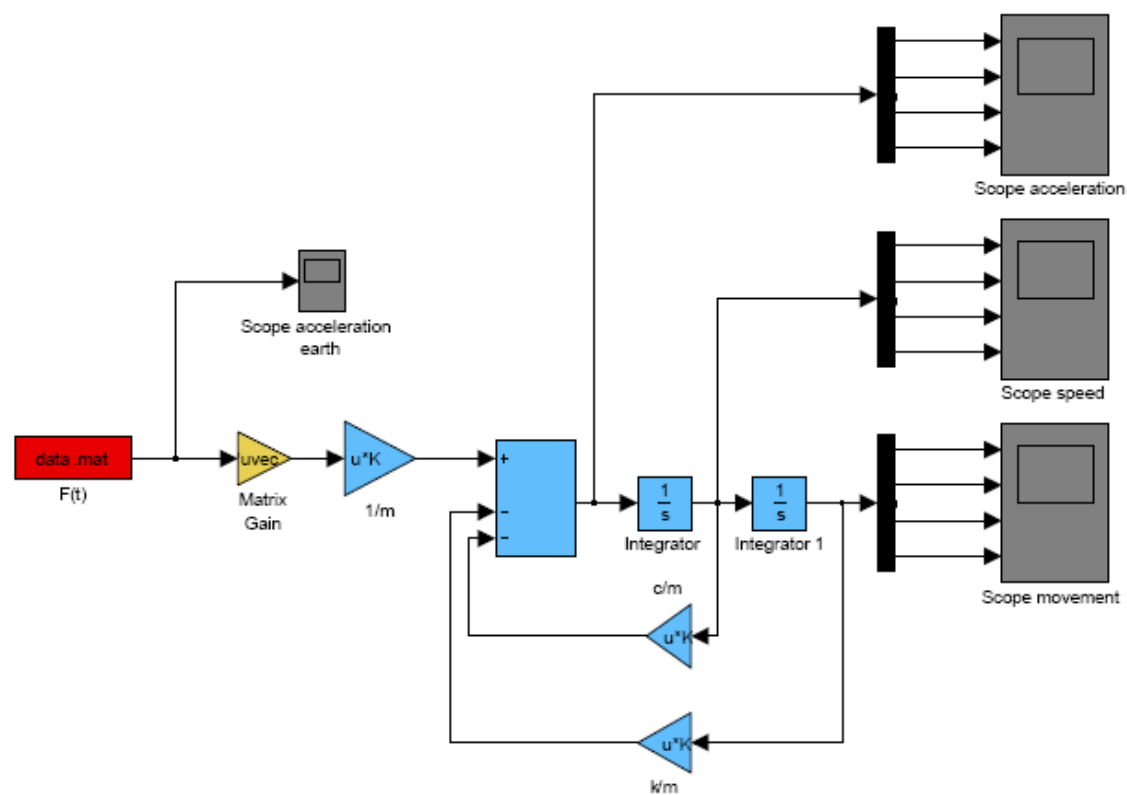
خواهد شد.

پارامترها برای یک سازه چهار طبقه در جدول (۱-۵) می باشد [3]

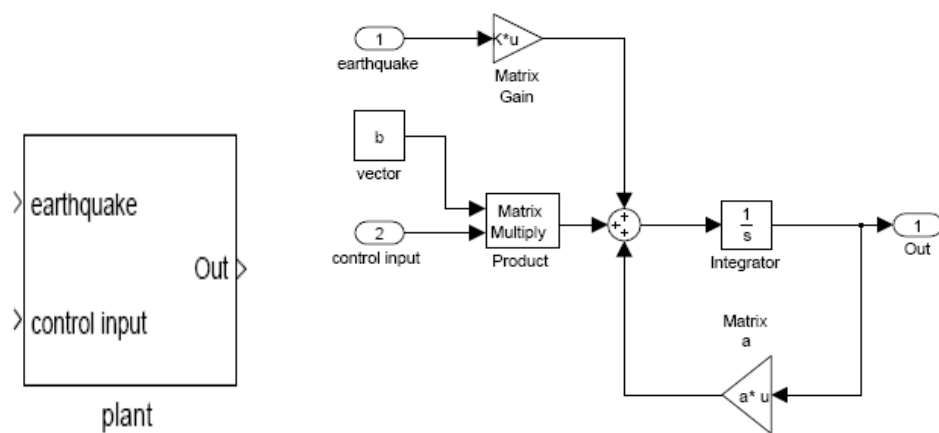
جدول (۱-۵)

واحد	مقدار	نماد	پارامتر	مدل
ton	60	m_i	جرم طبقات	سازه
KN/m	491	k_i	سختی طبقات	
KN.m/s	60	c_i	میرایی	

```
%MX''(t)+CX'(t)+KX(t)=mxg(t) "+LU(t),
m=60*eye(4,4)
c=[120 -60 0 0;-60 120 -60 0;0 -60 120 -60;0 0 -60 120]
k=[982 -491 0 0;-491 982 -491 0;0 -491 982 -491;0 0 -491 982]
l=[0 1 0 0;0 0 1 0;0 0 0 1;0 0 0 0]-eye(4,4)
z=zeros(4)
i=eye(4)
a=[z i;-inv(m)*k -inv(m)*c]
b=[z;inv(m)*l]
j=-[60,60,60,60]'
```



شکل (۲-۵) مدل تابع تبدیل سازه



شکل (۳-۵) مدل فضای حالت سازه

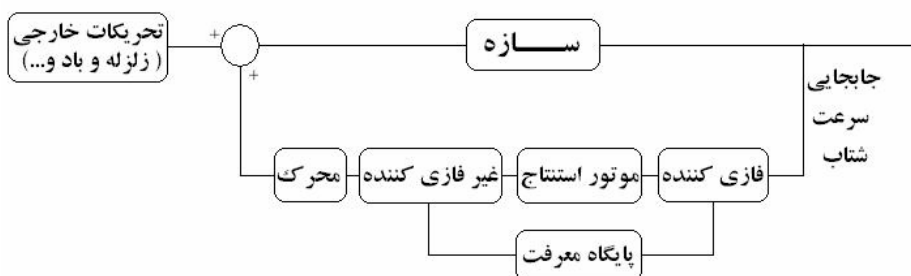
فصل پنجم : مدل سازی و شبیه سازی کنترل فعال فازی بر روی سازه

```

m =
      60   0   0   0           0   0   0   1.0000   0   0   0
      0   60   0   0           0   0   0   0   1.0000   0   0
      0   0   60   0           0   0   0   0   0   1.0000   0
      0   0   0   60           0   0   0   0   0   0   1.0000
                           -16.3667   8.1833   0   0   -2.0000   1.0000   0   0
c =
      8.1833   -16.3667   8.1833   0   1.0000   -2.0000   1.0000   0
      0   8.1833   -16.3667   8.1833   0   1.0000   -2.0000   1.0000
      120   -60   0   0           0   0   0   8.1833   -16.3667   0   0   1.0000   -2.0000
      -60   120   -60   0           0   0   0   0   0   0   1.0000   -2.0000
      0   -60   120   -60           0   0   0   0   0   0   1.0000   -2.0000
      0   0   -60   120           0   0   0   0   0   0   1.0000   -2.0000
b =
k =
      982   -491   0   0           0   0   0   0
      -491   982   -491   0           0   0   0   0
      0   -491   982   -491           -0.0167   0.0167   0   0
      0   0   -491   982           0   -0.0167   0.0167   0
                           0   0   -0.0167   0.0167
                           0   0   0   -0.0167
l =
      -1   1   0   0           j =
      0   -1   1   0           -60
      0   0   -1   1           -60
      0   0   0   -1           -60
z =
      0   0   0   0           h =
      0   0   0   0           0
      0   0   0   0           0
      0   0   0   0           0
i =
      1   0   0   0           0
      0   1   0   0           0
      0   0   1   0           0
      0   0   0   1           0
                           -1
                           -1
                           -1
                           -1

```

کنترل فازی مبتنی بر یک پایگاه داده و پایگاه قواعد است و تمامی تصمیم گیریها بر اساس این بخش صورت می گیرد. مجموعه پایگاه قواعد و پایگاه داده ها، پایگاه دانش سیستم را تشکیل می دهند.

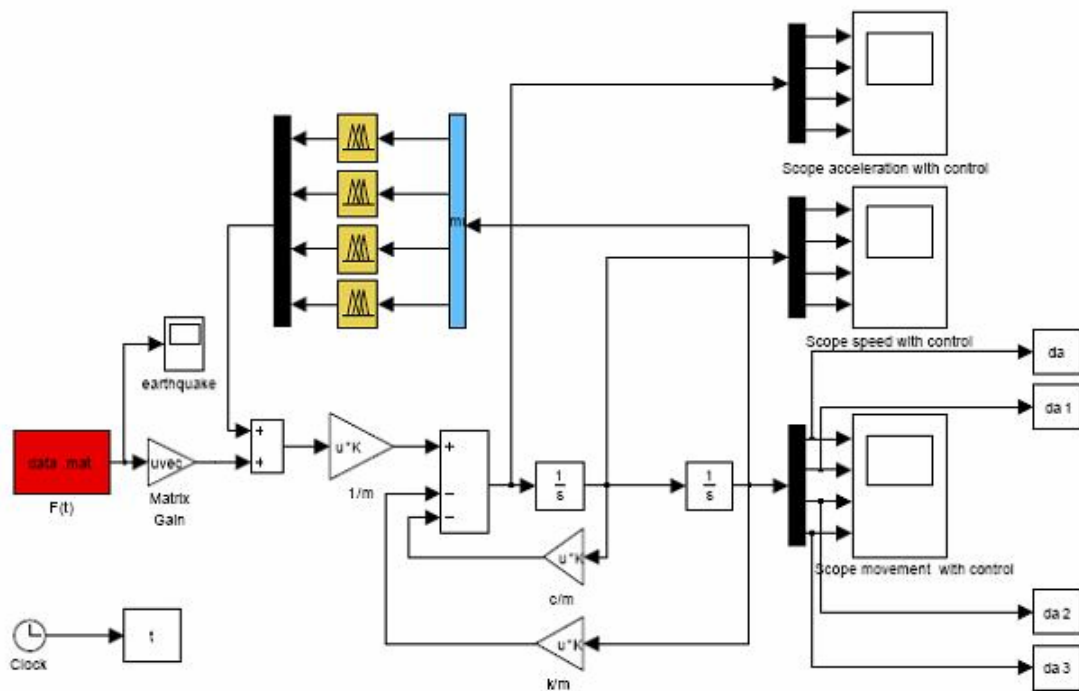


شکل (۴-۵)

متغیر ورودی با استفاده از توابع عضویت که به صورت موردی بیان خواهد شد، فازی می شوند.

الف-کنترل جابجایی با استفاده از فیدبک جابجایی:

بلوک دیاگرام این سیستم به صورت زیر می باشد:



شکل (۵-۵)

کنترل کننده فازی از نوع ممداňی به صورت زیر می باشد:

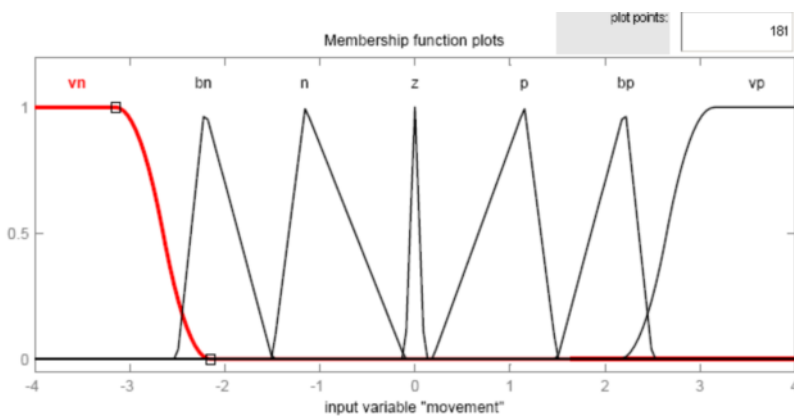
```

NumInputs=1
NumOutputs=1
NumRules=7
AndMethod='min'
OrMethod='max'
ImpMethod='min'
AggMethod='max'
DefuzzMethod='bisector'

```

متغیرهای ورودی که فیدبکی از جابجایی سازه می باشد توسط توابع عضویت زیر فازی می شود:

```
Name='movement'
Range=[-4 4]
NumMFs=7
MF1='vn':'zmf',[ -3.14814814814815 -2.14814814814815]
MF2='bn':'trimf',[ -2.5 -2.21164021164021 -1.5]
MF3='n':'trimf',[ -1.5 -1.15343915343915 -0.1]
MF4='z':'trimf',[ -0.1 0 0.1]
MF5='p':'trimf',[ 0.185 1.15343915343915 1.5]
MF6='bp':'trimf',[ 1.5 2.21164021164021 2.5]
MF7='vp':'smf',[ 2.15 3.15]
```

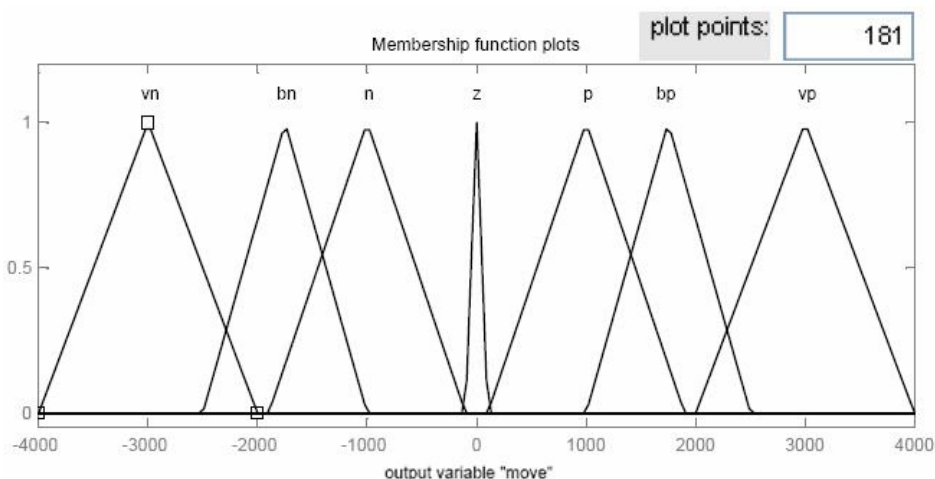


شکل (۶-۵)

در بالا فازی ساز ورودی دارای هفت تابع عضویت می باشد و مقادیر جابجایی بر حسب سانتیمتر هستند.

متغیرهای خروجی کنترل کننده فازی توسط تابع زیرجهت اعمال به محرکها غیر فازی می گردند که در اینجا مقدار نیرو بر حسب کیلوگرم می باشد.

```
NumMFs=7
MF1='vn':'trimf,[-3000 -2500 -2000]
MF2='bn':'trimf,[-2500 -1750 -1000]
MF3='n':'trimf,[-1900 -1000 -100]
MF4='z':'trimf,[-100 0 100]
MF5='p':'trimf,[100 1000 1900]
MF6='bp':'trimf,[1000 1750 2500]
MF7='vp':'trimf,[2000 2500 3000]
```



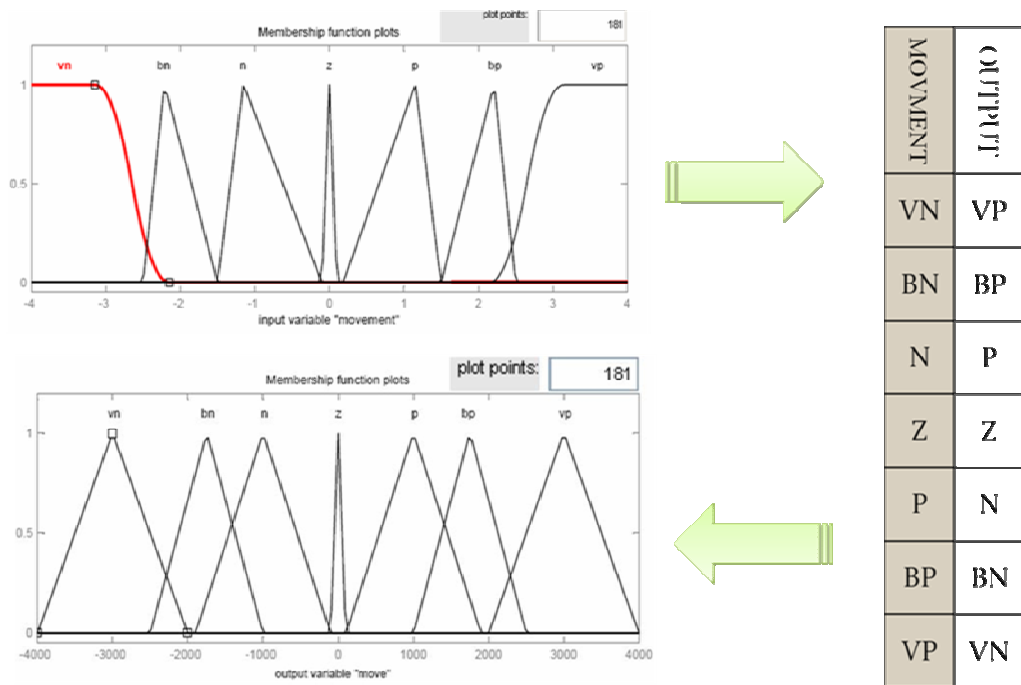
شکل (۷-۵)

جهت استنتاج فازی نیاز به قواعد فازی داریم تا خطای خروجی (میزان جابجایی) را صفر نماییم:

1. If (movement is vn) then (move is vp) (1)
2. If (movement is bn) then (move is bp) (1)
3. If (movement is z) then (move is z) (1)
4. If (movement is bp) then (move is bn) (1)
5. If (movement is vp) then (move is vn) (1)
6. If (movement is p) then (move is n) (1)
7. If (movement is n) then (move is p) (1)

عملکرد کنترل جابجایی با استفاده از فیدبک جابجایی :

جدول (۲-۵)



شکل (۸-۵)

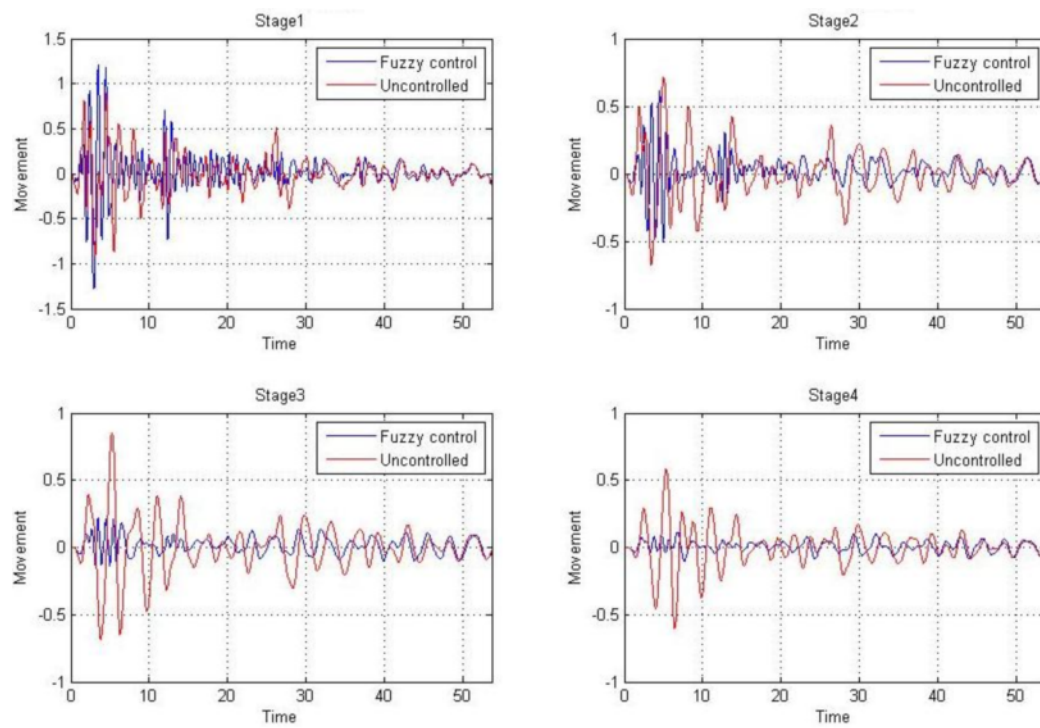
در این روش پس از فازی سازی، کنترل کننده فازی با توجه به تابع تعلق داده در ورودی، بهره خروجی را تعیین می نماید. در اینجا جابجایی VN به معنای جابجایی در جهت منفی محور مفروض به مقدار خیلی زیاد می باشد در نتیجه کنترل کننده فازی نیروی ماقزیم را درجهت مثبت به خروجی اعمال می کند . به همین صورت VP , BP , P , Z , N , BN به ترتیب به معنای جابجایی در جهت و اندازه : منفی بزرگ ، منفی، بدون جابجایی(صفر یا مرکز محور) ، مثبت ، مثبت بزرگ ، مثبت خیلی بزرگ می باشد کنترل کننده فازی به ازای این ورودی ها فرامینی به ترتیب به

صورت :

VN , BN , N , Z , P , BP به ترتیب معنای نیروی خروجی در جهت و اندازه : مثبت بزرگ ، مثبت ، بدون اعمال نیرو ، منفی ، منفی بزرگ و منفی خیلی بزرگ می باشد و پس از غیر فازی سازی به حرکتها اعمال می گردد.

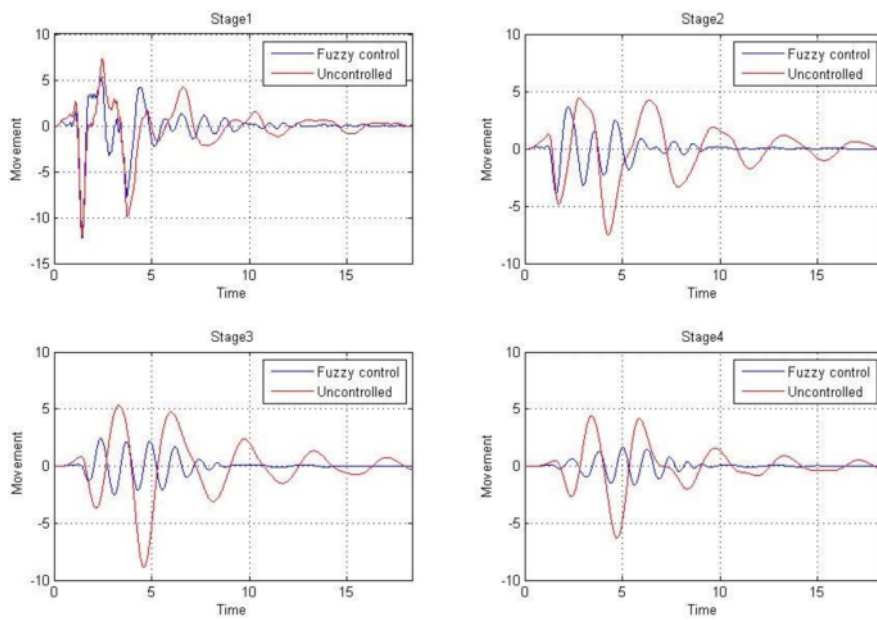
با اعمال رکورد زلزله به سیستم فوق نتایج این قسمت را مورد بررسی قرار می دهیم :

زلزله السنترو :



شکل (۹-۵)

: زلزله Sanfernando



شکل (۱۰-۵)

در شکل (۱۰-۵) می بینیم که سیستم کنترل در کاهش اثر زلزله در جابجایی سازه موثر بوده است

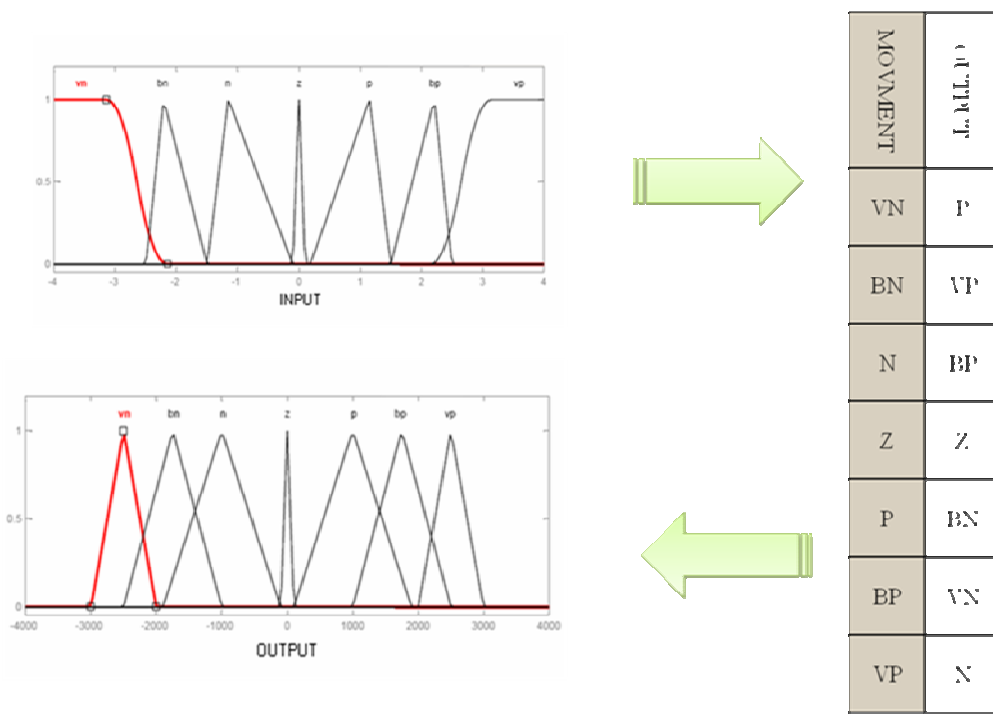
ولی از طرفی شاهد نوسانات زیادی در جابجایی سازه از طرف این سیستم کنترل فازی می باشیم . با

کمی اصلاح در توابع عضویت و قوانین استنتاج به صورتی که حال بیان می شود می توان تا حدودی

این نوسانات را کاهش داد.

کنترل اصلاح شده جابجایی با استفاده از فیدبک جابجایی :

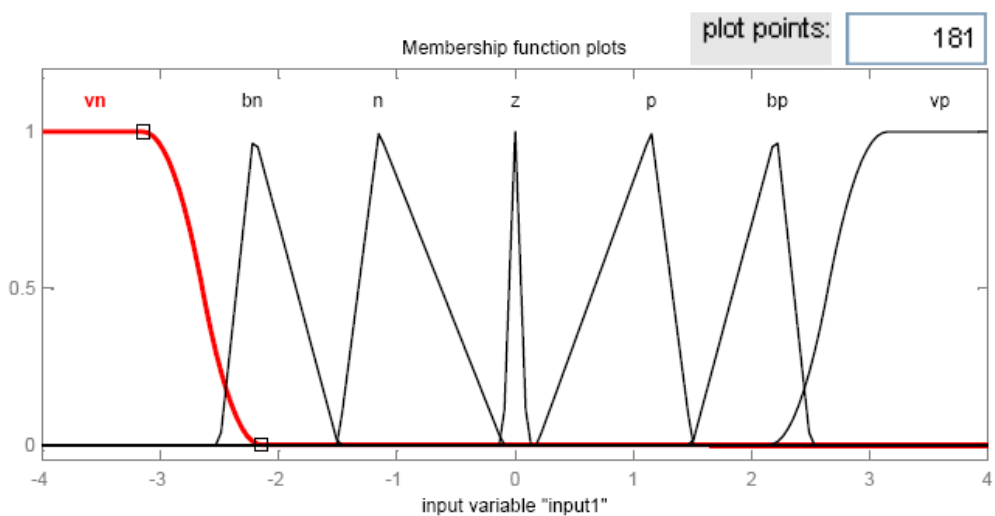
جدول (۳-۵)



شکل (۱۱-۵)

در این قسمت به دلیل آنکه در زمان ماقریم جابجایی، سازه در حال بازگشت به محور اصلی در اثر نوسان ناشی از زلزله می باشد نیروی کمی را در جهت بازگشت به سمت مبدا اعمال می کنیم وهمچنین به دلیل آنکه سازه در نزدیکی مبدا دارای بیشترین نیرو در جهت حرکت به سمت خارج از محور مبدا می باشد در آن قسمت ماقریم نیرو را اعمال می نماییم .

ورودی به شکل زیر فازی میگردد:

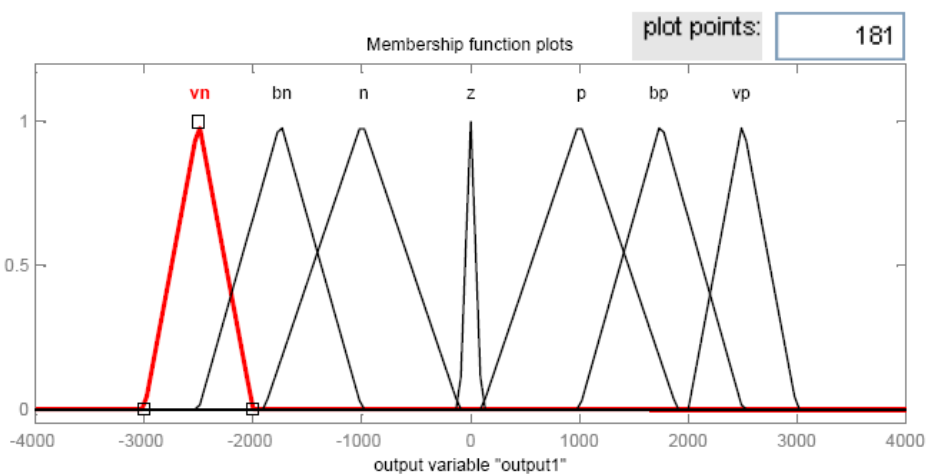


شکل (۱۲-۵)

NumMFs=7

```
MF1='vn':'zmf',[-3.148 -2.148]
MF2='bn':'trimf',[-2.5 -2.21164021164021 -1.5]
MF3='n':'trimf',[-1.5 -1.15343915343915 -0.1]
MF4='z':'trimf',[-0.1 0 0.1]
MF5='p':'trimf',[0.185 1.15343915343915 1.5]
MF6='bp':'trimf',[1.5 2.21164021164021 2.5]
MF7='vp':'smf',[2.15 3.15]
```

خروجی به شکل زیر غیر فازی می گردد:



شکل (۱۳-۵)

```
Name='output1'  
Range=[-4000 4000]  
NumMFs=7  
MF1='vn':'trimf,[-3000 -2500 -2000]  
MF2='bn':'trimf,[-2500 -1750 -1000]  
MF3='n':'trimf,[-1900 -1000 -100]  
MF4='z':'trimf,[-100 0 100]  
MF5='p':'trimf,[100 1000 1900]  
MF6='bp':'trimf,[1000 1750 2500]  
MF7='vp':'trimf,[2000 2500 3000]
```

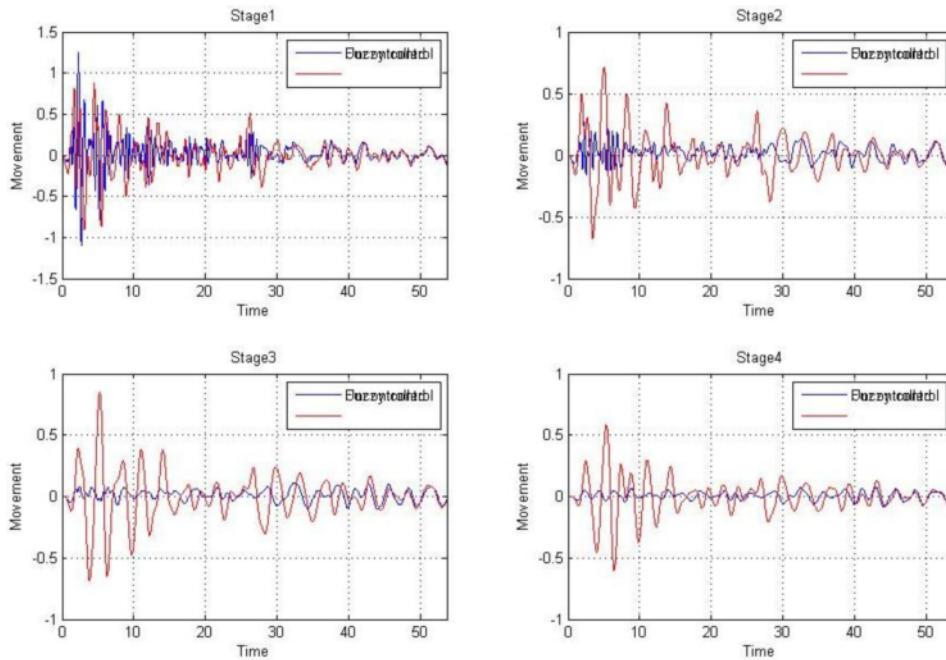
قواعد استنتاج به شکل زیر می گردد:

1. If (input1 is vn) then (output1 is p) (1)
2. If (input1 is bn) then (output1 is vp) (1)
3. If (input1 is z) then (output1 is z) (1)
4. If (input1 is bp) then (output1 is vn) (1)
5. If (input1 is vp) then (output1 is n) (1)
6. If (input1 is p) then (output1 is vn) (1)
7. If (input1 is n) then (output1 is vp) (1)



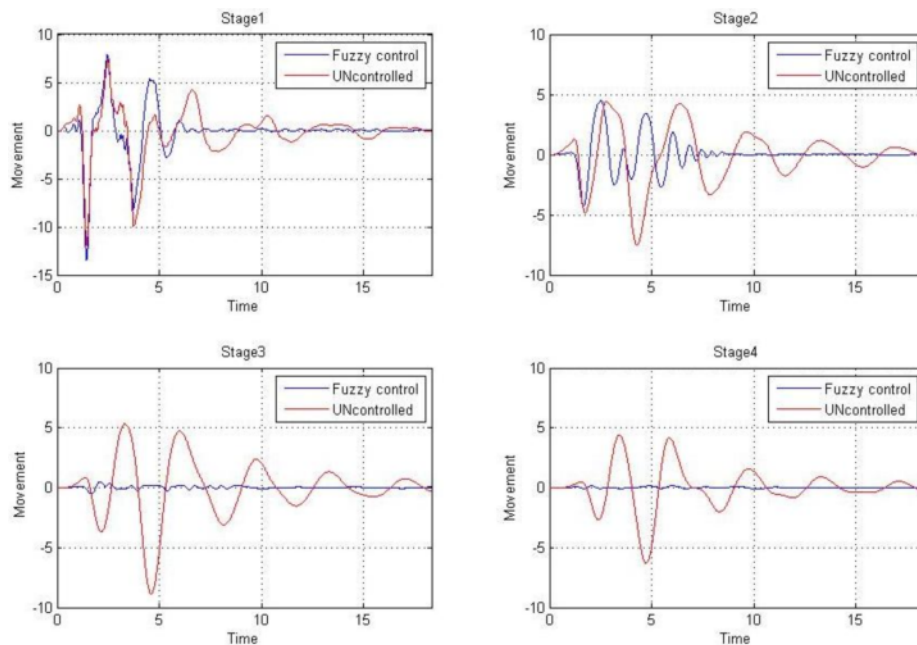
نتایج شبیه سازیها به صورت زیر می باشد:

زلزله السنترو :



شکل (۱۴-۵)

: Sanfernando زلزله

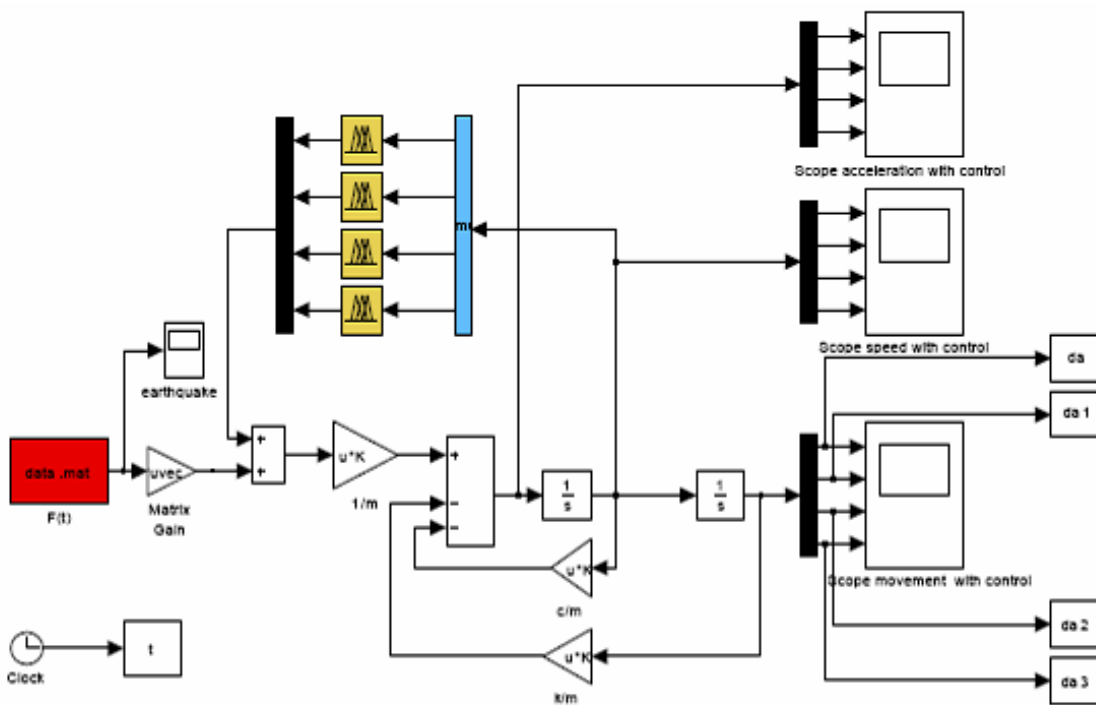


شکل (۱۵-۵)

ب-کنترل جابجایی با استفاده از فیدبک سرعت:

در ابتدا استفاده از فیدبک سرعت جهت کنترل جابجایی عجیب به نظر می رسد ولی با کمی دقت متوجه می شویم به دلیل آنکه جابجایی از انگرال سرعت به دست می اید با فیدبک سرعت در حقیقت مشتق جابجایی استفاده می شود و باعث کاهش نوسانات جابجایی گشته ایم. حال به صورت عملی این روش را اجرا نموده و محسن و معایب آنرا بررسی می نماییم.

بلوک دیاگرام این سیستم به صورت شکل(۱۶-۵) می باشد.



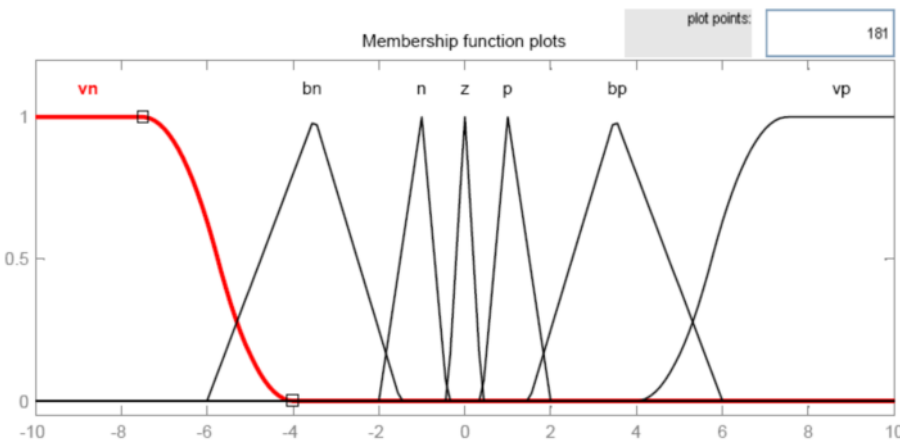
شکل(۱۶-۵)

کنترل کننده فازی از نوع ممداñی به صورت زیر می باشد:

```
NumInputs=1
NumOutputs=1
NumRules=7
AndMethod='min'
OrMethod='max'
ImpMethod='min'
AggMethod='max'
DefuzzMethod='bisector'
```

متغیرهای ورودی که فیدبکی از سرعت سازه می باشد توسط توابع عضویت زیر فازی می شود:

```
Range=[-10 10]
NumMFs=7
MF1='vn':'zmf', [-7.5 -4]
MF2='bn':'trimf', [-6 -3.5 -1.5]
MF3='n':'trimf', [-2 -1 -0.4]
MF4='z':'trimf', [-0.4 0 0.4]
MF5='p':'trimf', [0.4 1 2]
MF6='bp':'trimf', [1.5 3.5 6]
MF7='vp':'smf', [4 7.5]
```



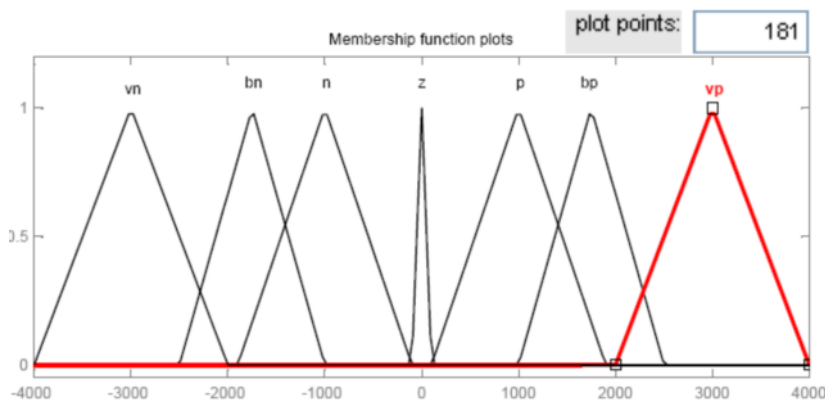
شکل (17-5)

در شکل (17-5) فازی ساز ورودی دارای هفت تابع عضویت می باشد و مقادیر جاگایی بر حسب سانتیمتر هستند.

متغیرهای خروجی کنترل کننده فازی توسط تابع زیرجهت اعمال به محرکها غیر فازی می گردند که در اینجا مقدار نیرو بر حسب کیلوگرم می باشد.

```
NumMFs=7
MF1='vn':'trimf', [-4000 -3000 -2000]
MF2='bn':'trimf', [-2500 -1750 -1000]
```

```
MF3='n':'trimf',[ -1900 -1000 -100]
MF4='z':'trimf',[ -100 0 100]
MF5='p':'trimf',[ 100 1000 1900]
MF6='bp':'trimf',[ 1000 1750 2500]
MF7='vp':'trimf',[ 2000 3000 4000]
```



شکل(۱۸-۵)

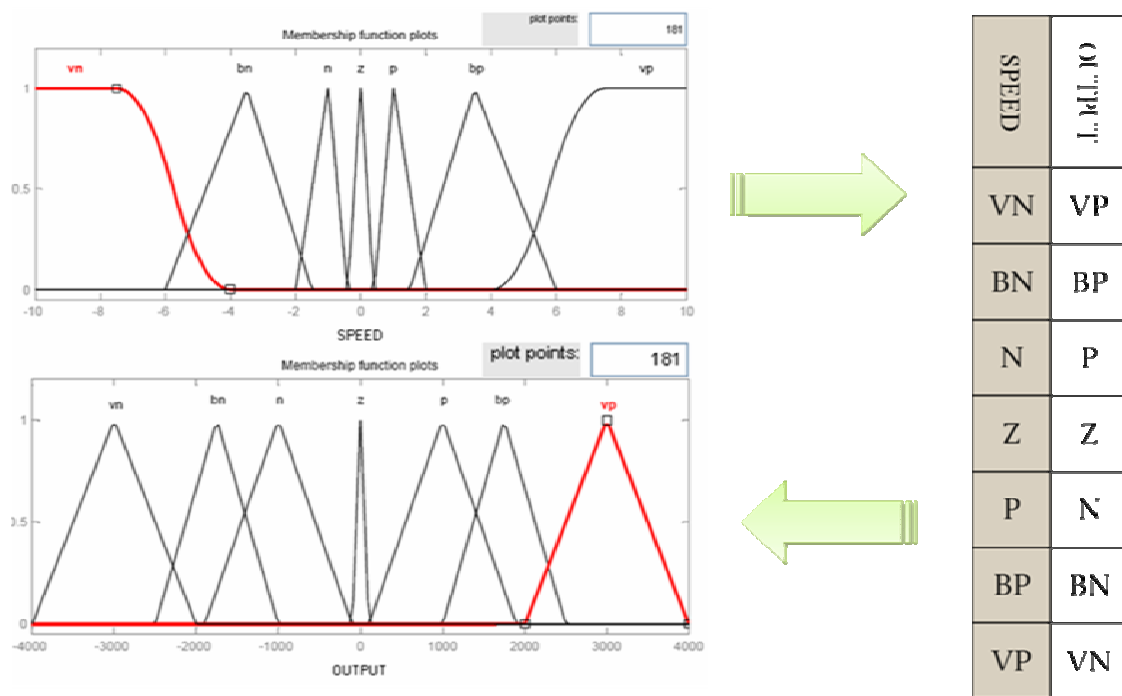
جهت استنتاج فازی نیاز به قواعد فازی داریم تا خطای خروجی (میزان جابجایی) را صفر

نماییم:

1. If (input1 is vn) then (output1 is vp) (1)
2. If (input1 is bn) then (output1 is bp) (1)
3. If (input1 is n) then (output1 is p) (1)
4. If (input1 is z) then (output1 is z) (1)
5. If (input1 is p) then (output1 is n) (1)
6. If (input1 is bp) then (output1 is bn) (1)
7. If (input1 is vp) then (output1 is vn) (1)

عملکرد کنترل جابجایی با استفاده از فیدبک سرعت :

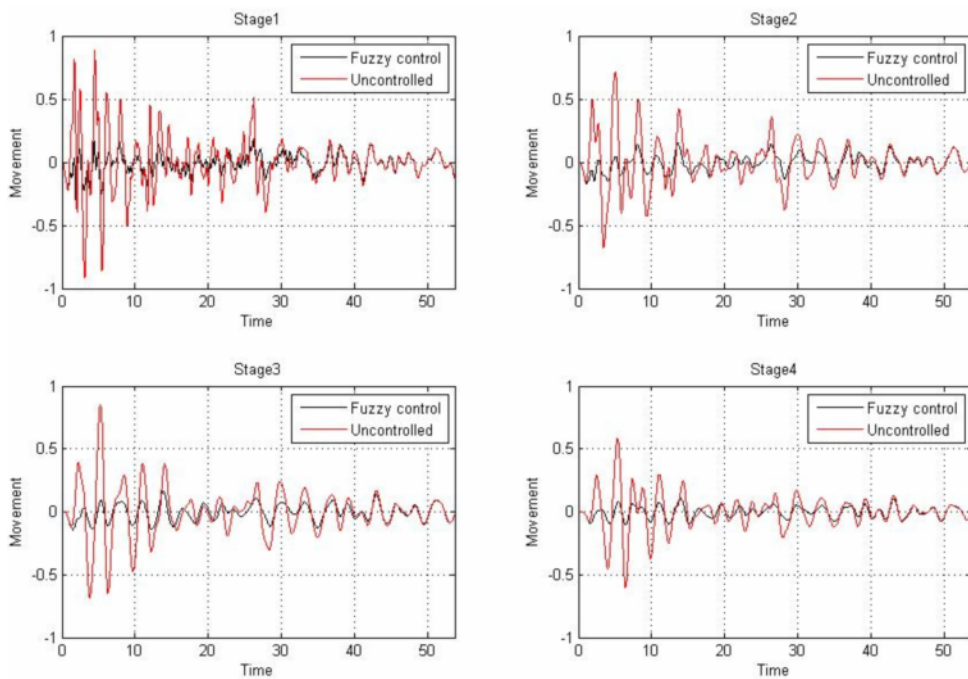
جدول(۴-۵)



شکل(۱۹-۵)

قواعد در اینجا همانند قسمت کنترل جابجایی با استفاده از فیدبک جابجایی می باشد تنها با این تفاوت که به جای جابجایی از سرعت نمونه برداری و فازی می گردد و نسبت به ورودی سرعت تصمیم سازی و غیر فازی می گردد.

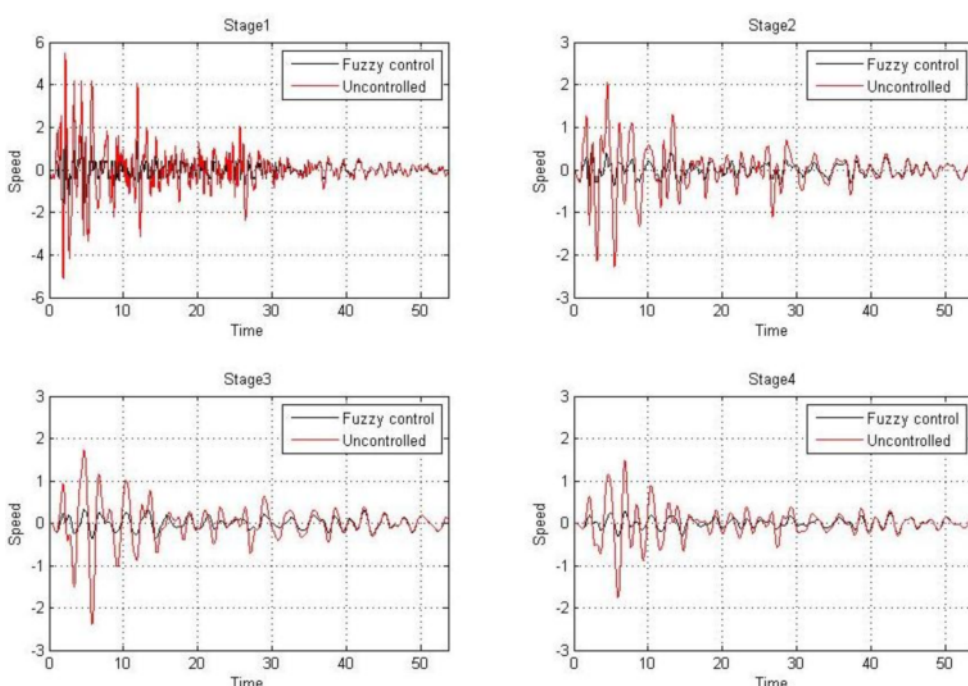
با اعمال رکورد زلزله السنترو به سیستم فوق نتایج این قسمت را مورد بررسی قرار می دهیم :



شکل(۲۰-۵)

در شکل فوق اثر مطلوب فیدبک سرعت را بر کنترل جابجایی سازه مشاهد بودیم.

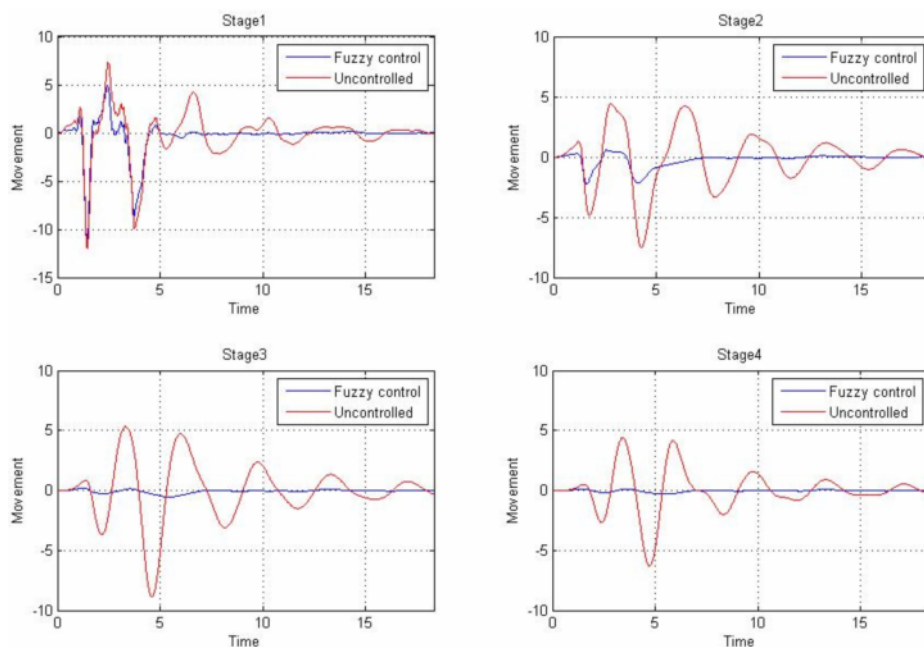
در زیر اثر فیدبک سرعت بر کنترل سرعت سازه را مشاهده می نماییم:



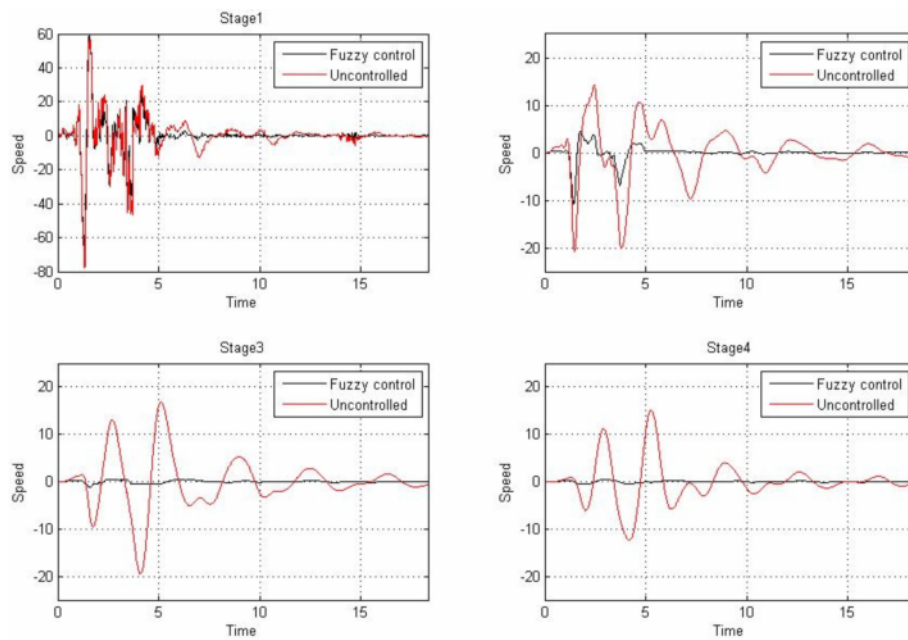
شکل(۲۱-۵)

از شبیه سازی برای کنترل سرعت سازه با استفاده از فیدبک سرعت میتوان نتیجه گرفت که این ترند در کاهش سرعت سازه نیز موثر بوده است.

شبیه سازی را برای زلزله sanfernando تکرار می نماییم:



شکل(۲۲-۵)



شکل(۲۳-۵)

از نمودارهای بدست آمده از شبیه سازی زلزله sanfernando می توان به نتایج مطلوب فیدبک سرعت برای کنترل جابجایی و سرعت سازه اطمینان یافت.

دو نکته در این شبیه سازی ها دارای اهمیت می باشد که اولی در رسیدن به نتیجه مطلوب

مؤثر است و دومی ضعف این روش می باشد:

نکته اول : انتخاب فازی ساز وغیر فازی کننده می باشد که انتخاب نامناسب سبب نتایج نامطلوب می گردد که در قسمت های دیگر به آن خواهیم پرداخت.

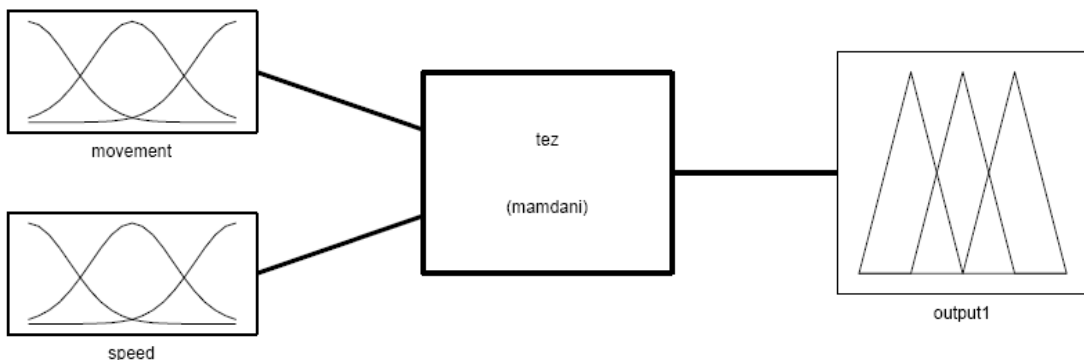
نکته دوم : در زمان پایان زلزله به علت فیدبک گرفتن از سرعت سازه ، علاوه بر نقطه تعادل در هر کجا در اطراف نقطه تعادل سازه ممکن است به حالت سکون در آید و به علت یکنواخت نبودن بار در کل سازه این اختلاف بیشتر وسازه به سمت مرکز ثقلش منعطف می شود و در نتیجه ممکن است سازه از لحاظ ظاهری دفرمه و شاید غیر قابل سکونت گردد.

با استفاده از فیدبکهای سرعت و جابجایی می توان بر مشکل بیان شده فوق که ناشی از پخش بار نا متعادل وابسته به چیدمان منازل می باشد به طوری که بیان خواهد شد غلبه نمود.

ج- کنترل جابجایی با استفاده از فیدبک سرعت و جابجایی :

در این روش با انتخاب مجموعه فازی مناسب (فازی ساز، قوانین استنتاج، غیر فازی کننده) سعی بر رفع معایب گذشته (نوسانات ناشی از استفاده از فیدبک جابجایی — توقف نکردن در مکان اولیه سازه در حالت استفاده از فیدبک سرعت) شده است که در ادامه محسن و معایب آن مورد بررسی قرار می گیرد.

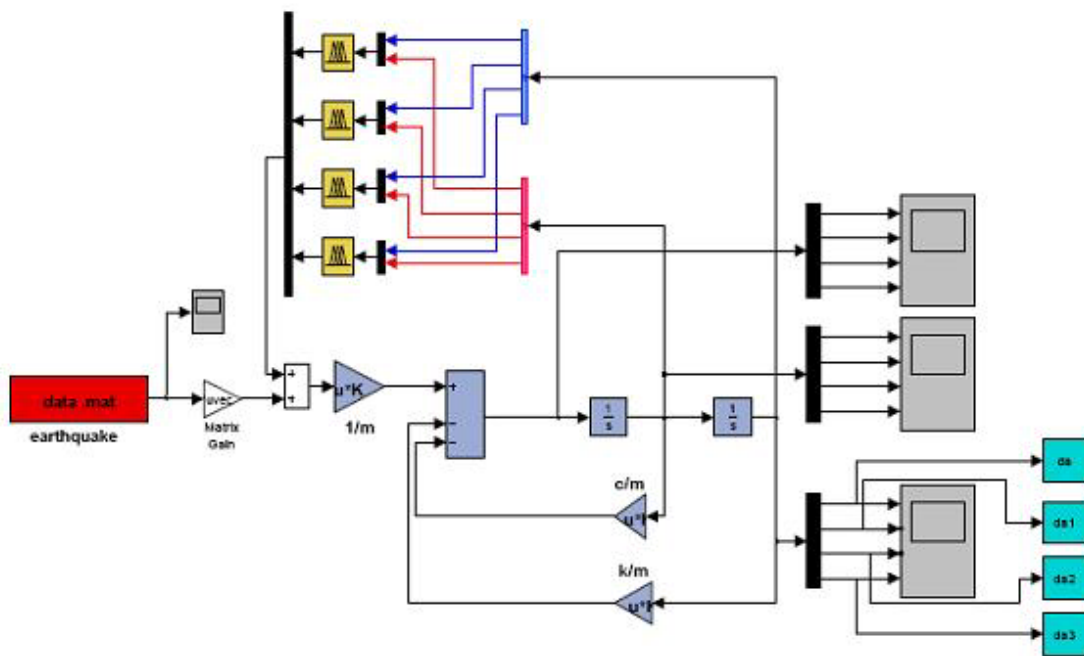
سیستم فازی انتخابی به صورت زیر می باشد:



شکل (۲۴-۵)

```

Type='mamdani'
NumInputs=2
NumOutputs=1
NumRules=49
AndMethod='min'
OrMethod='max'
ImpMethod='min'
AggMethod='max'
DefuzzMethod='bisector'
  
```



شکل(۲۵-۵) بلوک کنترل جابجایی با استفاده از فیدبک سرعت و جابجایی

عملکرد کنترل جابجایی با استفاده از فیدبک سرعت و جابجایی :

جدول(۵-۵)

		MOVEMENT						
		VN	BN	N	Z	P	BP	VP
SPEED	VN	VP	VP	VP	BP	Z	Z	N
	BN	VP	VP	BP	P	Z	N	BN
	N	VP	BP	BP	P	Z	BN	VN
	Z	VP	BP	P	Z	N	BN	VN
	P	VP	BP	Z	N	BN	BN	VN
	BP	BP	P	Z	N	BN	VN	VN
	VP	P	Z	Z	BN	VN	VN	VN

جدول عملکرد کنترل فازی (جدول(۵-۵)) در این قسمت به چهار قسمت تقسیم می شود .

- قسمت اول که با رنگ خاکستری تیره مشخص گردیده زمانی است که سرعت و جابجایی هم

جهت می باشند ، در مقابل آن نیروی کنترل با بهره ای متناسب با میزان جابجایی و سرعت

درججهت عکس به سازه اعمال می گردد.

- قسمت دوم که با رنگ خاکستری مشخص گردیده حالتی است که سرعت و جابجایی در جهت

عکس هم می باشند در این حالت برای کاهش نوسانات فیدبک نیرو را با بهره ای متناسب با

میزان جابجایی و سرعت در جهت حرکت به سمت محور صفر جابجایی به سازه اعمال می

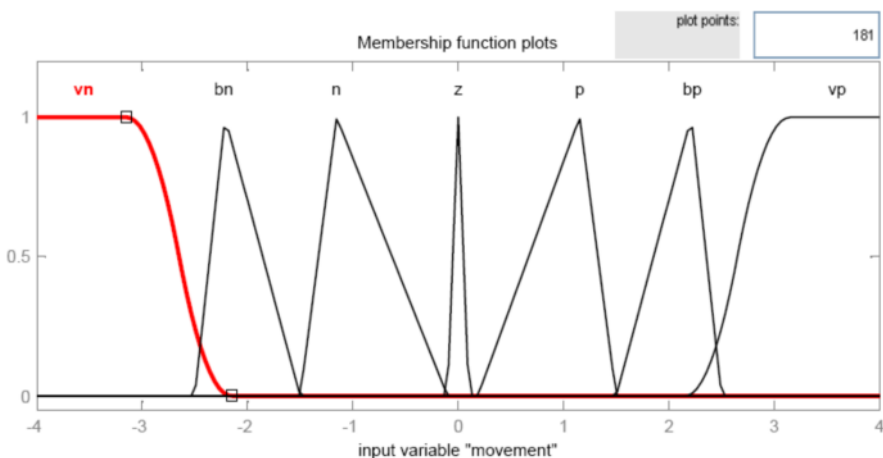
گردد.

- قسمت سوم که با رنگ خاکستری روشن مشخص گردیده حالتی است که جابجایی برابر صفر

گردیده ولی سازه متوقف نگردیده در این حالت به سازه نیرویی در جهت عکس و متناسب با میزان

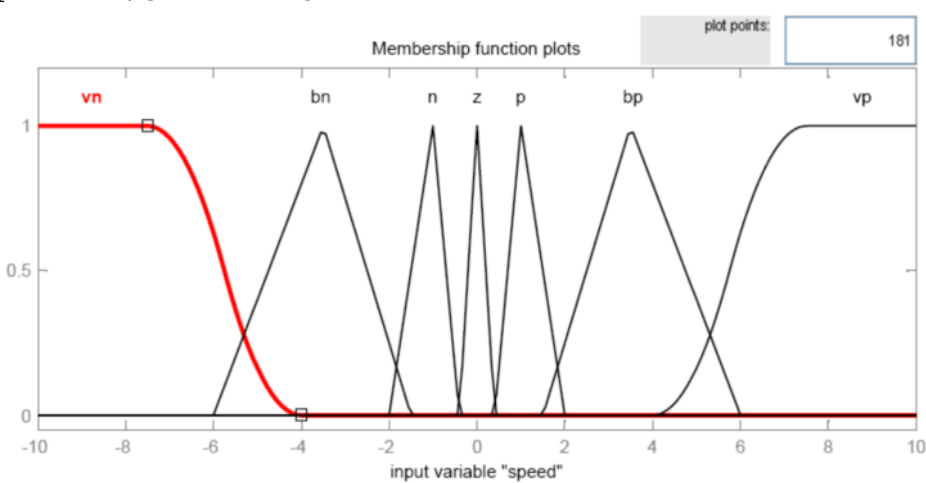
سرعت به سازه اعمال می گردد .

- قسمت چهارم که با رنگ سفید در مرکز مشخص گردیده حالتی است که سرعت و جابجایی برابر صفر می باشد.
- فازی کننده در ورودی کنترل کننده فازی به صورت زیر می باشد:



شکل(۲۶-۵)

```
Name='movement'
Range=[-4 4]
NumMFs=7
MF1='vn':'zmf',[ -3.14814814814815 -2.14814814814815]
MF2='bn':'trimf',[ -2.5 -2.21164021164021 -1.5]
MF3='n':'trimf',[ -1.5 -1.15343915343915 -0.1]
MF4='z':'trimf',[ -0.1 0 0.1]
MF5='p':'trimf',[ 0.185 1.15343915343915 1.5]
MF6='bp':'trimf',[ 1.5 2.21164021164021 2.5]
MF7='vp':'smf',[ 2.15 3.15]
```

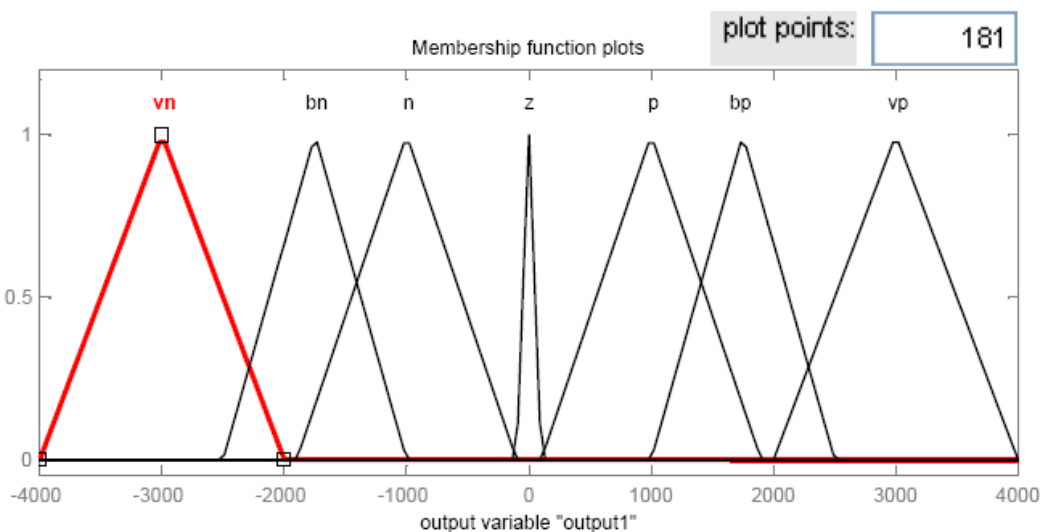


شکل(۲۷-۵)

```
[Input2]
Name='speed'
Range=[-10 10]
```

```
NumMFs=7
MF1='vn':'zmf', [-7.5 -4]
MF2='bn':'trimf', [-6 -3.5 -1.5]
MF3='n':'trimf', [-2 -1 -0.4]
MF4='z':'trimf', [-0.4 0 0.4]
MF5='p':'trimf', [0.4 1 2]
MF6='bp':'trimf', [1.5 3.5 6]
MF7='vp':'smf', [4 7.5]
```

غیرفازی کننده در خروجی کنترل کننده فازی به صورت زیر می باشد:



شکل(۲۸-۵)

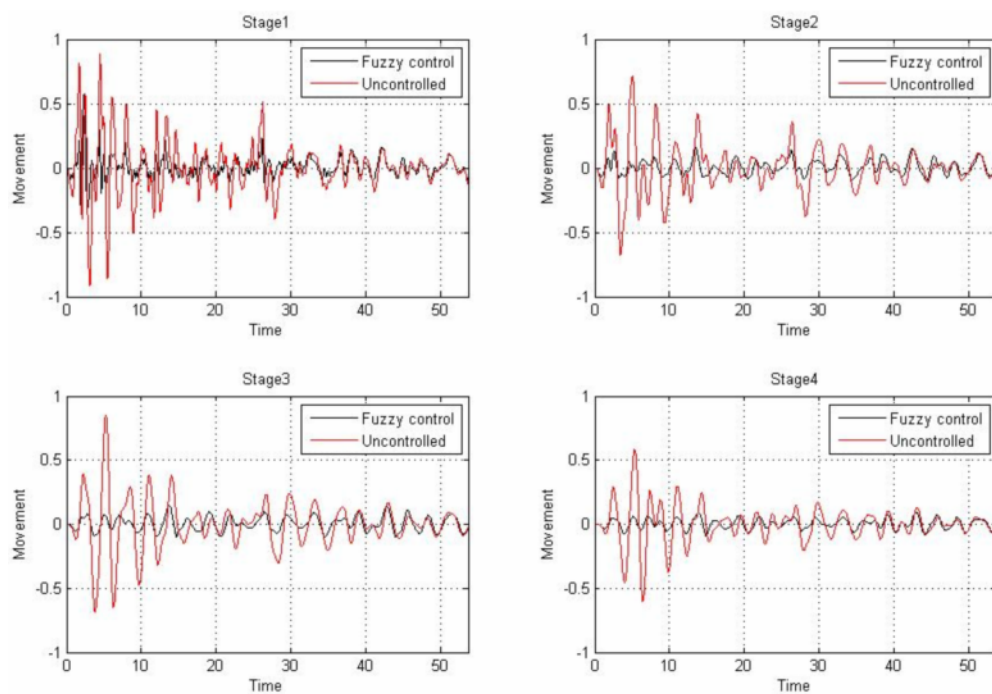
```
Name='output1'
Range=[-4000 4000]
NumMFs=7
MF1='vn':'trimf', [-4000 -3000 -2000]
MF2='bn':'trimf', [-2500 -1750 -1000]
MF3='n':'trimf', [-1900 -1000 -100]
MF4='z':'trimf', [-100 0 100]
MF5='p':'trimf', [100 1000 1900]
MF6='bp':'trimf', [1000 1750 2500]
MF7='vp':'trimf', [2000 3000 4000]
```

قواعد استنتاج کنترل کننده فازی در این قسمت به صورت زیر می باشد :

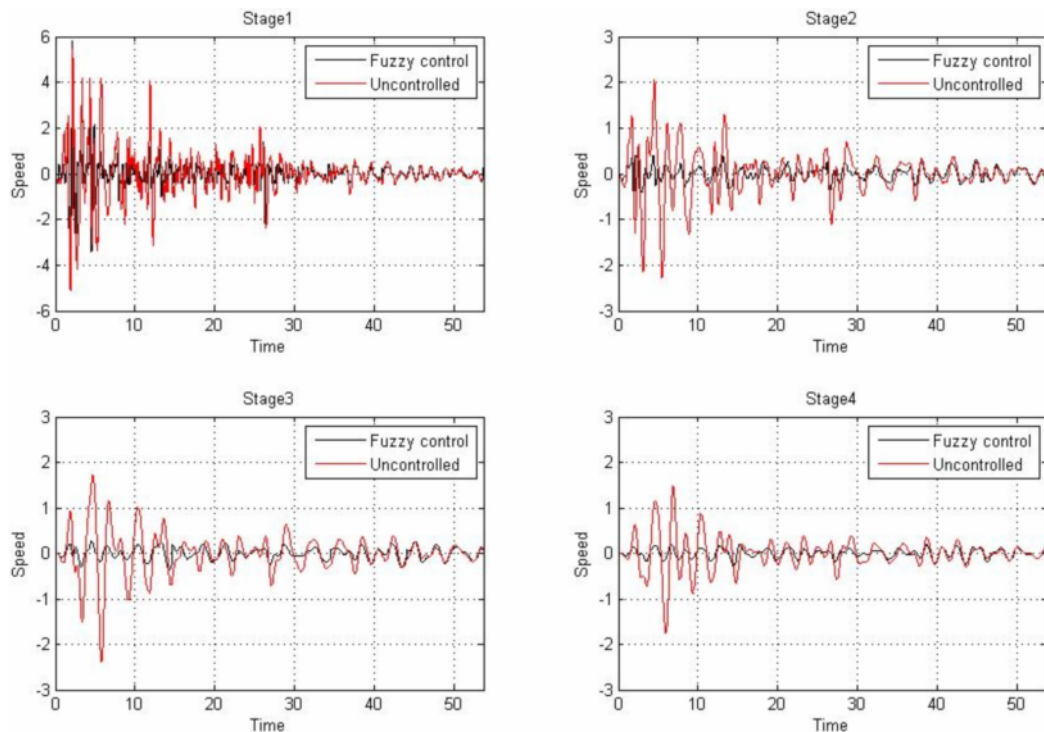
1. If (movement is vn) and (speed is vn) then (output1 is vp) (1)
2. If (movement is vn) and (speed is bn) then (output1 is vp) (1)
3. If (movement is vn) and (speed is n) then (output1 is vp) (1)
4. If (movement is vn) and (speed is z) then (output1 is vp) (1)
5. If (movement is vn) and (speed is p) then (output1 is vp) (1)
6. If (movement is vn) and (speed is bp) then (output1 is bp) (1)
7. If (movement is vn) and (speed is vp) then (output1 is p) (1)
8. If (movement is bn) and (speed is vn) then (output1 is vp) (1)
9. If (movement is bn) and (speed is bn) then (output1 is vp) (1)
10. If (movement is bn) and (speed is n) then (output1 is bp) (1)
11. If (movement is bn) and (speed is z) then (output1 is bp) (1)
12. If (movement is bn) and (speed is p) then (output1 is bp) (1)
13. If (movement is bn) and (speed is bp) then (output1 is p) (1)
14. If (movement is bn) and (speed is vp) then (output1 is z) (1)
15. If (movement is n) and (speed is vn) then (output1 is vp) (1)
16. If (movement is n) and (speed is bn) then (output1 is bp) (1)
17. If (movement is n) and (speed is n) then (output1 is bp) (1)
18. If (movement is n) and (speed is z) then (output1 is p) (1)
19. If (movement is n) and (speed is p) then (output1 is z) (1)
20. If (movement is n) and (speed is bp) then (output1 is z) (1)
21. If (movement is n) and (speed is vp) then (output1 is z) (1)
22. If (movement is z) and (speed is vn) then (output1 is bp) (1)
23. If (movement is z) and (speed is bn) then (output1 is p) (1)
24. If (movement is z) and (speed is n) then (output1 is p) (1)
25. If (movement is z) and (speed is z) then (output1 is z) (1)
26. If (movement is z) and (speed is p) then (output1 is n) (1)
27. If (movement is z) and (speed is bp) then (output1 is n) (1)
28. If (movement is z) and (speed is vp) then (output1 is bn) (1)
29. If (movement is p) and (speed is vn) then (output1 is z) (1)
30. If (movement is p) and (speed is bn) then (output1 is z) (1)
31. If (movement is p) and (speed is n) then (output1 is z) (1)

32. If (movement is p) and (speed is z) then (output1 is n) (1)
33. If (movement is p) and (speed is p) then (output1 is bn) (1)
34. If (movement is p) and (speed is bp) then (output1 is bn) (1)
35. If (movement is p) and (speed is vp) then (output1 is vn) (1)
36. If (movement is bp) and (speed is vn) then (output1 is z) (1)
37. If (movement is bp) and (speed is bn) then (output1 is n) (1)
38. If (movement is bp) and (speed is n) then (output1 is bn) (1)
39. If (movement is bp) and (speed is z) then (output1 is bn) (1)
40. If (movement is bp) and (speed is p) then (output1 is bn) (1)
41. If (movement is bp) and (speed is bp) then (output1 is vn) (1)
42. If (movement is bp) and (speed is vp) then (output1 is vn) (1)
43. If (movement is vp) and (speed is vn) then (output1 is n) (1)
44. If (movement is vp) and (speed is bn) then (output1 is bn) (1)
45. If (movement is vp) and (speed is n) then (output1 is vn) (1)
46. If (movement is vp) and (speed is z) then (output1 is vn) (1)
47. If (movement is vp) and (speed is p) then (output1 is vn) (1)
48. If (movement is vp) and (speed is bp) then (output1 is vn) (1)
49. If (movement is vp) and (speed is vp) then (output1 is vn) (1)

نتیجه شبیه سازی برای زلزله السنترو به صورت زیر می باشد :

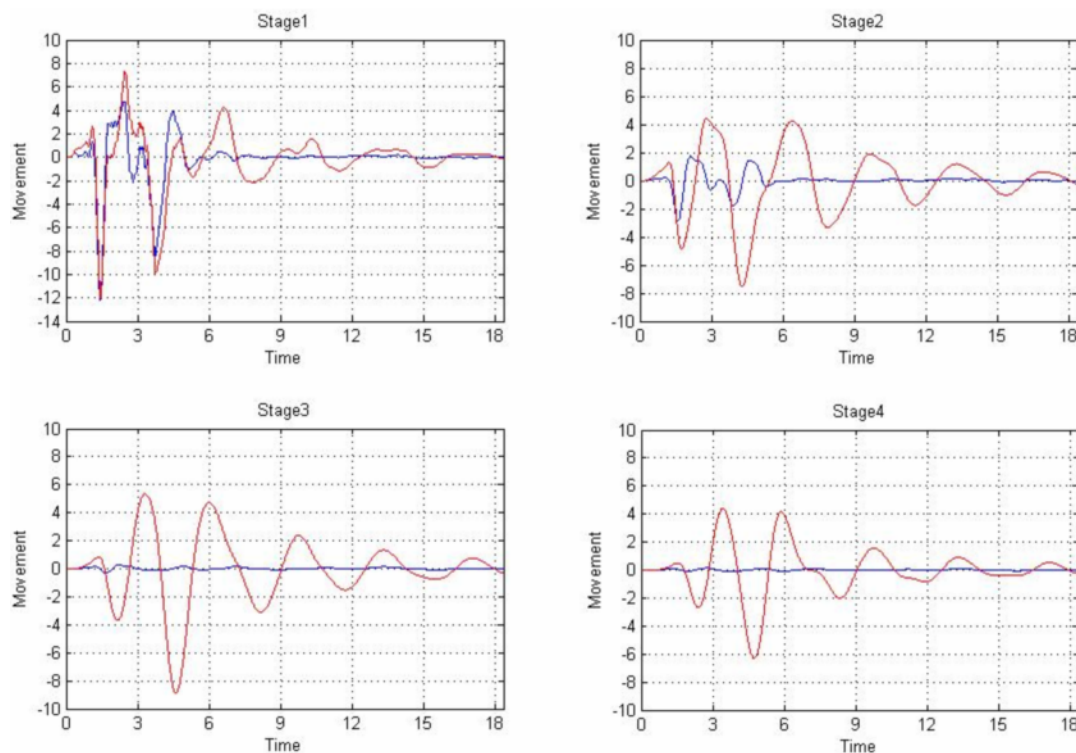


شکل(۲۹-۵)

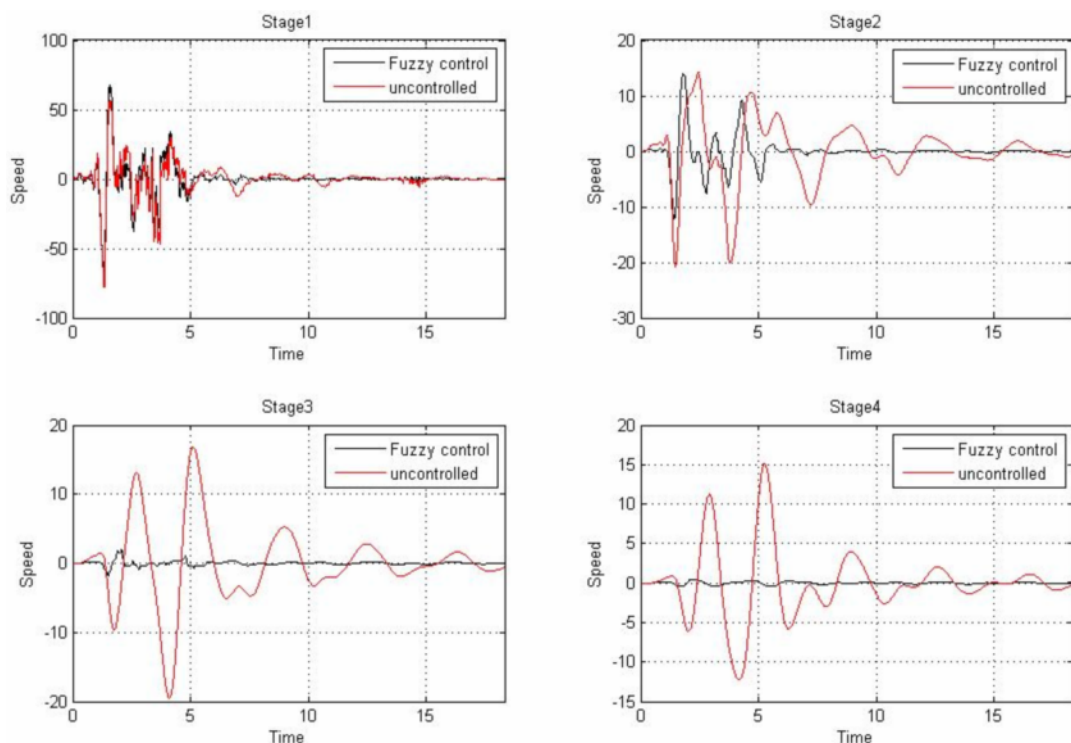


شکل(۳۰-۵)

نتیجه شبیه سازی برای زلزله Sanfernando به صورت زیر می باشد:

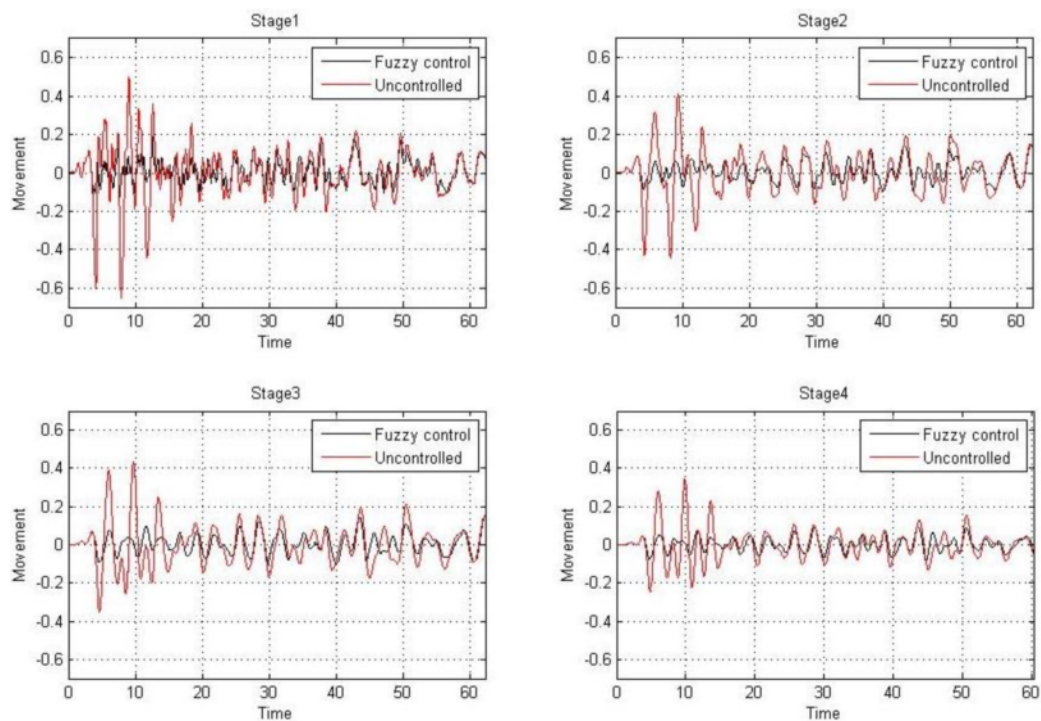


شکل(۳۱-۵)

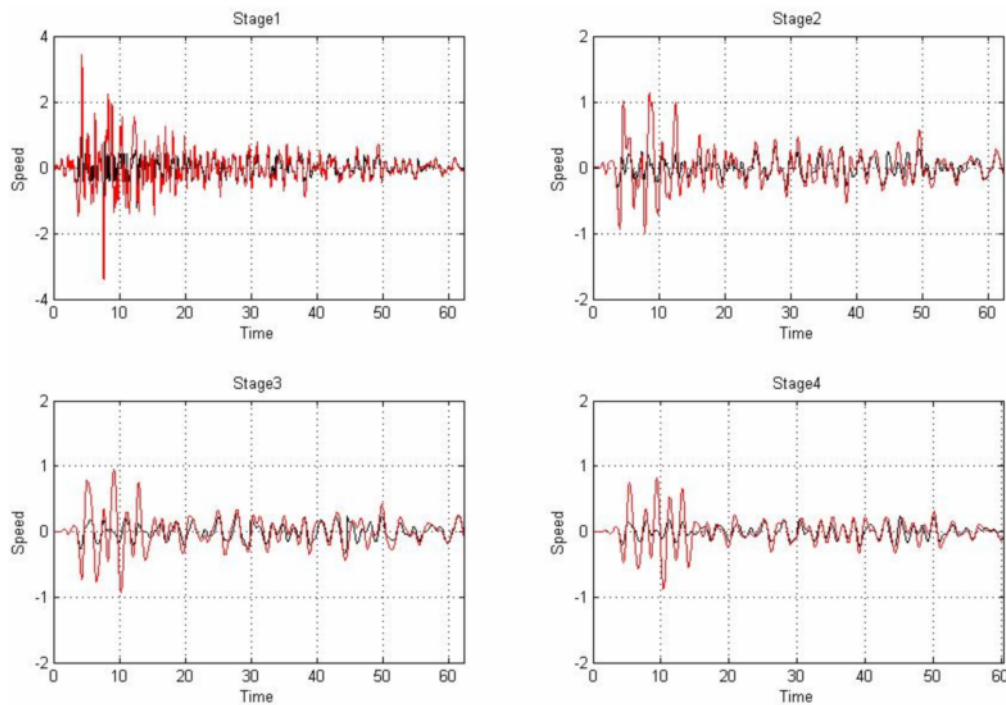


شکل(۳۲-۵)

نتیجه شبیه سازی برای زلزله تفت به صورت زیر می باشد:

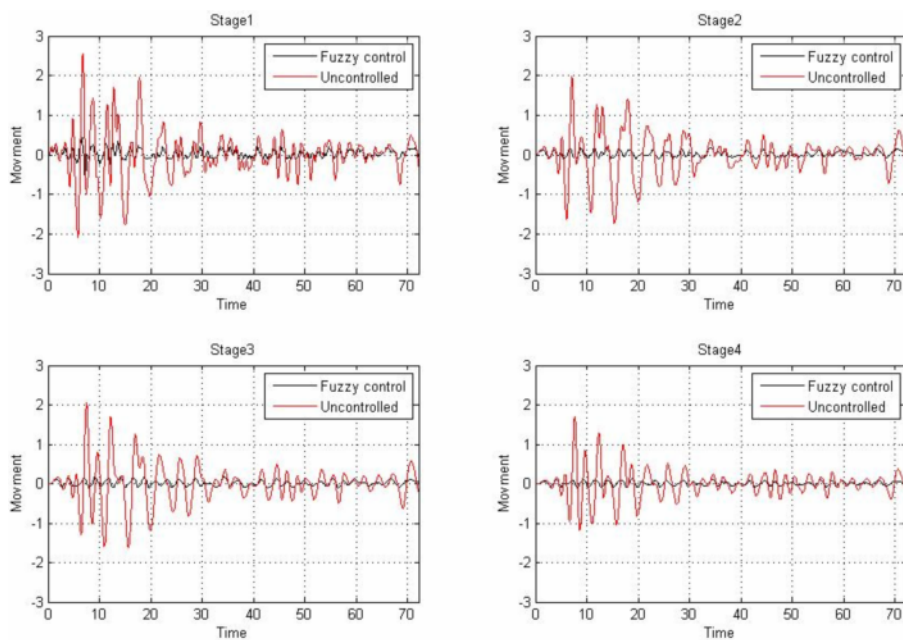


شکل(۳۳-۵)

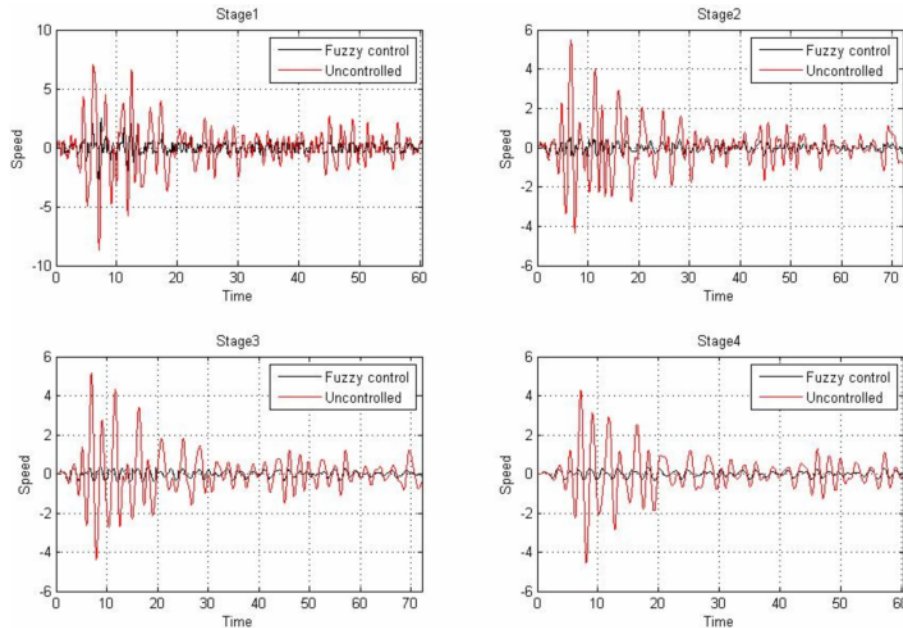


شکل(۳۴-۵)

نتیجه شبیه سازی برای زرکورد زلزله Hachinohe به صورت زیر می باشد :



شکل(۳۵-۵)

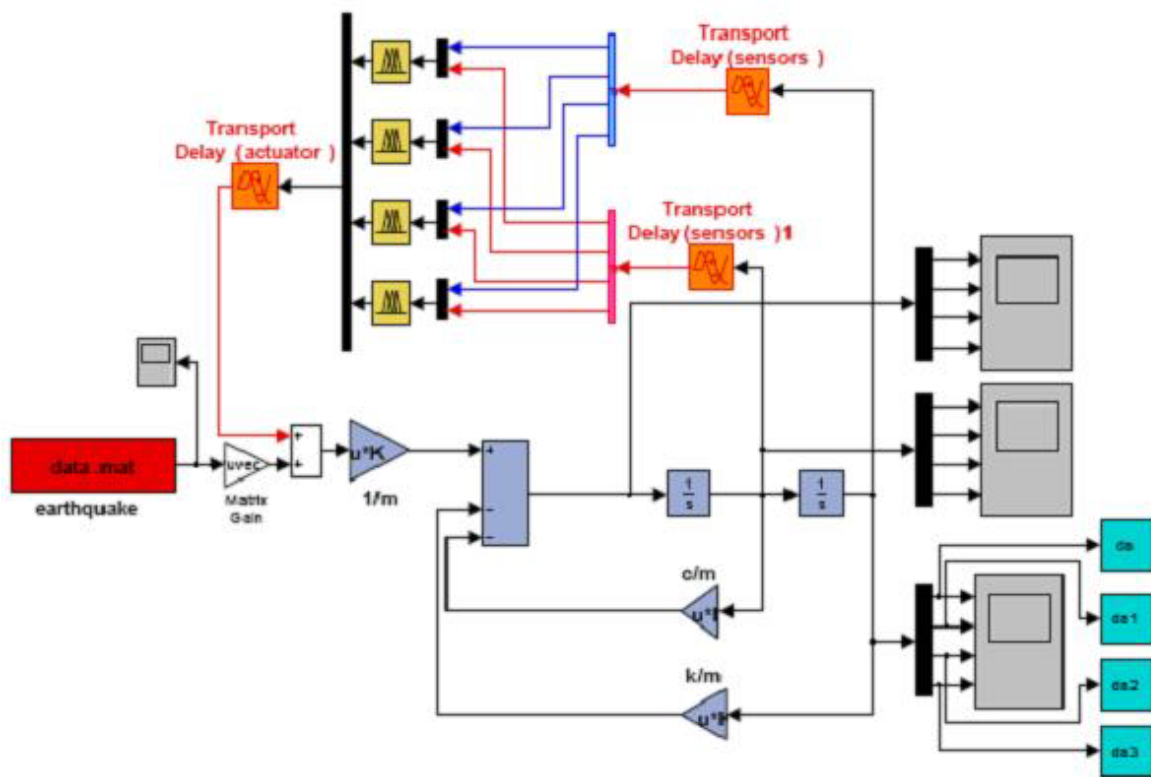


شکل(۳۶-۵)

با توجه به شبیه سازی های ارائه شده صحت عملکرد روش بیان شده مشخص گردید.

زمان آن فرا رسیده که در ورودی و خروجی کنترل کننده بیان شده تاخیرات زمان را در نظر گرفته میزان پاسخ دهی این سیستم را به تاخیرات زمان بررسی نماییم .

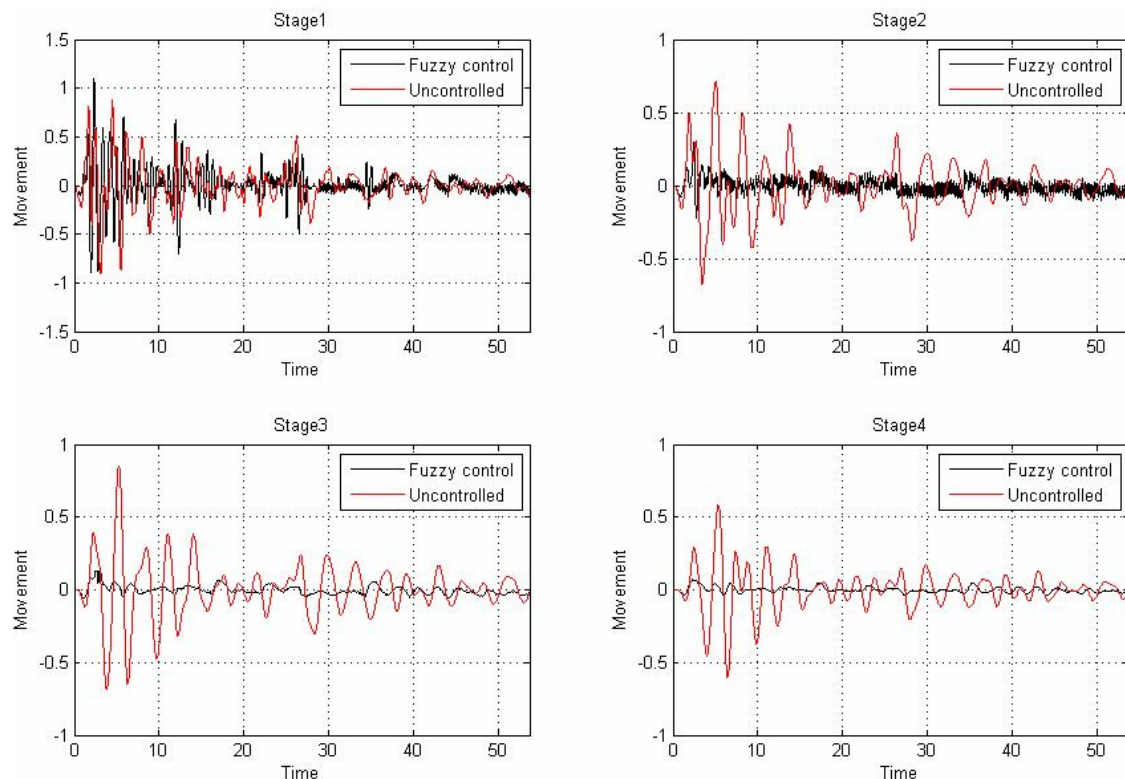
مدل سازی سازه دارای تاخیر در نمونه گیر و محرک :



(۳۷-۵) شکل

شبیه سازی برای سازه دارای ms 40 تاخیر در سنسور و 40ms تاخیر بعد از کنترل

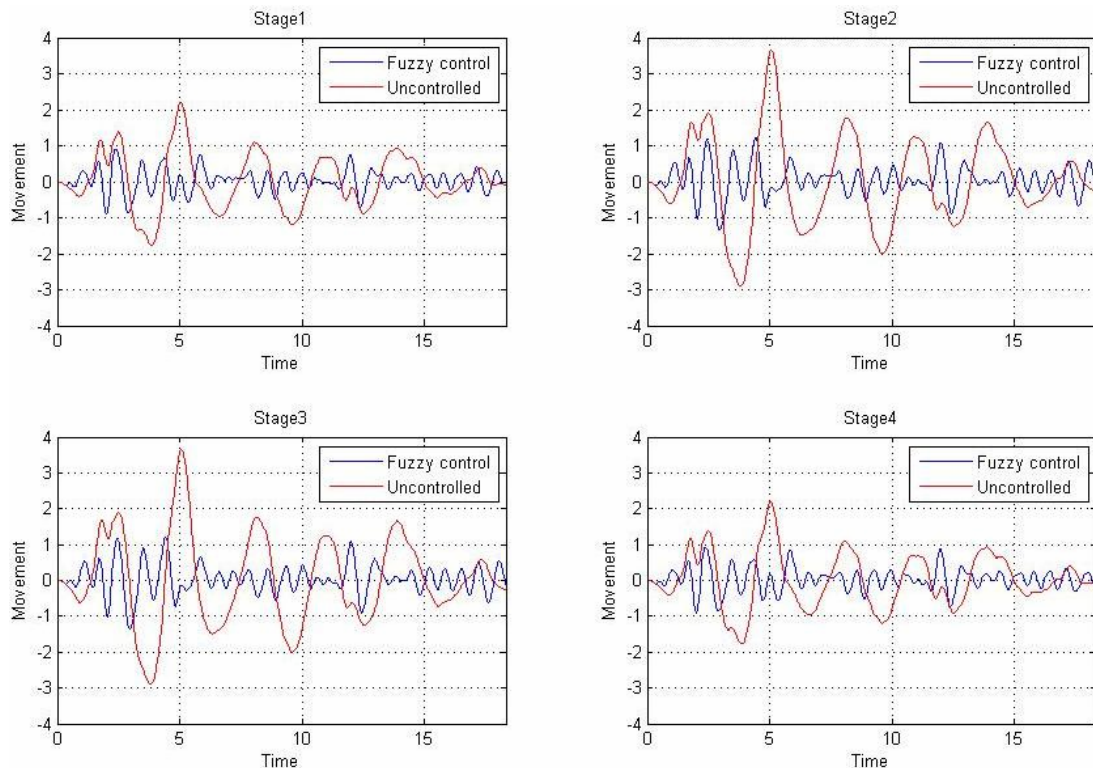
کننده فازی و محرک برای رکورد زلزله السنترو به صورت زیر می باشد :



(۳۸-۵) شکل

شبیه سازی برای سازه دارای ms 40 تاخیر در سنسور و 40ms تاخیر بعد از کنترل

کننده فازی ومحرك برای رکورد زلزله Sanfernando به صورت زیر می باشد :

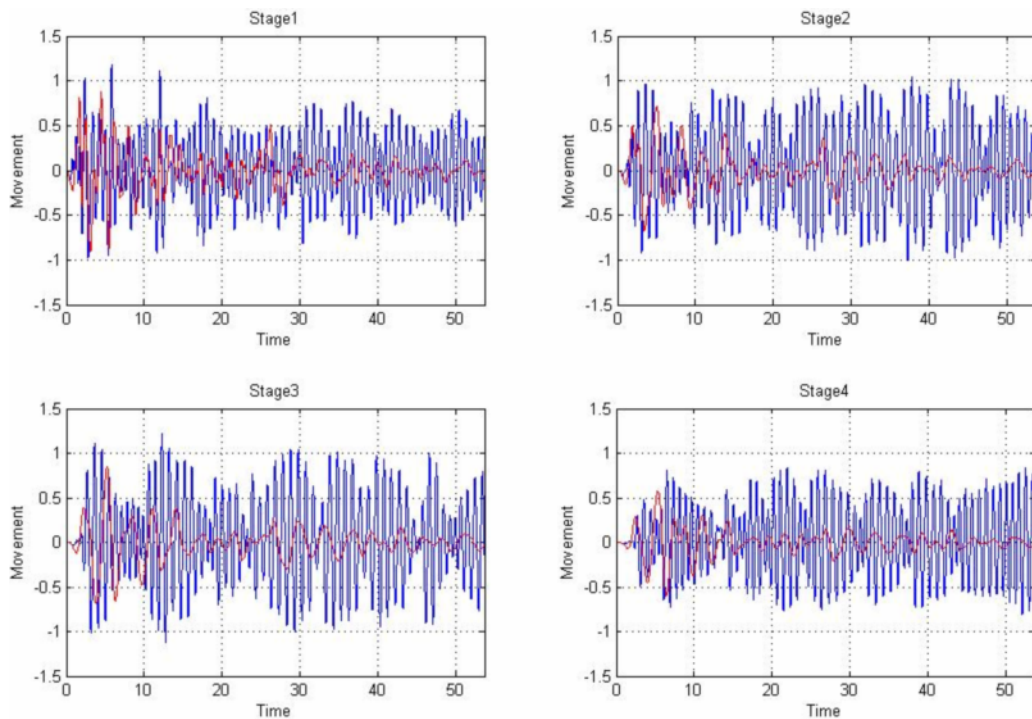


شکل(۳۹-۵)

با توجه به شبیه سازیهای فوق مشاهده می شود نتایج کمی ضعیف شده ولی هنوز سیستم کنترل اثر زلزله کاهش داده است.

قصد داریم در شبیه سازیها نهایت دقیقت و مطابقت با سیستم واقعی رخ دهد، در همین راستا میزان تاخیر را در سنسورها ۴۰ میلی ثانیه و در خروجی تا مقدار متوسط که برابر ۱،۰ ثانیه می باشد بالا میبریم ونتایج را برای شبیه سازی ها بررسی می نمائیم.

شبیه سازی برای سازه دارای $ms\ 40$ تاخیر در سنسورها و $s\ 0.1$ تاخیر بعد از کنترل کننده فازی ومحرك برای رکورد زلزله السنترو به صورت زیر می باشد :



شکل(۴۰-۵)

با توجه به شکل فوق متوجه میشویم تاخیر زمانی سبب به نوسان در امدن سیستم کنترل فوق شده است.

اکنون این سوال پیش می آید که سیستم کنترل فازی با شکست مواجه شده؟

پاسخ سوال خیر است. زیرا با اندکی تغییر در قواعد استنتاج وغير فازی ساز مشکل فوق رفع می گردد. مزیت سیستم فازی نسبت به سایر سیستمها در بهینه نمودن این سیستم با توجه به تاخیرات زمانی محرکها و تنها تغییر در فازی ساز وغير فازی ساز وقواعد استنتاج بدون نیاز به الگوریتمهای پیچیده و زمان بر پیشビین می باشد. در این قسمت سعی بر اصلاح قواعد استنتاج وغير فازی ساز در کاهش نوسانات ناشی از تاخیر زمان نمونه برداری و عکس العمل محرك گشته است.

توضیح کنترلر فازی اصلاح شده اعمال شده به سازه دارای تاخیر در نمونه گیر و محرک :

جدول(۵-۵)

		MOVEMENT						
		VN	BN	N	Z	P	BP	VP
SPEED	VN	VP	VP	VP	BP	Z	Z	N
	BN	VP	VP	BP	BP	Z	N	BN
	N	VP	BP	P	BP	Z	BN	VN
	Z	VP	BP	P	Z	N	BN	VN
	P	VP	BP	Z	BN	N	BN	VN
	BP	BP	P	Z	BN	BN	VN	VN
	VP	P	Z	Z	BN	VN	VN	VN

این کنترل کننده همانند کنترل کننده فازی با استفاده از فیدبک سرعت و جابجایی دارای چهار بخش می باشد که کلیه بخش ها غیر از بخش سوم دارای همان توضیحات می باشد.

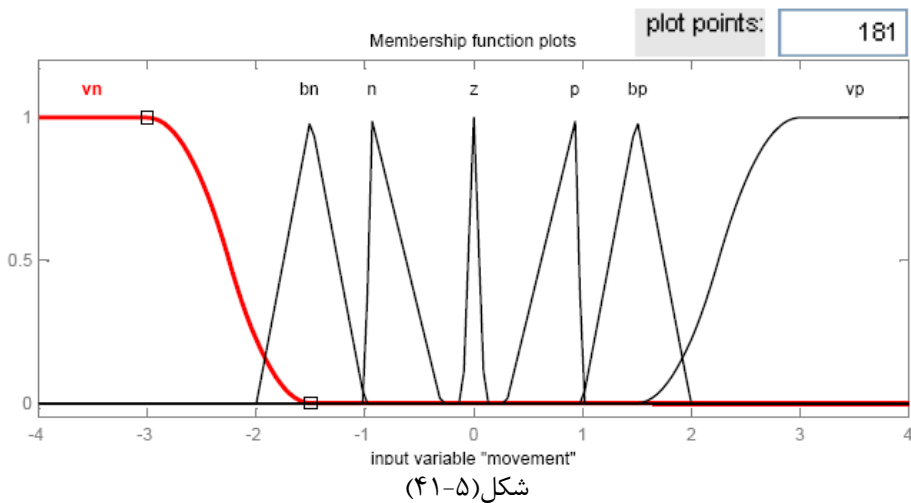
در این قسمت جهت کاهش نوسانات و پاسخ دهی سریعتر بهره مشتق خطا که در اینجا سرعت سازه می باشد در حالتی که جابجایی برابر صفر گردیده و سرعت نابرابر صفر است و در شکل با رنگ خاکستری مشخص گردیده افزایش یافته است .

1. If (movement is vn) and (speed is vn) then (output1 is vp) (1)
2. If (movement is vn) and (speed is bn) then (output1 is vp) (1)
3. If (movement is vn) and (speed is n) then (output1 is vp) (1)
4. If (movement is vn) and (speed is z) then (output1 is vp) (1)
5. If (movement is vn) and (speed is p) then (output1 is vp) (1)
6. If (movement is vn) and (speed is bp) then (output1 is bp) (1)
7. If (movement is vn) and (speed is vp) then (output1 is p) (1)
8. If (movement is bn) and (speed is vn) then (output1 is vp) (1)
9. If (movement is bn) and (speed is bn) then (output1 is vp) (1)
10. If (movement is bn) and (speed is n) then (output1 is bp) (1)
11. If (movement is bn) and (speed is z) then (output1 is bp) (1)
12. If (movement is bn) and (speed is p) then (output1 is bp) (1)
13. If (movement is bn) and (speed is bp) then (output1 is p) (1)
14. If (movement is bn) and (speed is vp) then (output1 is z) (1)
15. If (movement is n) and (speed is vn) then (output1 is vp) (1)
16. If (movement is n) and (speed is bn) then (output1 is bp) (1)
17. If (movement is n) and (speed is n) then (output1 is p) (1)
18. If (movement is n) and (speed is z) then (output1 is p) (1)
19. If (movement is n) and (speed is p) then (output1 is z) (1)
20. If (movement is n) and (speed is bp) then (output1 is z) (1)
21. If (movement is n) and (speed is vp) then (output1 is z) (1)
22. If (movement is z) and (speed is vn) then (output1 is bp) (1)
23. If (movement is z) and (speed is bn) then (output1 is bp) (1)
24. If (movement is z) and (speed is n) then (output1 is bp) (1)
25. If (movement is z) and (speed is z) then (output1 is z) (1)
26. If (movement is z) and (speed is p) then (output1 is bn) (1)
27. If (movement is z) and (speed is bp) then (output1 is n) (1)
28. If (movement is z) and (speed is vp) then (output1 is bn) (1)
29. If (movement is p) and (speed is vn) then (output1 is z) (1)
30. If (movement is p) and (speed is bn) then (output1 is z) (1)
31. If (movement is p) and (speed is n) then (output1 is z) (1)
32. If (movement is p) and (speed is z) then (output1 is n) (1)

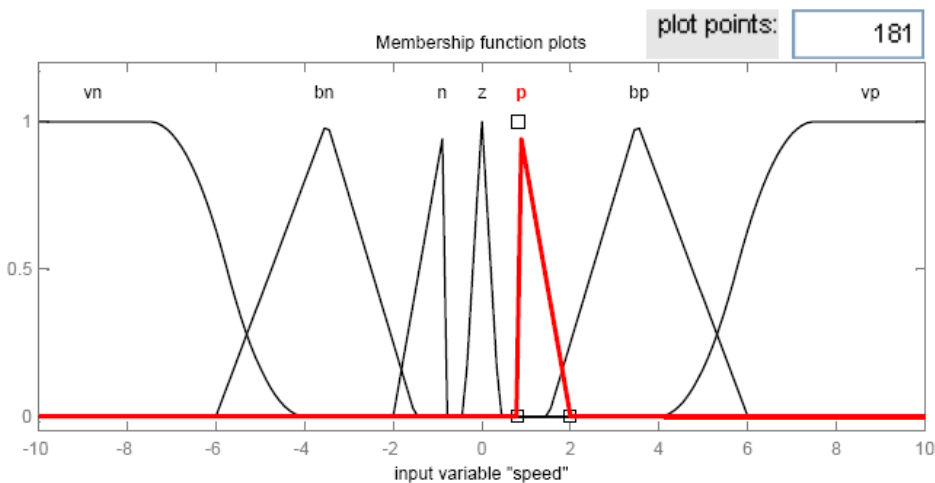
33. If (movement is p) and (speed is p) then (output1 is n) (1)
34. If (movement is p) and (speed is bp) then (output1 is bn) (1)
35. If (movement is p) and (speed is vp) then (output1 is vn) (1)
36. If (movement is bp) and (speed is vn) then (output1 is z) (1)
37. If (movement is bp) and (speed is bn) then (output1 is n) (1)
38. If (movement is bp) and (speed is n) then (output1 is bn) (1)
39. If (movement is bp) and (speed is z) then (output1 is bn) (1)
40. If (movement is bp) and (speed is p) then (output1 is bn) (1)
41. If (movement is bp) and (speed is bp) then (output1 is vn) (1)
42. If (movement is bp) and (speed is vp) then (output1 is vn) (1)
43. If (movement is vp) and (speed is vn) then (output1 is n) (1)
44. If (movement is vp) and (speed is bn) then (output1 is bn) (1)
45. If (movement is vp) and (speed is n) then (output1 is vn) (1)
46. If (movement is vp) and (speed is z) then (output1 is vn) (1)
47. If (movement is vp) and (speed is p) then (output1 is vn) (1)
48. If (movement is vp) and (speed is bp) then (output1 is vn) (1)
49. If (movement is vp) and (speed is vp) then (output1 is vn) (1)

فازی سازها نیز به صورت زیر تغییر نموده است:

```
Name='movement'
Range=[-4 4]
NumMFs=7
MF1='vn':'zmf', [-3 -1.5]
MF2='bn':'trimf', [-2. -1.5 -1]
MF3='n':'trimf', [-1 -0.95 -0.3]
MF4='z':'trimf', [-0.1 0 0.1]
MF5='p':'trimf', [0.3 0.95 1]
MF6='bp':'trimf', [1 1.5 2]
MF7='vp':'smf', [1.5 3]
```

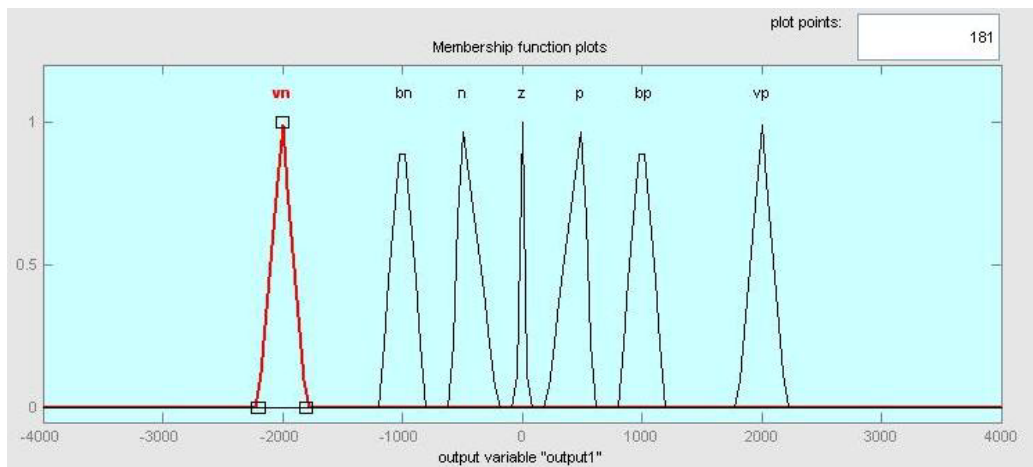


```
Name='speed'
Range=[-10 10]
NumMFs=7
MF1='vn':'zmf', [-7.5 -4]
MF2='bn':'trimf', [-6 -3.5 -1.5]
MF3='n':'trimf', [-2 -1 -0.8]
MF4='z':'trimf', [-0.4 0 0.4]
MF5='p':'trimf', [0.8 1 2]
MF6='bp':'trimf', [1.5 3.5 6]
MF7='vp':'smf', [4 7.5]
```



شکل(۴۲-۵)

غیر فازی ساز به صورت زیر می باشد:

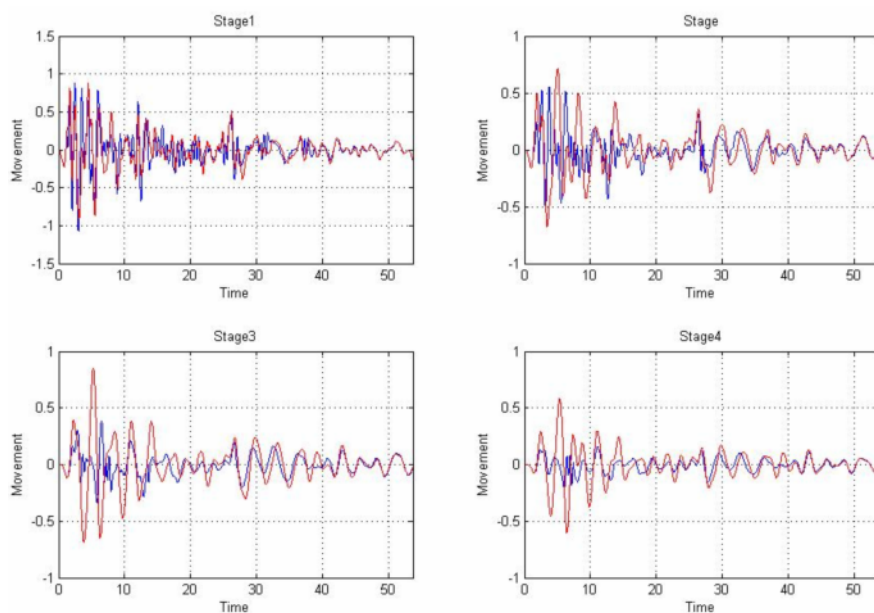


شکل(٤٣-٥)

حال سیستم اصلاح شده فوق را برای چند رکورد زلزله شبیه سازی می نمائیم.

شبیه سازی زلزله ا لسنترو با استفاده از سیستم اصلاح شده جهت جبران تاخیر زمان در نمونه

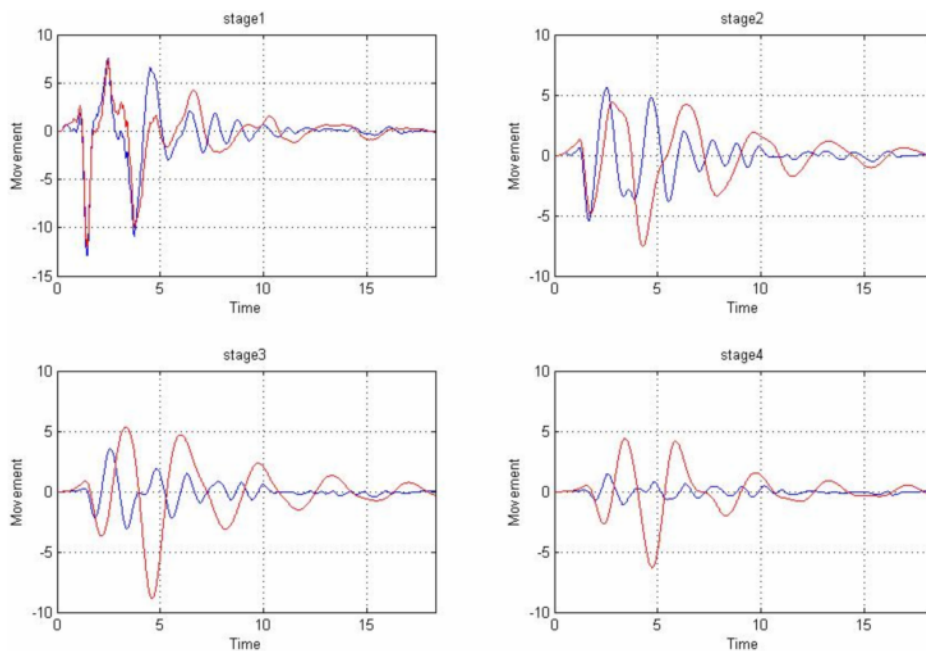
برداری و تحریک :



شکل(٤٤-٥)

شبیه سازی زلزله Sanfernando با استفاده از سیستم اصلاح شده جهت جبران تاخیر

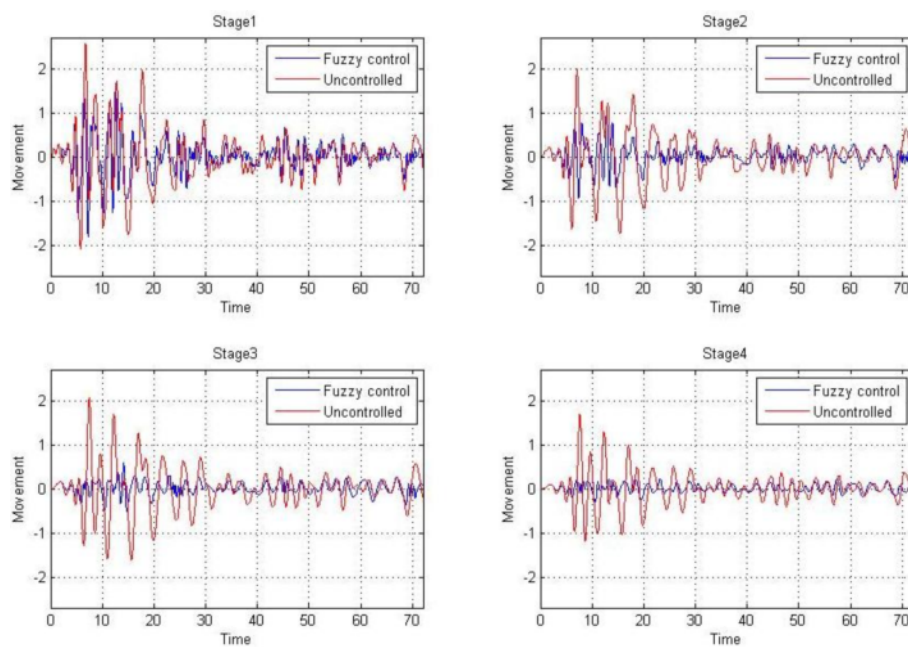
زمان در نمونه برداری و تحریک :



شکل (۴۵-۵)

شبیه سازی زلزله Hachinohe با استفاده از سیستم اصلاح شده جهت جبران تاخیر زمان

در نمونه برداری و تحریک :



شکل (۴۶-۵)

سیستم اصلاح شده جهت جبران تاخیر زمان در نمونه برداری و تحریک با توجه به نمودارها و به ویژه نمودارهای طبقات فوقانی نشان داده تا کنون توانسته پاسخگوی نیاز ما از کنترل فعال باشد.

کنترل پیش‌بین فازی:

روش کنترل پیش‌بین در این تحقیق تفاوت فراوانی با تحقیقات دیگر دارد زیرا نیاز است زمان

محاسبات، زمان عملکرد همچنین تعداد پارامترهای مورد بررسی به حداقل برسد.

در این روش پارامترهای، میزان جابجایی سازه و جابجایی سازه که دارای تاخیر زمانی می باشد به

کنترل کننده فازی اعمال می‌شود. میزان تاخیر لازم با توجه به بررسی فرکانسی بر روی رکوردهای

گذشته منطقه مورد نظر یا ازمایشات لرزه نگاری و زمین شناسی منطقه انتخاب می شود یعنی مود

فرکانسی که یشتربین شتاب را ایجاد می کند مورد استفاده قرار می گیرد.

در این روش یک چهارم زمان تناوب مود فرکانسی مورد نظر به عنوان تاخیر زمانی استفاده می شود

دلیل این انتخاب تلفیقی از کنترل سطح لغزش و پیش‌بین می باشد به صورتی که سازه را در کل زمان

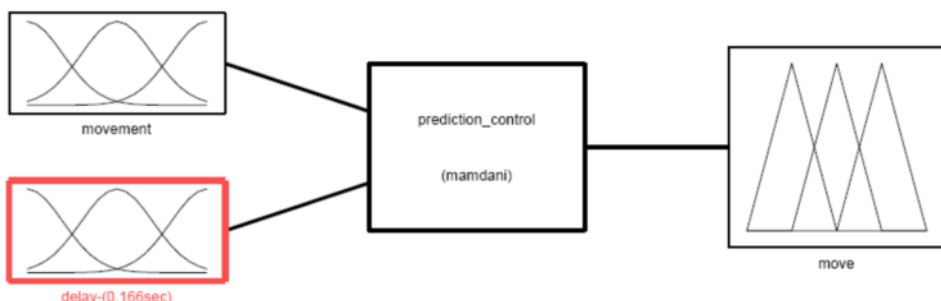
تحریکات زمین و بخصوص در آن مود فرکانسی به سطح صفر می دهد.

به عنوان مثال در شتابنگاشت زلزله السنترو، بیشتر انرژی در محدوده فرکانس‌های ۱۰ تا ۱۰ هرتز

قرار دارد و حداکثر دامنه در نزدیکی فرکانس ۱,۵ هرتز رخ می دهد.^[1] در نتیجه زمان تناوب فرکانس

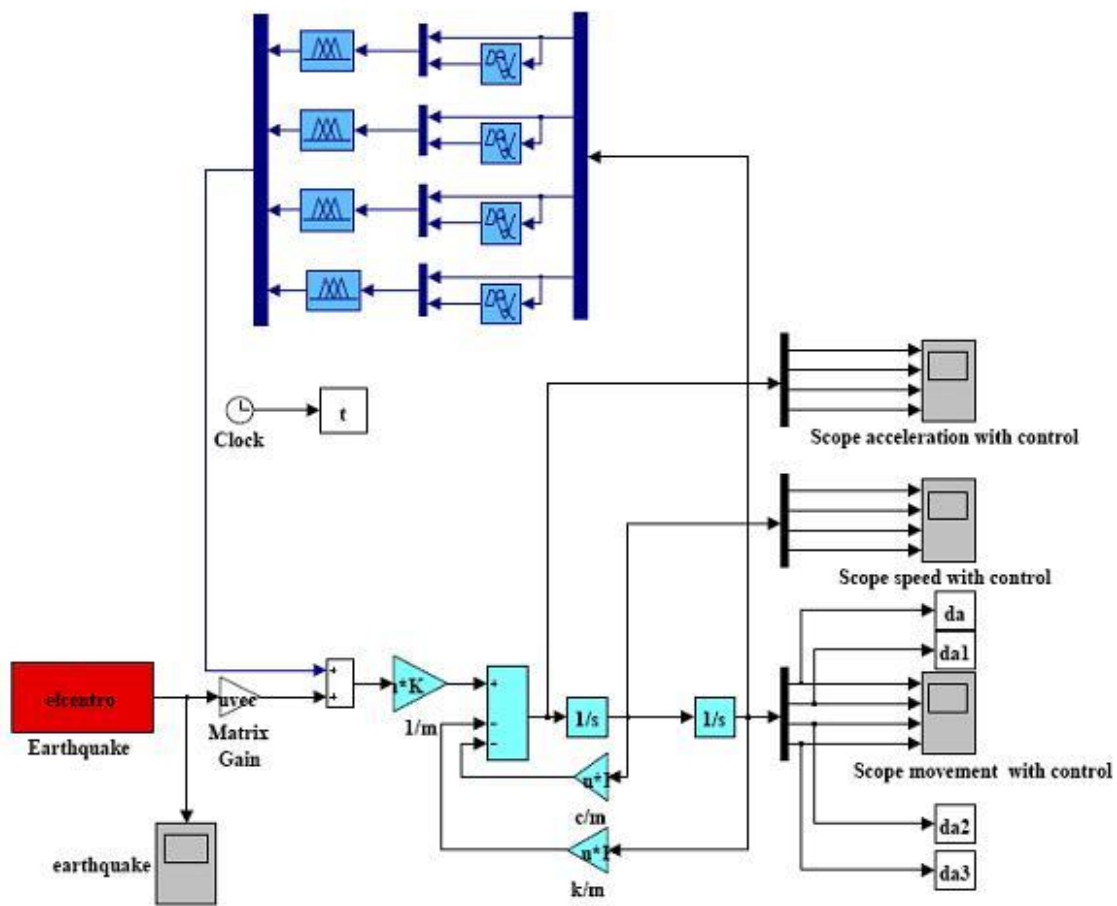
۱,۵ هرتز برابر ۰,۶۶۷ ثانیه و مدت زمان تاخیر برابر ۰,۱۶۶ ثانیه می باشد.

نمودار داخلی کنترل کننده پیش‌بین به صورت زیر می باشد:



شکل(۴۷-۵)

سیسیتم کنترل فازی پیشبين اعمال شده بر سازه:



شکل(۴۸-۵)

قوانين استنتاج کنترلر فازی پیشین :

جدول(۶)

		MOVEMENT						
		VN	BN	N	Z	P	BP	VP
WITH DELAY TIME	VN	VP	P	Z	N	BN	VN	VN
	BN	VP	BP	P	N	BN	VN	VN
	N	VP	BP	P	Z	N	VN	VN
	Z	VP	VP	P	Z	N	VN	VN
	P	VP	VP	P	Z	N	BN	VN
	BP	VP	VP	BP	P	N	BN	VN
	VP	VP	VP	BP	P	Z	N	VN

این جدول قوانین در قسمت بیان می گردد :

1. حالتی که سازه به سمت منفی حرکت نموده که در حالت قبل مقداری بیش از حالت کنونی داشته است . این قسمت در سمت چپ جدول با رنگ خاکستری تیره نمایش داده شده و خروجی در این حالت نیرویی به سمت محور(مثبت) می باشد .
2. حالتی که سازه به سمت مثبت حرکت نموده که در حالت قبل مقداری کمتر از حالت کنونی داشته است . این قسمت در راست جدول با رنگ خاکستری تیره نمایش داده شده و خروجی در این حالت نیرویی به سمت محور(منفی) می باشد .
3. حالتی که سازه نسبت به حالت قبل بدون تغییر مانده است که در جدول در قسمت قطر با رنگ خاکستری روشن نمایش داده شده است . در اینجا نیروی اعمالی به سمت مبدا و با اندازه ای متناسب با فاصله از مبدا افزایش می یابد .

۴. حالتی که سازه به سمت مبدا باز می گردد این قسمت با رنگ خاکستری نمایش داده شده

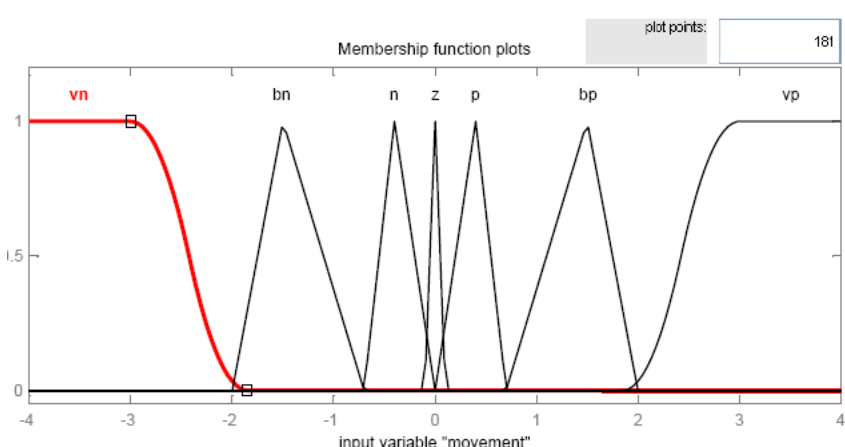
و در خروجی نیروی کم یا برابر صفر به علت گذر ننمودن از مبدا به آن در جهت حرکت به

سمت مبدا اعمال گشته است.

۵. حالتی که سازه مبدا رسیده و نیازی به نیروی اعمالی ندارد و در جدول به رنگ سفید و در مرکز

قرار دارد.

فازی سازها در این کنترل کننده پیش‌بین به صورت زیر می باشد:



شکل(۴۹-۵)

[Input1]

Name='movement'

Range=[-4 4]

NumMFs=7

MF1='vn':'zmf',[-3 -1.85]

MF2='bn':'trimf',[-2 -1.5 -0.7]

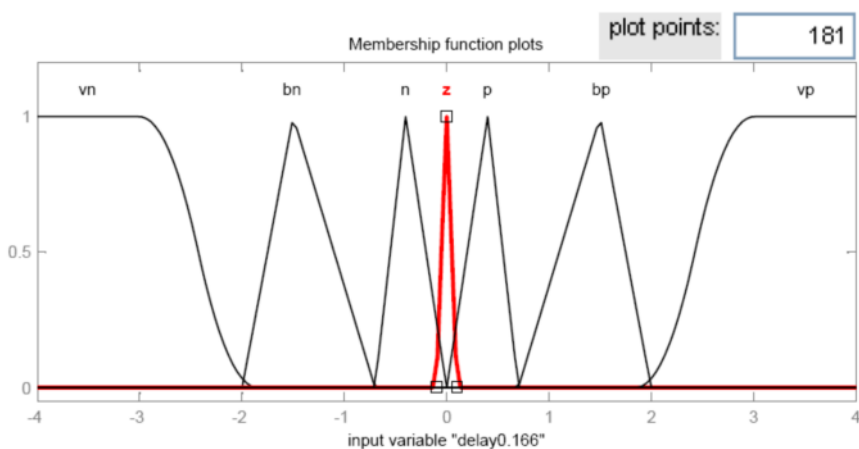
MF3='n':'trimf',[-0.7 -0.4 -0]

MF4='z':'trimf',[-0.1 0 0.1]

MF5='p':'trimf',[0 0.4 0.7]

MF6='bp':'trimf',[0.7 1.5 2]

MF7='vp':'smf',[1.85 3]

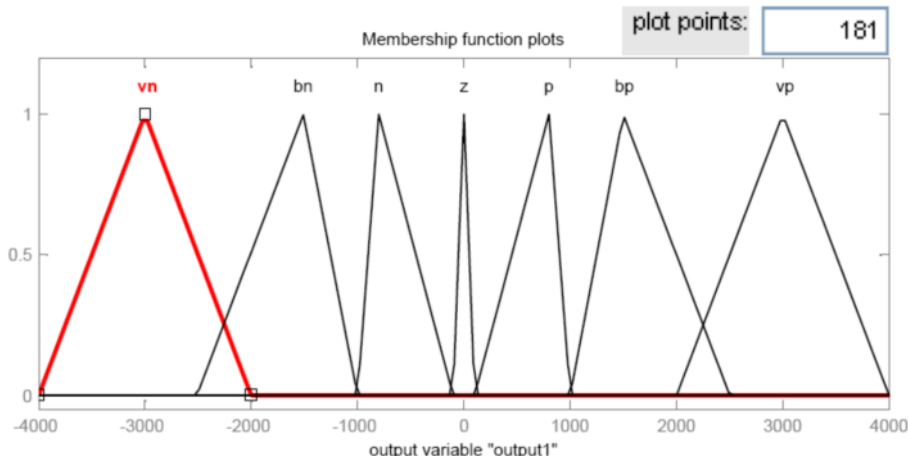


(۵۰-۵)

[Input2]

```
Name='delay0.166'
Range=[-4 4]
NumMFs=7
MF1='n':'trimf',[-0.7 -0.4 -0]
MF2='vn':'zmf',[-3 -1.85]
MF3='bn':'trimf',[-2 -1.5 -0.7]
MF4='z':'trimf',[-0.1 0 0.1]
MF5='p':'trimf',[0 0.4 0.7]
MF6='bp':'trimf',[0.7 1.5 2]
MF7='vp':'smf',[1.85 3]
```

غیر فازی ساز در خروجی کنترل کننده فازی پیش‌بین به صورت زیر می باشد:



(۵۱-۵)

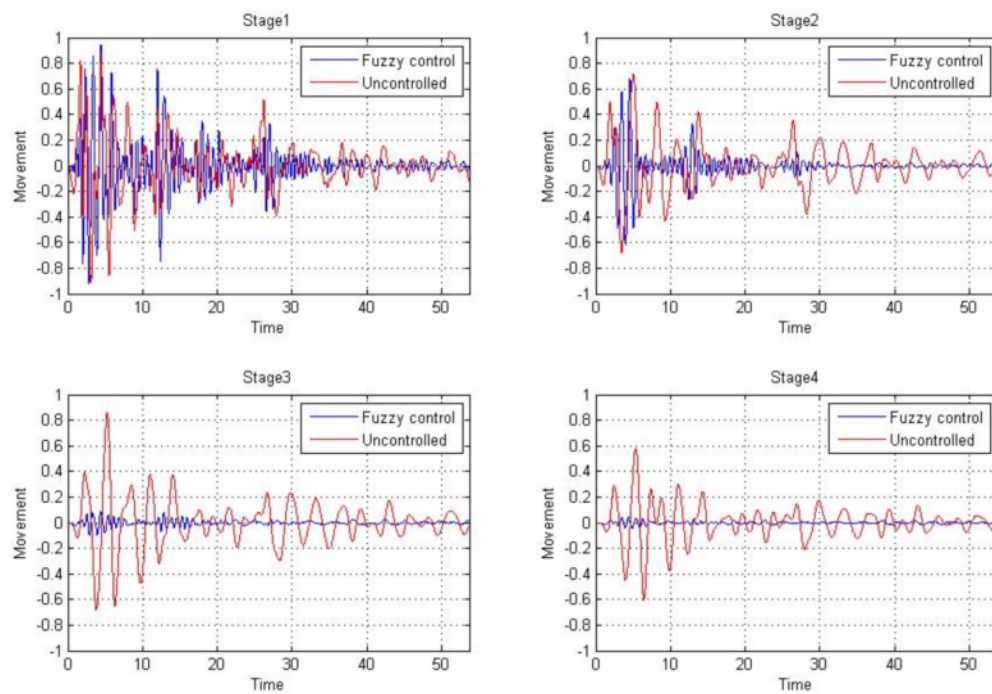
```
Name='output1'  
Range=[-4000 4000]  
NumMFs=7  
MF1='vn':'trimf',[-4000 -3000 -2000]  
MF2='bn':'trimf',[-2510 -1510 -1000]  
MF3='n':'trimf',[-1000 -800 -100]  
MF4='z':'trimf',[-100 0 100]  
MF5='p':'trimf',[100 800 1000]  
MF6='bp':'trimf',[1000 1500 2500]  
MF7='vp':'trimf',[2000 3000 4000]
```

قوانين استنتاج به صورت زیر می باشد:

1. If (movement is vn) and (delay0.166 is vn) then (output1 is vp) (1)
2. If (movement is vn) and (delay0.166 is n) then (output1 is vp) (1)
3. If (movement is vn) and (delay0.166 is bn) then (output1 is vp) (1)
4. If (movement is vn) and (delay0.166 is z) then (output1 is vp) (1)
5. If (movement is vn) and (delay0.166 is p) then (output1 is vp) (1)
6. If (movement is vn) and (delay0.166 is bp) then (output1 is vp) (1)
7. If (movement is vn) and (delay0.166 is vp) then (output1 is vp) (1)
8. If (movement is bn) and (delay0.166 is vn) then (output1 is p) (1)
9. If (movement is bn) and (delay0.166 is bn) then (output1 is bp) (1)
10. If (movement is bn) and (delay0.166 is n) then (output1 is bp) (1)
11. If (movement is bn) and (delay0.166 is z) then (output1 is vp) (1)
12. If (movement is bn) and (delay0.166 is p) then (output1 is vp) (1)
13. If (movement is bn) and (delay0.166 is bp) then (output1 is vp) (1)
14. If (movement is bn) and (delay0.166 is vp) then (output1 is vp) (1)
15. If (movement is n) and (delay0.166 is vn) then (output1 is z) (1)
16. If (movement is n) and (delay0.166 is bn) then (output1 is p) (1)
17. If (movement is n) and (delay0.166 is n) then (output1 is p) (1)
18. If (movement is n) and (delay0.166 is z) then (output1 is p) (1)
19. If (movement is n) and (delay0.166 is p) then (output1 is p) (1)
20. If (movement is n) and (delay0.166 is bp) then (output1 is bp) (1)
21. If (movement is n) and (delay0.166 is vp) then (output1 is bp) (1)
22. If (movement is z) and (delay0.166 is vn) then (output1 is n) (1)
23. If (movement is z) and (delay0.166 is bn) then (output1 is n) (1)

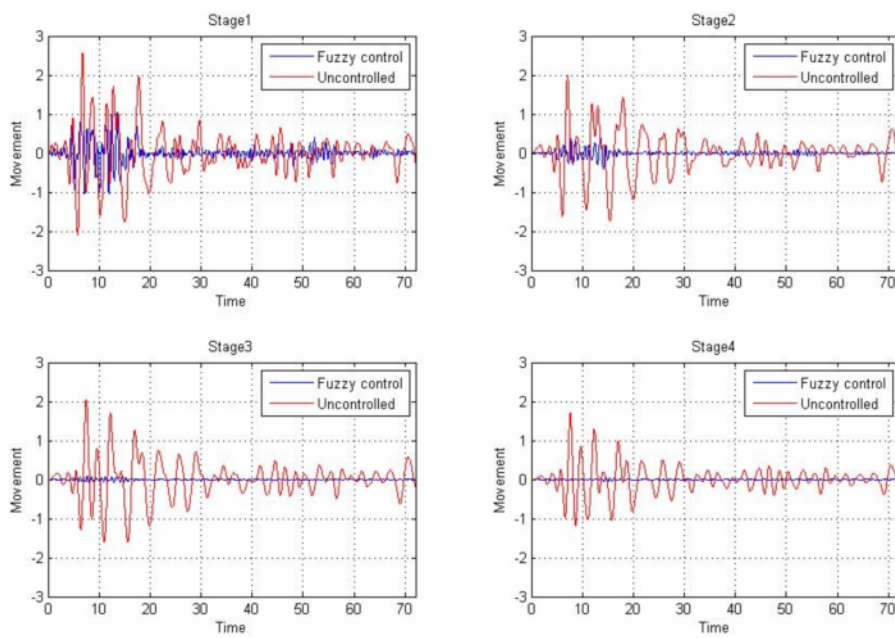
24. If (movement is z) and (delay0.166 is n) then (output1 is z) (1)
25. If (movement is z) and (delay0.166 is z) then (output1 is z) (1)
26. If (movement is z) and (delay0.166 is p) then (output1 is z) (1)
27. If (movement is z) and (delay0.166 is bp) then (output1 is p) (1)
28. If (movement is z) and (delay0.166 is vp) then (output1 is p) (1)
29. If (movement is p) and (delay0.166 is vn) then (output1 is bn) (1)
30. If (movement is p) and (delay0.166 is bn) then (output1 is bn) (1)
31. If (movement is p) and (delay0.166 is n) then (output1 is n) (1)
32. If (movement is p) and (delay0.166 is z) then (output1 is n) (1)
33. If (movement is p) and (delay0.166 is p) then (output1 is n) (1)
34. If (movement is p) and (delay0.166 is bp) then (output1 is n) (1)
35. If (movement is p) and (delay0.166 is vp) then (output1 is z) (1)
36. If (movement is bp) and (delay0.166 is vn) then (output1 is vn) (1)
37. If (movement is bp) and (delay0.166 is bn) then (output1 is vn) (1)
38. If (movement is bp) and (delay0.166 is n) then (output1 is vn) (1)
39. If (movement is bp) and (delay0.166 is z) then (output1 is vn) (1)
40. If (movement is bp) and (delay0.166 is p) then (output1 is bn) (1)
41. If (movement is bp) and (delay0.166 is bp) then (output1 is bn) (1)
42. If (movement is bp) and (delay0.166 is vp) then (output1 is n) (1)
43. If (movement is vp) and (delay0.166 is vp) then (output1 is vn) (1)
44. If (movement is vp) and (delay0.166 is bp) then (output1 is vn) (1)
45. If (movement is vp) and (delay0.166 is p) then (output1 is vn) (1)
46. If (movement is vp) and (delay0.166 is z) then (output1 is vn) (1)
47. If (movement is vp) and (delay0.166 is bn) then (output1 is vn) (1)
48. If (movement is vp) and (delay0.166 is vn) then (output1 is vn) (1)
49. If (movement is vp) and (delay0.166 is n) then (output1 is vn) (1)

شبیه سازی کنترل پیش‌بین برای زلزله السنترو به صورت زیر می باشد :



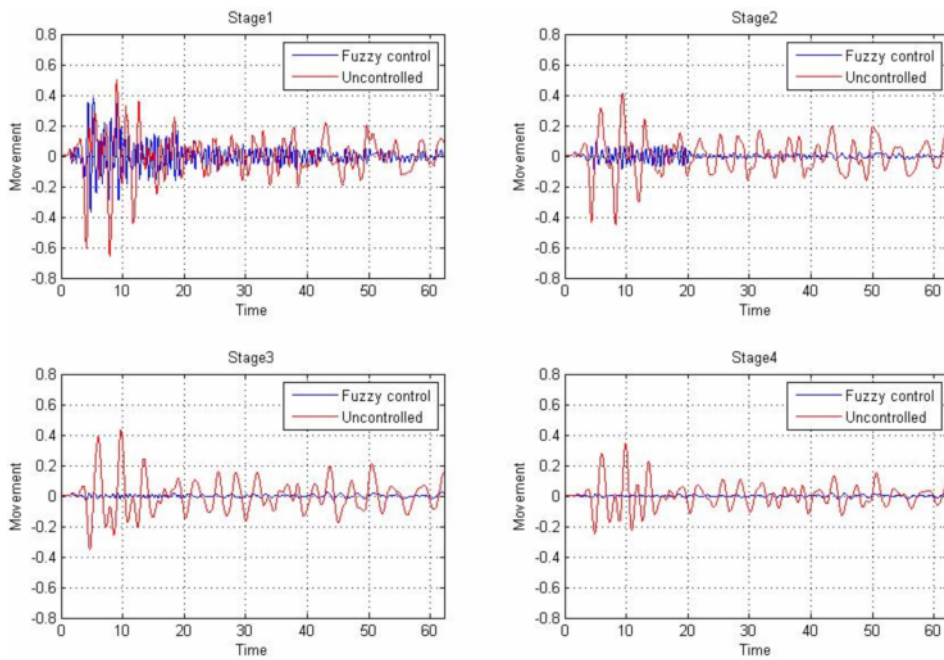
(۵۲-۵)

شبیه سازی کنترل پیش‌بین برای زلزله hachinohe به صورت زیر می باشد :



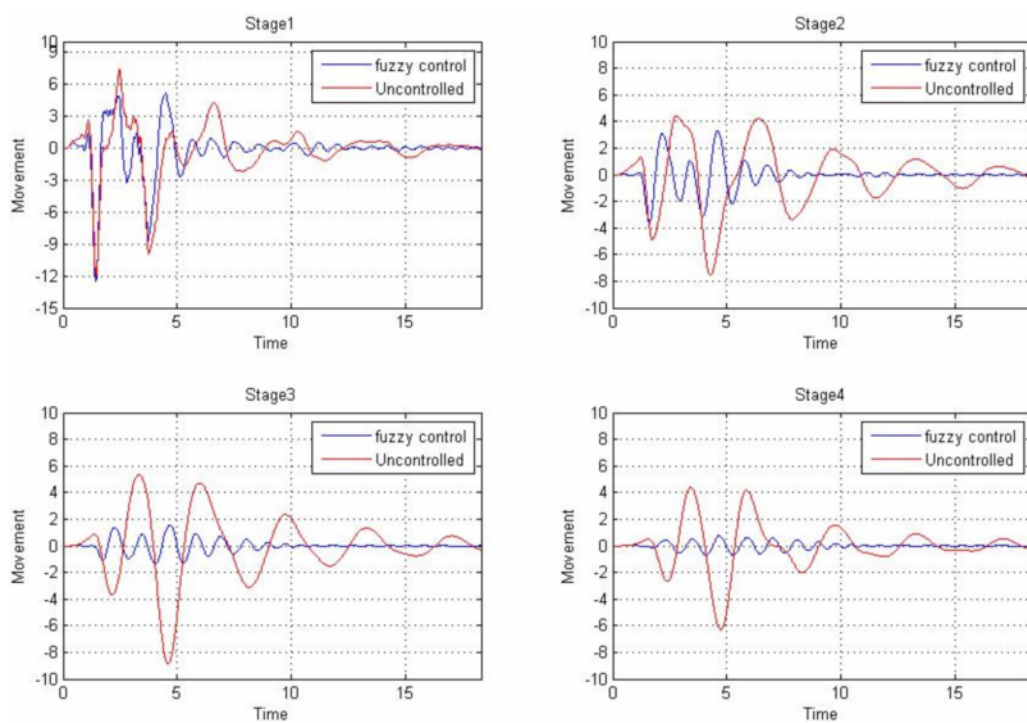
شکل (۵۳-۵)

شبیه سازی کنترل پیش‌بین برای زلزله تفت به صورت زیر می باشد :



شکل (۵۴-۵)

شبیه سازی کنترل پیش‌بین برای زلزله تفت به صورت زیر می باشد :



(۵۵-۵)

فصل ششم

نتیجه گیری و ارائه پیشنهاد

در این تحقیق بیان شد که سازه ها به خودی خود پایدار می باشند و در کنترل سازه ها سعی بر کنترل پارامترهایی از قبیل شتاب، سرعت و جابجایی سازه ها ناشی از عوامل خارجی همچون باد و زلزله می باشیم.

کنترل سازه ها به چهار دسته کنترل پسیو، اکتیو، نیمه اکتیو و ترکیبی تقسیم می شوند. بهترین پاسخ دهی مربوط به کنترل ترکیبی می باشد ولی به دلیل هزینه بالا تنها در سازه های دارای اهمیت استفاده می گردند. کنترل نیمه اکتیو به علت قابلیت استفاده از باتری و مقاوم بودن آن توسط طراحان بیشتر ترجیح داده می شود.

جهت کنترل سازه نیاز به بررسی معادلات دینامیکی سازه، نوع محرک مورد نظر، میزان تاخیرات (سنسور، محرک و پردازنده)، نوع زمین (جهت تعیین طیف فرکانسی، جهت کنترل بهینه می باشد). [1. Page 190]

با توجه به دلایل و شبیه سازی های بیان شده در این تحقیق کنترل جابجایی با استفاده از فیدبک سرعت و کنترل جابجایی با استفاده از فیدبک سرعت و جابجایی دارای بهترین پاسخ جهت کنترل جابجایی سازه می باشند و با اصلاح در قوانین استنتاج و فازی ساز و غیر فازی ساز می توان تاخیرات زمان را جبران نموده و به یک کنترل کننده پایدار دست یافت.

با بررسی طیف فرکانسی رکوردهای زلزله پیشین می توان سیستم کنترل فازی پیشین بهینه طراحی نمود که در این تحقیق نمونه اولیه با پاسخی نسبتاً خوب

بیان گردیده است و در ادامه جای تحقیق را با در نظر گرفتن تاخیر در نمونه برداری و تحریک دارا می باشد.

با استفاده از مطالعات زمین شناسی جهت تعیین طیف فرکانسی زلزله مناطق زلزله خیز ایران و تعیین آنکه زلزله در چه فرکانسی در آن مناطق دارای بیشترین نیرو می باشد و استفاده از آن در طراحی کنترل کننده های فازی و فازی ترکیبی که دارای اهمیت می باشد پیشنهاد می شود.

مراجع

مراجع :

- [۱] دکتر خسرو برگی، "اصول مهندسی زلزله"، مؤسسه انتشارات و چاپ دانشگاه تهران ، چاپ چهارم ، تابستان ۱۳۸۲.
- [۲] لی وانگ ،"sisteme های فازی و کنترل فازی" ، ترجمه :دکتر محمد تشنه لب ،نیما صفارپور ، داریوش افیونی ،انتشارات دانشگاه صنعتی خواجه نصیرالدین طوسی، فروردین ۱۳۸۵ .
- [۳] سید ابراهیم موسوی اشکیکی،علیرضا انتظاری ، "کنترل فعال سازه ها با رویکرد فازی :تئوری و عملکرد" ، یازدهمین کنفرانس دانشجویان عمران سراسر کشور، CESC 2004.
- [4] Rao, Singiresu, Mechanical Vibrations, Addison Wesley, 1990, ISBN 0-201-50156-2.
- [5] Thompson, W.T., Theory of Vibrations, Nelson Thornes Ltd, 1996, ISBN 0-412-783908.
- [6] Hartog, Den, Mechanical Vibrations, Dover Publications, 1985, ISBN 0-486-647854.
- [7] Kelly, J.M., Leitmann, G. and Soldatos, A. Robust control of base isolated structures under earthquake excitation, J. of Opt. Theory and Appl., 1987, Vol. 53, pp. 159-180.
- [8] Luo, N.,Rodellar, J. and De la Sen, M. Sliding mode control of a class of uncertain coupled systems:application to base isolated structures. Proc. of 34th IEEE Conf. on Dec. and Ctrl., 1995, New Orleans,USA,Vol. 3, pp. 2127–2132.
- [9] G. Leitmann and E. Reithmeier, Semiactive control of a vibrating system by means of electrorheological fluids, Dynamics and Control, 3, 7-33, 1993.
- [10] U.Aldemir,M.Bakioglu,Active structural control based on The Prediction and Degree of stability, Journal of Sound and Vibration (2001) 247(4), 561—576.
- [11] Claudia Mara Dias Wilson, Member, ASCE and Makola M. Abdullah, Member, ASCE, Structural Vibration Reduction Using Fuzzy Control of Magnetorheological Dampers , Department of Civil and Environmental Engineering, Florida State University.
- [12] Kasabov, Nikola K. Foundations of neural networks, fuzzy systems, and knowledge engineering ,ISBN 0-262-11212-4 (hc: alk. paper).

مراجع

- [13] Kwan-Soon Park, Hyun-Moo Koh , Seung-Yong Ok, Active control of earthquake excited structures using fuzzy supervisory technique, Advances in Engineering Software 33 (2002) 761–768
- [14] Jang, J. R. and Sun, C. (1995). Nero Fuzzy Modelling and Control, Proc. of the IEEE, P.P: 378-405
- [15] Kuo, R.J., Chen, C.H. and Hwang, Y.C. (2001). An intelligent stock trading decision support system through integration of genetic algorithm based fuzzy neural network and artificial neural network, Fuzzy Sets and Systems, 118 .
- [16] Werbos, P.J. (1974). Beyond Regression: New Tools for Prediction and Analysis in the Behavioral Sciences. Cambridge, MA: Harvard University, Ph.D. dissertation.
- [17] T.T. Soong and B.F. Spencer Jr. Supplemental energy dissipation:state-of-the-art and state-of-the-practice. Engineering Structures, 24:243– 259, 2002.
- [18] S.J. Dyke. Acceleration Feedback Control Strategies for Active and Semi active Control Systems: Modeling, Algorithm Development, and Experimental Verification.PhD thesis, University of Notre Dame. Notre Dame, Indiana, 1996.
- [19] D.J. Inman. Engineering Vibration. Prentice-Hall, 2nd. Ed., 2001.
- [20] S.J. Dyke, B.F Spencer Jr., M.K. Sain, and J.D. Carlson. Modeling and control of magnetorheological dampers for seismic response reduction.Smart Mat. and Struct., 5:565–575, 1996.
- [21] F. Spencer Jr., B, S.J. Dyke, M.K. Sain, and J.D. Carlson. Phenomenological model of a magnetorheological damper. Journal of Engineering Mechanics, ASCE, 123(3):230–238, 1997.
- [22] T.T. Soong and B.F. Spencer Jr. Controlling buildings: A new frontier in feedback. IEEE Control Systems Magazine on Engineering Technology, 17(6):19–35, 1997.
- [23] J. M. Martín S. and J. Rodellar. Adaptive Predictive Control: From the Concepts to Plant Optimization.Prentice Hall International Series in Systems and Control Engineering. 1996.
- [24] M. D. Symans and M. C. Constantinou. Seismic Testing of a Building Structure with a Semiactive Fluid Damper Control System. Earthquake Engineering and Structural Dynamics. John Wiley & Sons, Ltd., Vol 26, pp. 759-777, 1997.

مراجع

- [25] Hasan Alli, Oğuz Yakut. Fuzzy sliding-mode control of structures. Elsevier Ltd. Engineering Structures 27 (2005) 277–284

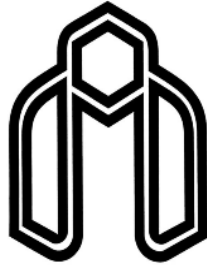
Abstract

Different methods for control the structures of buildings has been developed in recent years. These methods are based on reducing the amplitude of the vibration due to wind and earthquake. There are four methods as: passive, semi active, active and compound.

Improving structures control, strongly depend on measurement devices, actuators and correct modeling at the structures, computer knowledge, data processing, control systems, material science, measurement technology, stochastic, structures dynamics, earthquake engineering and wind are other field related to controlling the structures.

Existing of non certainty and non linearity in the structures behavior of our work, it is tried to control the structure by fuzzy controller bearing in mind structures dynamic, soil mechanic, and the records has been received from previous earthquakes. Simulations show the proposed fuzzy controller works properly.

Keywords: Fuzzy Controller – Response – Active Control of Structure – Earthquake Loads – Dynamic Load – Predictive Fuzzy Control



Shahrood University of Technology

Faculty Electrical and Robotics

Control Engineering MSC'S Thesis

**Design and Simulation Fuzzy Controller for Structural
Control Subject To Earthquake**

Mohammad Hossein Imani Cichani

Supervisor

Dr Heydar Toossian Shandiz

Advisor

Dr Ali Keyhani

JANUARY 2009